

Tugas Akhir - ME141501

## **Perencanaan Sistem Pengkondisian Udara (hvac) pada Ruang Akomodasi Kapal Tanker Mengguakan Refrigeran R 407 c**

Ahmad Darori Hasan  
NRP 0421 13 40000 062

Dosen Pembimbing  
Ir. Tony Bambang Musriyadi, PGD, MMT  
Ir. Alam Baheramsyah, M. Sc.

Departemen Teknik Sistem Perkapalan  
Fakultas Teknologi Kelautan  
Institut Teknologi Sepuluh Nopember  
Surabaya 2018





## **Tugas Akhir – ME141501**

### **Perencanaan Sistem Pengkondisian Udara (hvac) pada Ruang Akomodasi Kapal Tanker Mengguakan Refrigeran R 407 c**

Ahmad Darori Hasan  
NRP 0421 13 40000 062

**Dosen Pembimbing**  
Ir. Tony Bambang Musriyadi, PGD, MMT  
Ir. Alam Baheramsyah, M. Sc.

**Departemen Teknik Sistem Perkapalan  
Fakultas Teknologi Kelautan  
Institut Teknologi Sepuluh Nopember  
Surabaya  
2018**

*Halaman ini sengaja dikosongkan*



## **Final Project – ME141501**

### **Design of Air Conditioning System (hvac) on Tanker's Accommodation Space Using Refrigerant R 407 c**

Ahmad Darori Hasan  
NRP 0421 13 40000 062

#### **Advisor**

Ir. Tony Bambang Musriyadi, PGD, MMT  
Ir. Alam Baheramsyah, M. Sc.

Department of Marine Engineering  
Faculty of Marine Technology  
Institut Teknologi Sepuluh Nopember  
Surabaya  
2018

## **Halaman Pengesahan**

### **Perencanaan Sistem Pengkondisian Udara (hvac) pada Ruang Akomodasi Kapal Tanker Mengguakan Refrigeran R 407 c**

#### **Tugas Akhir**

Diajukan untuk Memenuhi Salah Satu Syarat  
Memperoleh Gelar Sarjana Teknik  
pada

Bidang Studi *Marine Machinery and System* (MMS)  
Program Studi S-1 Departemen Teknik Sistem Perkapalan  
Fakultas Teknologi Kelautan  
Institut Teknologi Sepuluh Nopember

#### **Oleh:**

**Ahmad Darori Hasan**  
NRP. 042113 40000 062

Disetujui oleh Pembimbing Tugas Akhir:

1. Ir. Tony Bambang Musriyadi, PGD, MMT  
NIP 1959 0410 1987 01 1001
2. Ir. Alam Baheramsyah, M. Sc.  
NIP 1968 0129 1992 03 1001

(.....)   
(.....)

**Surabaya**  
**Juli 2018**

*Halaman ini sengaja dikosongkan*

## Halaman Pengesahan

**Perencanaan Sistem Pengkondisian Udara (hvac) pada Ruang Akomodasi  
Kapal Tanker Mengguakan Refrigeran R 407 c**

### Tugas Akhir

Diajukan untuk Memenuhi Salah Satu Syarat

Memperoleh Gelar Sarjana Teknik

pada

Bidang Studi *Marine Machinery and System* (MMS)

Program Studi S-1 Departemen Teknik Sistem Perkapalan

Fakultas Teknologi Kelautan

Institut Teknologi Sepuluh Nopember

Oleh:

**Ahmad Darori Hasan**

NRP. 042113 40000 062

Disetujui oleh :

Kepala Departemen Teknik Sistem Perkapalan



**Surabaya  
Juli 2018**

*Halaman ini sengaja dikosongkan*

# **Planning of Air Conditioning System (hvac) on Tanker's Accommodation Space Using Refrigerant R 407 c**

Student Name : Ahmad Darori Hasan  
NRP : 0421 13 40000 062  
Supervisor 1 : Ir. Tony Bambang Musriyadi, PGD, MMT  
Supervisor 2 : Ir. Alam Baheramsyah, M. Sc.

## **Abstract**

*Ship's accommodation space is designed to provide comfort for the problem. Therefore, the ISO issued reference conditions at room temperature 27°C and humidity 50% .. Cooling system used also in accordance with Marpol regulations related to the prohibition of refrigerant CFCs belonging to ozone depleting substances.*

*This study aims to study the comfort given to the personal or crew in the form of aerial system facilities using Refrigeration system according to ISO 7547. Perhitungan heat load heat load transmission. personal calorific load. load heat equipment. the infiltration heat load and the heat-load of the heat are used to obtain the Cooling load. This study assumes the system is in stedy state. Then performed the change analysis of R22 with R407C.*

*Cooling load for accommodation space is 56.79 kW. Cooling system designed on Tevap 2°C with superheat 10°K and Tkond 50°C with Subcooling 5°K obtained mass flow rate, heat released by condenser, Compressor Work, and COP respectively R2269.08 kW, 0.361 kg/s, 12.41 kW and 4.57;; for R407C obtained, 69.73 kW, 0.357 kg/s, 12.81 kW and 4.39.. R407C has a performance similar to R22. Components of compressor and evaporator used R22 can also be used on R407C. Condenser and expansion valve need to be adjusted.*

*Keywords:* ISO 7547, R22, R407C, Refrigerant replacement

*Halaman ini sengaja dikosongkan*

# **Perencanaan Sistem Pengkondisian Udara (hvac) pada Ruang Akomodasi Kapal Tanker Mengguakan Refrigeran R 407 c**

Nama Mahasiswa : Ahmad Darori Hasan  
NRP : 0421 13 40000 062  
Dosen Pembimbing 1 : Ir. Tony Bambang Musriyadi, PGD, MMT  
Dosen Pembimbing 2 : Ir. Alam Baheramsyah, M. Sc.

## **Abstrak**

*Ruang akomodasi kapal dirancang untuk memberikan kenyamanan bagi persoal. Oleh karena itu, ISO mengeluarkan kondisi referensi pada suhu ruangan 27°C dan kelembapan 50%. Sistem Pendingin yang digunakan juga sesuai dengan peraturan Marpol terkait pelarangan refrigeran CFC yang tergolong zat perusak ozon.*

*Penelitian ini bertujuan untuk mempelajari kenyamanan yang diberikan kepada personal atau kru kapal berupa fasilitas sistem tata udara dengan menggunakan sistem Refrigerasi sesuai ISO 7547. Perhitungan beban beban kalor panas transmisi. beban kalor personal. beban kalor equipment. beban kalor infiltrasi dan beban kalor pencahayaan digunakan untuk mendapatkan beban Pendinginan. Penelitian ini dengan mengasumsikan sistem dalam kondisi stedy state. Kemudian dilakukan analisa pergantian R22 dengan R407C.*

*Beban pendinginan untuk ruang akomodasi sebesar 56.79 kW. Sistem pendingin yang dirancang pada Tevap 2°C dengan keluaran uap superheat 10°K dan Tkond 50°C dengan keluaran cair subcooling 5°K didapatkan laju aliran massa, kalor yang dikeluarkan kondensor, Kerja Kompressor, dan COP masing-masing R22 69.08 kW, 0.361 kg/s, 12.41 kW dan 4.57; untuk R407C didapatkan 69.73 kW, 0.357 kg/s, 12.81 kW dan 4.39. R407C memiliki perfoma yang hampir sama dengan R22. Komponen kompressor dan evaporator yang digunakan R22 dapat pula digunakan pada R407C. Kondensor dan katup expansi perlu dilakukan penyesuaian.*

**Kata Kunci:** ISO 7547, R22, R407C, Penggantian refrigeran

*Halaman ini sengaja dikosongkan*

## Kata Pengantar

Puji Syukur penulis ucapkan kepada Allah SWT yang telah memberikan nikmat yang tak terhingga, yang tak mungkin diri ini menuliskannya walau hingga akhir hayat, sehingga penulis dapat menyelesaikan penelitian ini tepat waktu.

Penulis juga mengucapkan terima kasih kepada semua pihak yang telah membantu penulis dalam menyelesaikan penelitian ini mulai dari mencetuskan ide hingga mengumpulkan laporan penelitian ini. Penulis terutama berterima kasih kepada:

1. Kedua orang tua dan saudara-saudara penulis yang senantiasa memberikan pelajaran hidup dan segala macam dukungan untuk dapat terus melanjutkan kuliah;
2. Bapak Ir. Tony Bambang Musriyadi, PGD, MMT, sebagai dosen pembimbing satu yang terus membimbing penulis mulai dari setelah P1 hingga tahap akhir penulisan laporan penelitian ini, yang juga selalu menekankan mahasiswa agar benar-benar paham bahkan hal terkecil yang mungkin terlihat sepele di dalam penelitian ini;
3. Bapak Alam Baheramsyah, sebagai dosen pembimbing dua yang terus membimbing penulis dari awal pencetusan ide hingga tahap akhir penulisan laporan penelitian ini, yang juga membimbing seluruh mahasiswa bimbingannya untuk dapat selalu berada di jalan yang benar;
4. Bapak Dr. Eng. M. Badrus Zaman, ST, MT sebagai dosen wali saya selama lima tahun terakhir memberi motivasi serta dorongan untuk senantiasa belajar lebih giat demi mengangkat deraja orang tua, sera membuat kedua orang tua bangga,
5. Ilham ja'far, Ihya Alyyudin, Irfan Purwito, Reza Habibi , yang selalu luar biasa sabar menghadapi kehidupan penulis yang sering kehilangan motivasi dalam mengerjakan tugas akhir, mengingatkan selalu mengingatkan untuk ibadah dan menyemangati diri dalam menyelesaikan tugas akhir, dan saling nasihat-memasihati dalam kebenaran dan kesabaran;
6. National Institute of Standards and Technology, yang merupakan pemilik Refprop Software yang berisi berbagai data properti udara, air, serta zat lainnya. Dalam hal ini telah banyak membantu penulis dalam mencari properti udara dan air baik itu cair maupun uap;
7. Ivan Nabil dan Riko Fauzirahman, yang selalu mendampingi penulis dalam proses penggerjaan dan juga rekan belajar selama proses penggerjaan penelitian ini.;
8. Faisal Rahman, Misbachul munir mahasiswa teknik mesin yang senantiasa menjelaskan thermodinamika, heat exchanger, LMTD dan tentang kalor lainnya sehingga sangat membantu sebagai teman diskusi.
9. Dhesa hidayat, Majid adi, Luqman Raharjo yang selalu memberi selingan penghibur dikala penulis sudah mengalami kejemuhan atau jalan buntu dalam penggerjaan penelitian ini.
10. Pengurus Harian Jamaah Masjid Manarul Ilmi kabinet Integrasi, yang selalu membeberi semangat dan kepercayaan diri bahwa semua pasti lulus pada waktunya;
11. Teman-teman di Laboratorium Mesin Fluida dan Sistem dan Laboratorium lainnya (MEAS dan MPP), yang selalu senantiasa memberikan ketenangan jiwa melalui nonton bareng piala dunia dan lainnya, serta semangat yang membara;
12. “kamu” dimasa depan yang membuat penulis untuk lagi dan lagi untuk segera menyelesaikan urusan satu dan segera menuju urusan selanjutnya.

13. Serta seluruh teman atau keluarga yang tak dapat saya tuliskan di atas kertas ini, baik yang membantu secara langsung maupun tidak langsung dalam hidup ini karena sesungguhnya semua sangat berkontribusi dengan kadar dan pos masing-masing.

Penulis juga memahami bahwa penelitian ini masih belum sempurna. Oleh karena itu, masukan yang sifatnya membangun sangat penulis harapkan untuk dapat menyempurnakan penelitian ini.

Surabaya, Juli 2017

Penulis

## Daftar Isi

Halaman Judul .....	i
Title Page.....	iii
Halaman Pengesahan.....	<b>Kesalahan! Bookmark tidak ditentukan.</b>
Halaman Pengesahan.....	vi
Abstract .....	viii
Abstrak .....	x
Kata Pengantar .....	xii
Daftar Isi.....	xiv
Daftar Gambar.....	xviii
Daftar Grafik .....	xx
Daftar Tabel.....	xxii
Daftar Simbol .....	xxiv
Bab I Pendahuluan.....	1
1.1 Latar Belakang .....	1
1.2 Perumusan Masalah.....	2
1.3 Batasan Masalah.....	2
1.4 Tujuan.....	2
1.5 Manfaat.....	3
Bab II Dasar Teori .....	5
2.1 HVAC (Heating ventilation and Air Conditioning) .....	5
2.2 Klassifikasi HVAC pada Kapal .....	7
2.3 Perancangan Kondisi udara berdasar ISO 7547 .....	11
2.4 Perhitungan Beban Berdasarkan ISO 7547 .....	11
2.4.1 Beban Panas Transmisi ( $\phi$ ).....	11
2.4.2 Beban Panas Akibat Panas Penghuni Ruangan ( $\phi_p$ ) .....	13
2.4.3 Beban Panas Akibat Panas Radiasi Sinar Matahari ( $\phi_s$ ) .....	13
2.4.4 Beban Panas dari Penggunaan Lampu Penerangan .....	14
2.4.5 Beban Panas dari Peralatan ( $\phi_m$ ).....	14
2.5 Perhitungan Kapasitas Udara .....	14
2.6 Perhitungan Udara Sirkulasi.....	15

2.7 Beban Panas Tambahan akibat Pernafasan Manusia.....	16
2.8 Perhitungan Kapasitas Beban Pendingin dari Mesin Pendingin.....	17
2.9 Perhitungan Massa Aliran Refrigeran pada Sistem Refrigerasi .....	17
2.10 Perhitungan Daya Evaporator.....	17
2.11 Perhitungan Daya Kompressor.....	18
2.12 Perhitungan Daya Kondensor.....	18
2.13 Refrigeran.....	18
2.14 Penelitian Yang Telah Dilakukan Sebelumnya .....	19
2.14.1 Perencanaan Sistem Ventilasi dan Pengkondisian Udara (HVAC) pada Ruangan Akomodasi Kapal Perang Jenis Convertte Ukuran 90 Meter ( 2010) .....	19
2.14.2 Perancangan Sistem Pengkondisian Udara Hemat Energi Dengan Menggunakan Desiccant Untuk Ruang Muat Kapal Pengangkut Hewan Ternak (LivestockVessel) (2013) .....	19
2.14.3 Performance of R407C as an Alternate to R22: A Revie (2016).....	20
Bab III Metodologi .....	21
3.1 Identifikasi Masalah .....	22
3.2 Studi Literatur.....	23
3.3 Pengumpulan Data.....	23
3.4 Studi Empiris .....	23
3.5 Perancangan Sistem.....	23
3.6 Hasil dan Pembahasan .....	23
3.7 Kesimpulan dan Saran .....	23
Bab IV Analisis dan Pembahasan.....	25
4.1 Data Utama Kapal .....	25
4.2 Perhitungan Beban Pendinginan .....	26
4.2.1 Beban Panas Transmisi.....	26
4.2.2 Beban Panas Akibat Panas Penghuni Ruangan .....	27
4.2.3 Beban Panas Akibat Panas Radiasi Sinar Matahari.....	28
4.2.4 Beban Panas dari Penggunaan Lampu Penerangan .....	29
4.2.5 Beban Panas dari Peralatan.....	30
4.2.6 Beban Total Pendinginan Total .....	30
4.3 Kapasitas Udara.....	30

4.4 Perhitungan Kapasitas Beban Pendinginan .....	31
4.5 Sekema Water Chilled System .....	32
4.6 Perencanaan pada Sisi AHU .....	33
4.7 Pemilihan Spesifikasi Air Handling Unit .....	34
4.8 Pemilihan Spesifikasi Pompa Sirkulasi .....	35
4.9 Perencanaan pada Chiller .....	35
4.10 Analisa Rancangan dengan Termodinamika .....	39
4.11 Validasi Perhitungan Menggunakan Softwere .....	42
4.11.1 Ringkasan Hasil Perhitungan Manual dan Softwere .....	42
4.11.2 Error Perhitungan .....	43
4.12 Pemilihan Evaporator .....	44
4.13 Pemilihan Kondensor .....	45
4.14 Pemilihan Kompressor. ....	46
4.15 Perbandingan Penggunaan R22 dan R407C.....	46
4.15.1 Pengaruh Variasi Beban Pendinginan Evaporator terhadap Laju Aliran Massa R22 dan R407C .....	46
4.15.2 Pengaruh Laju Aliran Massa terhadap Kalor buang Kondensor .....	47
4.15.3 Pengaruh Kalor Buang Kondensor terhadap Panjang Pipa Kondensor.....	49
Bab V Penutup.....	51
5.1 Kesimpulan.....	51
5.2 Saran.....	51

*Halaman ini sengaja dikosongkan*

## **Daftar Gambar**

Gambar 2.1. Prinsip Kerja Refrigerasi .....	5
Gambar 2.2. Skema Perpindahan Panas .....	6
Gambar 2.3. Skema Proses Perpindahan Energi .....	6
Gambar 2.4. Skema Sistem Pendingin Class A .....	7
Gambar 2.5. Skema Sistem Pendingin Class D.....	8
Gambar 2.6. Skema Sistem Pendingin Class E .....	9
Gambar 2.7. Skema Sistem Pendingin Class G.....	10
Gambar 2.8. Udara Sirkulasi.....	15
Gambar 4.1. Standart Posisi Luasan Kapal Dalam Perhitungan.....	26
Gambar 4.2. Plotting Perencanaan pada Diagram P-h.....	36
Gambar 4.3. Plotting Titik 1 pada Diagram P-h.....	37
Gambar 4.4. Diagram P-h (a) R22 dan (b) R407c.....	39
Gambar 4.5. Shell and Tube vaporator.....	44

*Halaman ini sengaja dikosongkan*

## **Daftar Grafik**

Grafik 4.1. Q evaporator vs laju aliran massa .....	48
Grafik 4.2. Pengaruh laju Aliran Massa terhadap Kalor buang Kondensor .....	49
Grafik 4.3. Pengaruh kalor Buang Kondensor terhadap Panjang Pipa Kondensor .....	<b>50</b>

*Halaman ini sengaja dikosongkan*

## **Daftar Tabel**

Tabel 2.1. Perbedaan temperatur antara ruangan yang berdampingan .....	12
Tabel 2.2. Total heat transfer koefisien .....	12
Tabel 2.3. Aktivitas dan emisi panas.....	13
Tabel 2.4. Panas dari penerangan( $\Phi l$ ) .....	14
Tabel 2.5. Jumlah udara segar tiap standart .....	15
Tabel 4.1. Data utama kapal .....	25
Tabel 4.2. Salah satu luas dinding ruangan .....	27
Tabel 4.3. Asumsi jumlah orang dan aktifitas .....	28
Tabel 4.4. Luas bagian terpampang sinar matahari .....	29
Tabel 4.5. Kapasitas pendinginan.....	33
Tabel 4.6. Pemilihan AHU .....	34
Tabel 4.7. Parameter Perencanaan.....	35
Tabel 4.8. Saturation Properties pada Titik 3 .....	36
Tabel 4.9. Saturation properties pada titik 4.....	37
Tabel 4.10. Saturation Properties pada titik 1 .....	38
Tabel 4.11. Saturation Properties pada titik 2 .....	38
Tabel 4.12. Hasil perhitungan manual.....	42
Tabel 4.13. Hasil dari softwere.....	43
Tabel 4.14. Error Perhitungan .....	43
Tabel 4.15. Perencanaan evaporator.....	44
Tabel 4.16. Spesifikasi evaporator .....	44
Tabel 4.17. Perencanaan Kondensor .....	45
Tabel 4.18. Spesifikasi Kondensor .....	45
Tabel 4.19. Spesifikasi Kompressor .....	46
Tabel 4.20. beban pendinginan terhadap flow rate.....	46
Tabel 4.21. Pengaruh Laju Aliran Massa terhadap Kalor buang Kondensori .....	48
<u>Tabel 4.22. Pengaruh Kalor Buang Kondensor terhadap Panjang Pipa Kondensor.....</u>	<u>49</u>

*Halaman ini sengaja dikosongkan*

## Daftar Simbol

### **Simbol Besaran**

$A$	: luas permukaan ( $m^2$ )
$COP$	: koefisien performa (tanpa satuan)
$h$	: entalpi ( $kJ/kg$ )
$\dot{m}$	: laju aliran massa ( $kg/s$ atau $kg/h$ )
$\eta$	: efisiensi (tanpa satuan)
$P$	: tekanan ( $kg/cm^2$ atau $kPa$ atau $mmH_2O$ atau $atm$ )
$\rho$	: massa jenis ( $kg/m^3$ )
$\dot{Q}$	: laju perpindahan panas atau laju aliran energi ( $kW$ )
$RH$	: kelembapan relatif (%)
$T$	: suhu ( $^{\circ}C$ atau $K$ )
$\dot{W}$	: daya dalam bentuk kerja mekanik ( $kW$ )
$v$	: volume spesifik ( $m^3/kg_{da}$ )
$\dot{V}$	: debit ( $m^3/s$ )
$k_v$	: Koefisien perpindahan panas menyeluruh dari luas Av ( $W/m^2 \ ^{\circ}K$ )
$Av$	: Luasan yang dirambati panas ( $m^2$ )
$kg$	: Koefisien perpindahan panas menyeluruh dari Ag ( $W/m^2 \ ^{\circ}K$ )
$Ag$	: Luasan dari Scuttles dan jendela persegi panjang.
$\Delta T$	: Perbedaan temperatur antara udara dalam ruang yang dikondisikan terhadap temperatur luar ( $^{\circ}C$ )
$G_s$	: Panas per meter persegi dari permukaan kaca ( $W/m^2$ )
$V_s$	: Kapasitas udara yang disupplai ( $m^3/h$ )
$QT$	: Total panas yang diderita ruang (watt)
$C_p$	: Panas spesifik udara ( $1.025 \ kJ/Kg \ ^{\circ}C$ )
$N_p$	: jumlah orang dalam ruang

### **Simbol Subscript**

$abs$	: <i>absorber</i> pada sistem pendingin absorpsi
$amb$	: <i>ambient</i> (lingkungan sekitar)
$c$	: kompresor
$con$	: kondensor pada sistem pendingin absorpsi
$da$	: <i>dry air</i> (udara kering)
$e$	: evaporator di luar sistem pendingin absorpsi
$evap$	: evaporator pada sistem pendingin absorpsi
$gas$	: gas
$in$	: menerangkan besaran yang masuk
$LP$	: sisi dengan tekanan rendah

*Halaman ini sengaja dikosongkan*



## Bab I

### Pendahuluan

#### 1.1 Latar Belakang

Kenyamanan yang diberikan kepada awak kapal sangat diperhatikan mulai dari kebisingan, vibrasi dan kenyamanan berupa pengaturan udara. Kenyamanan termal adalah kenyamanan fisik berupa perasaan dalam pikiran manusia yang mengekspresikan kepuasan terhadap lingkungan termalnya.

Indonesia merupakan negara yang mempunyai musim tropis sehingga diperlukan perancangan heating ventilation & air conditioning (HVAC) sentral beserta ducting network yang mampu menahan beban pendinginan pada musim panas agar kondisi ruang akomodasi nyaman bagi awak kapal.

Dengan adanya sistem pengaturan udara merupakan salah satu sistem yang bekerja di kapal. Sistem ini dirancang untuk kenyamanan dan kesehatan operator kapal dan suplai kebutuhan udara di kamar mesin. Sistem ini dibuat dengan berbagai pertimbangan antara lain : jumlah manusia yang ada di kapal, panas yang dikeluarkan oleh berbagai equipment kapal lainnya, asesibilitas untuk keperluan maintenance & repairment. Pada perencanaan sistem pendingin di kapal harus mengikuti aturan-aturan yang berlaku misalnya ISO 7547 mengenai "*Ships And Marine Technology-Air Conditioning And Ventilation Of Accommodation Spacedesign Conditioning And Basis Of Calculation*". Perancangan heating ventilation & air conditining sentral yang digunakan harus mampu memenuhi kebutuhan dalam kondisi apapun karena kerusakan suatu sistem di kapal akan mempengaruhi kerja sistem yang lainnya. Selain itu ducting network sebagai saluran yang menghubungkan antara AC sentral dengan berbagai ruangan yang ada dikapal juga harus diperhatikan assesibilitas dan juga rancangan harus menjamin bahwa aliran udara sampai pada ruangan-ruangan.

Kemudian berdasarkan Marpol Annex VI- regulation for the Prevention of Air Pollution from Ships, Chapter 3-Requirements for control of emissions from ships, regulation 12- Ozone-depleting substances mengatakan termasuk dalam definisi ODS adalah chlorofluorocarbons (CFC) dan halons digunakan masing-masing dalam sistem pendingin. ODS juga digunakan sebagai zat peniup dalam beberapa busa isolasi.. Sebagai bagian dari gerakan di seluruh dunia, produksi dan penggunaan semua materi ODS sedang dihapus berdasarkan ketentuan Protokol Montreal.

Kontrol dalam peraturan ini tidak berlaku untuk peralatan yang komponen yang dapat dilepas atau portable; ini biasanya mencakup barang-barang seperti lemari es, AC dan pendingin air.

Tidak diperbolehkan sistem pendingin mengandung CFC atau halon atau peralatan yang dipasang pada kapal yang dibangun pada atau setelah 19 Mei 2005 dan tidak ada instalasi baru yang diizinkan pada atau setelah tanggal tersebut.

Tujuan penelitian ini adalah untuk merancang sistem pengaturan udara berdasarkan general arrangement kapal tanker dengan ukuran 76 meter guna untuk kenyamanan penumpang serta membandingkan penggunaan R22 dan R407C

## **1.2 Perumusan Masalah**

Adapun masalah yang muncul diangkat dalam tugas akhir ini adalah :

- 1.2.1. Bagaimana perencanaan dari sistem HVAC yang baik di dalam menjaga kenyamanan kru kapal dan peralatan elektronis di dalam kapal?
- 1.2.2. Mencari spesifikasi dari peralatan sistem HVAC yang akan diterapkan
- 1.2.3. Membandingkan Refrigeran R 407 c dengan Refrigeran R 22

## **1.3 Batasan Masalah**

Untuk dapat melaksanakan penelitian ini diperlukan batasan masalah sebagai berikut :

- 1.3.1. Perancangan sistem ventilasi dan pengkondisian Udara hanya pada ruang akomodasi kapal dengan data kapal berikut :

Tipe Kapal	<b>Tanker Product oil</b>
Lpp	76.5
Lwl	78.795
Lebar (B)	16.4
Tinggi geladak (H)	8.6
Sarat air (T)	6.6
Kecepatan dinas (Vs)	12.15
Main Engine	MAK Caterpillar M 25C (2000 kW/ 750 rpm)

- 1.3.2. Sistem pendukung dan sistem control tidak diperhitungkan

- 1.3.3. Sistem diasumsikan dalam keadaan aliran tunak (*steady state*)

- 1.3.4. Keluaran kondensor diasumsikan cair jenuh

- 1.3.5. Analisa biaya dan segi konstruksi desain diabaikan

## **1.4 Tujuan**

Adapun tujuan penulisan tugas akhir ini adalah :

- 1.4.1. Merancang desain sistem HVAC yang baik yang ada di dalam ruang akomodasi kapal tanker. baik melalui perhitungan maupun dengan gambar perencanaan..
- 1.4.2. Mendapatkan spesifikasi komponen sistem HVAC
- 1.4.3. Mendapatkan perbandingan Refrigeran R407c dan R22

### **1.5 Manfaat**

Manfaat yang dapat diperoleh dari penulisan tugas akhir ini adalah

- 1.5.1. Memberikan gambaran sistem HVAC yang akan digunakan
- 1.5.2. Memberikan besar beban pendinginan sekaligus spesifikasi komponen sistem HVAC.
- 1.5.3. Dapat menjadi pertimbangan bagi kapal yang telah terinstalasi sistem HVAC menggunakan R22 mengubah dengan menggunakan R407C

*Halaman ini sengaja dikosongkan*

## Bab II

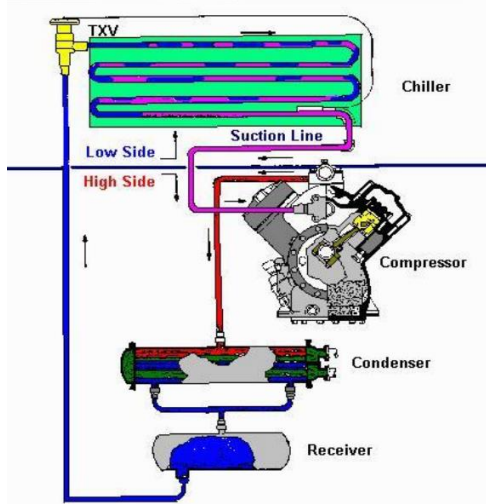
### Dasar Teori

#### 2.1 HVAC (Heating ventilation and Air Conditioning)

Beberapa instrument-instrument dari HVAC diantaranya:

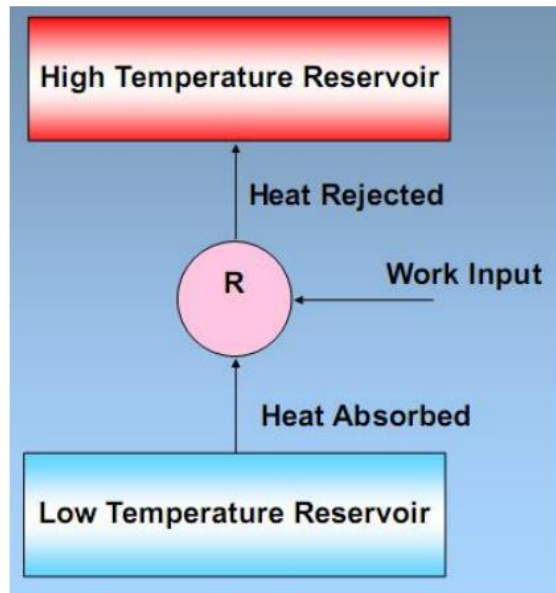
- a. Chiller merupakan mesin refrigerasi yang berfungsi untuk menghilangkan panas cairan pada sisi evaporator-nya yang selanjutnya akan didistribusikan pada mesin penukar kalor FCU (Fan Control Unit) /AHU (Air Handling Unit)
- b. FCU merupakan perangkat sederhana yang terdiri dari kumparan (coil) dan kipas. FCU digunakan untuk mengontrol suhu dalam ruangan yang dikendalikan oleh on/off switch atau thermostat. Karena kesederhananya itulah. FCU lebih ekonomis bila dibandingkan dengan AHU.
- c. AHU merupakan alat yang digunakan untuk pengkondisian udara dan sirkulasi udara sebagai bagian dari sistem HVAC. AHU biasanya berupa unit berisi blower, elemen pemanas atau pendingin, filter, peredam suara.
- d. Cooling Tower. merupakan suatu peralatan yang digunakan untuk menurunkan suhu air dengan cara mengekstrasi panas dari air dan mengemisikannya ke atmosfir. Cooling Tower menggunakan proses penguapan, dimana sebagian air diuapkan ke aliran udara yang bergerak dan kemudian dibuang ke atmosfir.

Prinsip kerja refrigerasi.



Gambar 2.1. Prinsip kerja refrigerasi

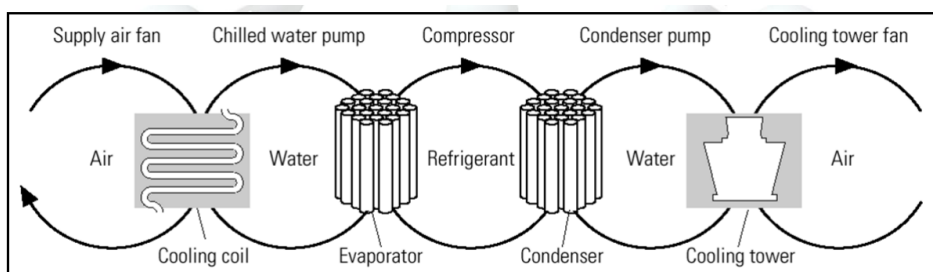
Prinsip dasar dari mesin ini adalah proses pemindahan panas dari reservoir yang bertemperatur tinggi ke reservoir rendah namun membutuhkan kerja yang harus dimasukan dalam sistem.



Gambar 2.2. Sekema perpindahan panas

(Sumber: ..... Sistem Refrigerasi dan Saluran Udara –Diktat Program Studi D4 Teknik Permesinan Kapal.)

Proses perpindahan energi panas yang terkandung dalam panas udara dalam ruangan dan juga panas dari udara dari *fresh air* pada awalnya terjadi pada unit *Air Handling Unit* (AHU). Pada unit AHU panas berpindah menuju fluida air melalui koil AHU. Kemudian air dibawa menuju evaporator untuk proses perpindahan panas dari air menuju fluida kerja berupa refrigeran. Pada proses kompresi uap fluida membawa panas untuk dileskan ke lingkungan melalui kondensor yang dibawa melalui air.



Gambar 2.3. Sekema proses perpindahan energi

## 2.2 Klassifikasi HVAC pada Kapal

Sistem pengkondisian udara pada kapal akan dibagi berdasarkan fungsi kapal tersebut yaitu : ( Sistem Refrigerasi dan Saluran Udara –Diktat Program Studi D4 Teknik Permesinan Kapal.)

- Naval ( kapal angkatan laut )
- Merchant ( kapal dagang )

Secara umum HVAC pada 2 jenis kapal tsb digunakan untuk :

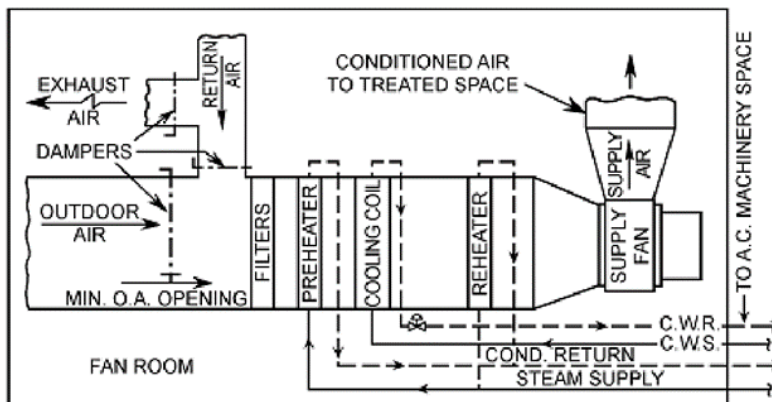
- Menjaga crew/penghuni kapal tetap sehat secara fisik maupun mental
- Menyediakan temperatur lingkungan yang sesuai dengan kriteria kerja peralatan (equipment)
- Menyediakan temperatur lingkungan yg sesuai untuk menjaga barang berbahaya seperti amunisi pada kapal Naval
- Menjaga (mengawetkan) produk-produk yang mudah busuk untuk kebutuhan Store.supplies dan cargo.
- Mencegah kontaminasi dari bahan beracun (noxious) dan mudah meledak Berdasarkan Marine Engineering Handbook kapasitas pengkondisian udara yang umum digunakan untuk kapal yaitu antara 5000 cfm sampai 8000 cfm. Dimana kapal Naval ship menggunakan sistem HVAC terpusat ( central station) yg disebut sebagai sistem resirkulasi ( recirculation system)

Sistem HVAC pada Merchant Ship (kapal dagang) diklasifikasikan menjadi :

- Sistem HVAC yg melayani ruangan yang berdimensi volume kecil antara lain passenger staterooms. crew'quarter. office. shops dll
- Sistem HVAC yang melayani ruangan yang berdimensi volume besar seperti ruang makan. lounges. messroom dll

Terdapat 4 macam peng-class-an mengenai sistem HVAC :

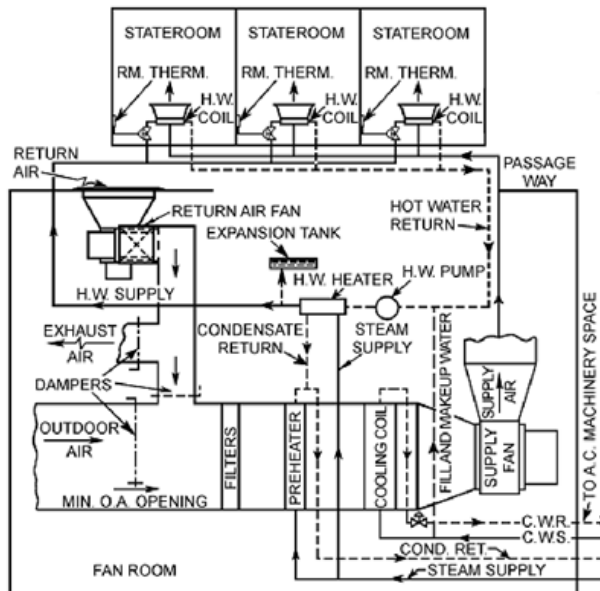
- Sistem Pendingin HVAC Class A



Gambar 2.4 Skema Sistem Pendingin class A dengan pengatur Kelembaban

Pada gambar 2.4 merupakan gambaran ilustrasi dari sistem Class A yang dikhkususkan untuk pendinginan yang memerlukan udara sirkulasi dalam jumlah besar. Dimana udara sirkulasi didapat dari udara segar (fresh air) dan udara resirkulasi dari ruangan yang keduanya dikondisikan terlebih dahulu meliputi filterisasi dan pengkondisian ( antara lain preheating, cooling, dehumidifying etc ) oleh sistem terpusat HVAC

## 2. Sistem pendingin Class D

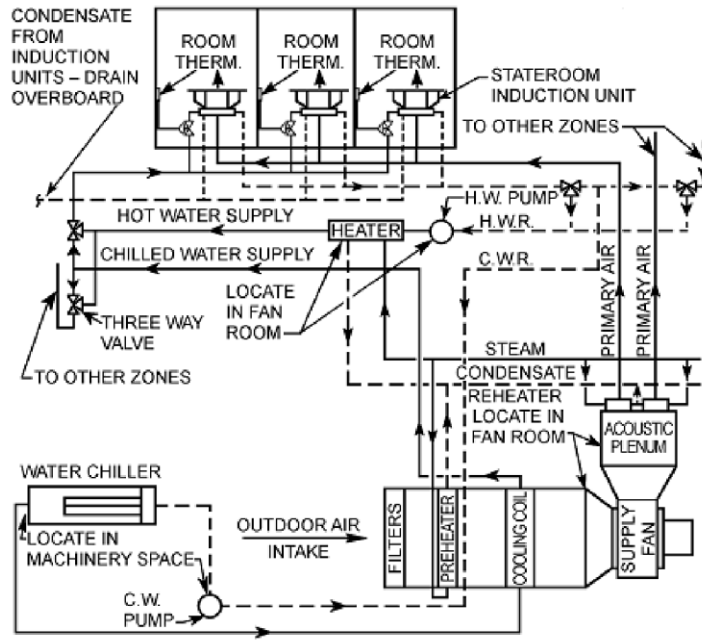


Gambar.2.5 Skema Sistem Pendingin Class D

(Sumber: ..... *Sistem Refrigerasi dan Saluran Udara –Diktat Program Studi D4 Teknik Permesinan Kapal.*)

Pada gambar 2.5 Class D (terminal pemanas ulang) AC ruang yang disediakan untuk mengakomodasi kebutuhan pendinginan dengan beban maksimum. Campuran udara luar dan udara sirkulasi yang telah difilter dipanaskan, didinginkan dan diatur kelembabannya sesuai dengan kebutuhan beban. Sistem ini digunakan untuk pelayanan penumpang kapal serta untuk para crews kapal. Dalam Class D terdapat dua komponen yang berfungsi sebagai pengatur keluaran dari udara panas maupun udara dingin yang diatur berdasarkan sensor dimana sensor tersebut bekerja saat siklus pemanas maupun siklus pendingin.

### 3. Sistem pendingin Class E

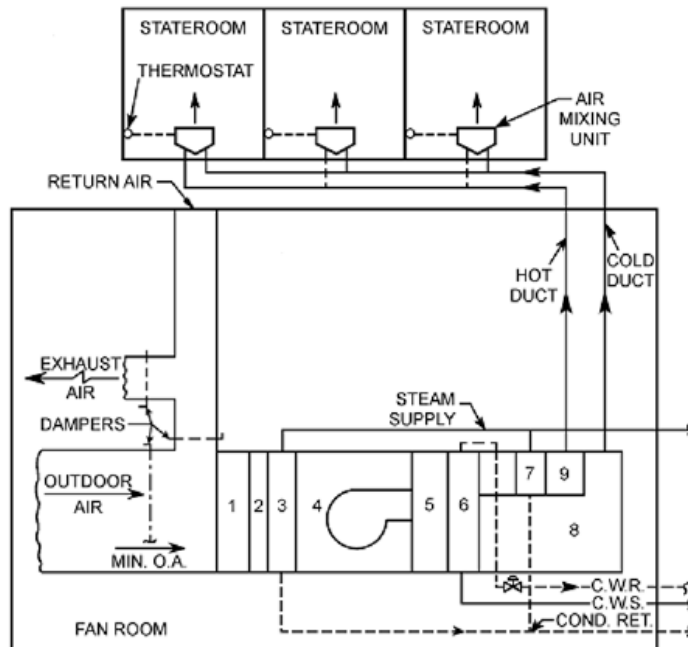


Gambar.2.6 Skema Sistem Pendingin Class E

(Sumber: ..... Sistem Refrigerasi dan Saluran Udara –Diktat Program Studi D4 Teknik Permesinan Kapal.)

Untuk gambar diatas merupakan rangkaian sistem yang digunakan untuk ruangan kecil yang memerlukan pengkondisian udara berkualitas tinggi. Sistem pendinginan udara merupakan sistem utama pada klas ini. sedangkan sistem pemanas ruangan adalah sistem sekundernya. Baik udara panas maupun udara dingin. disuplai bedasarkan kebutuhan untuk mendapatkan rasa nyaman terhadap penghuni yang berada dalam ruangan tersebut.

#### 4. Sistem pendingin Class G



Gambar2.7. Skema Sistem Pendingin Class G

(Sumber: ..... Sistem Refrigerasi dan Saluran Udara –Diktat Program Studi D4 Teknik Permesinan Kapal.)

Sedangkan pada gambar 2.7 merupakan sistem HVAC yang menggunakan sistem saluran ganda (dual duct). Dimana distribusi udara disupplai oleh Fan pada sistem terpusat yang memiliki tekanan kerja tinggi sehingga bisa mendistrbusikan udara pada dua saluran udara pada kecepatan yang tinggi yaitu 5000 fpm. Pada sistem ini akan ada 2 saluran yaitu :

1. Saluran udara panas
2. Saluran udara dingin

Sehingga proses pencampuran yang tepat antara keduanya macam udara tersebut dilakukan untuk mendapatkan nilai yg sesuai dengan beban ruangan

### 2.3 Perancangan Kondisi udara berdasar ISO 7547

Sistem pendinginan dirancang berdasarkan aturan ISO 7547 secara umum sistem harus dirancang untuk kondisi udara dengan spesifikasi pada musim panas dengan temperatur dan kelembaban udara dari lingkungan +35°C dan 70% . Kemudian dengan kondisi udara dalam ruangan +27°C dan 50%. Udara segar dari luar sudah ditentukan bahwa jumlah minimum harus tidak kurang dari 40% dari total suplai udara yang dibutuhkan.

### 2.4 Perhitungan Beban Berdasarkan ISO 7547

#### 2.4.1 Beban Panas Transmisi ( $\phi$ )

Beban panas akibat Transmisi (rambatan) melewati dinding, plafon dan juga lantai ruangan (Qtransmission =QTr). Beban ini dipengaruhi dari koefisian perpindahan panas, dan luasan dari dinding. Dengan formula yang digunakan adalah

$$\phi = \Delta T(k_v A_v) + (k_g A_g) \text{ (watt)} \quad \text{Persamaan 2.1}$$

(Sumber: \_\_\_\_\_, 2002. *Air Conditioning And Ventilation Of Accommodation Spaces On Board Ships – Design Conditions And Basic Of Calculations. ISO. Switzerland*)

$k_v$  = Koefisien perpindahan panas menyeluruh dari luas  $A_v$  ( dalam satuan W/m<sup>2</sup> °K)

$A_v$  = Luasan yang dirambati panas (m<sup>2</sup>)

$k_g$  = Koefisien perpindahan panas menyeluruh dari  $A_g$  ( dalam satuan W/m<sup>2</sup> °K)

$A_g$  = Luasan dari Scuttles dan jendela persegi panjang.

$\Delta T$  = Perbedaan temperatur antara udara dalam ruang yang dikondisikan terhadap temperatur luar (°C)

Tabel 2.1 Perbedaan temperatur antara ruangan yang berdampingan

Deck or Bulkhead	$\Delta T.K$	
	Summer	Winter
Deck against tank provided with heating	43	
Deck with bulkhead against boiler-room	28	
Deck and bulkhead against engine-room and against non-airconditioned gallery	18	17
Deck and bulkhead against non-heated tanks. cargo spaces and equivalent	13	42
Deck and bulkhead against laundry	11	17
Deck and bulkhead against public sanitary space	6	0
Deck and bulkhead against private sanitary space		
a). with any part against exposed external surface	2	0
b). No. exposed	1	0
c). with any part against engine/boiler-room	6	0
Bulkhead against alleyway	2	5

Tabel 2.2 Total heat transfer koefisien

Surfaces	Totak heat transfer coefficient. kW/(m <sup>2</sup> K)
Weather deck not exposed to sun's radiation and ship side and external bulkheads	0.9
Deck and bulkhead against engine-room. cargo space or other non-air-conditioned spaces	0.8
Deck and bulkhead against boiler-room or boiler in engine-room	0.7
Deck against open air or weather deck exposed to sun's radiation and deck against hot tanks	0.6
Side scuttles and rectangular windows. single glazing	6.5
Side scuttles and rectangular windows. double glazing	3.5
Bulkhead against alleyway. non-sound reducing	2.5
Bulkhead against alleyway. sound reducing	0.9

(Sumber: \_\_\_\_\_, 2002. Air Conditioning And Ventilation Of Accommodation Spaces On Board Ships – Desaign Conditions And Basic Of Calculations. ISO. Swittzerland)

#### 2.4.2 Beban Panas Akibat Panas Penghuni Ruangan ( $\Phi_p$ )

Nilai panas sensibel dan laten yang dipancarkan oleh seseorang pada suhu dalam ruangan 27 °C diberikan pada Tabel 4.:

Tabel 2.3 Aktivitas dan emisi panas

Activity	Type of heat	Emission (w)	
Seat at rest	Sensible heat	70	120
	Latent heat	50	
Medium/ heavy work	Sensible heat	85	235
	Latent heat	150	

(Sumber: .....2002. Air Conditioning And Ventilation Of Accommodation Spaces On Board Ships – Desaign Conditions And Basic Of Calculations. ISO. Swittzerland)

#### 2.4.3 Beban Panas Akibat Panas Radiasi Sinar Matahari ( $\Phi_s$ )

Jumlah panas akibat panas radiasi sinar matahari dihitung berdasarkan formula sebagai berikut :

$$\Phi_s = \sum A_v K \Delta T_r + \sum A_g G_s \quad \text{Persamaan 2.2}$$

(Sumber: .....2002. Air Conditioning And Ventilation Of Accommodation Spaces On Board Ships – Desaign Conditions And Basic Of Calculations. ISO. Swittzerland)

$A_v$  = Jumlah luasan yang terkena radiasi matahari (tanpa scuttle and jendela persegi)

$K$  = Koefisien perpindahan panas berdasar tabel 2.2

$\Delta T_r$  = Perbedaan temperatur permukaan yang diakibatkan panas matahari berdasarkan kondisi berikut;

$\Delta T_r = 12$  K untuk permukaan terang vertikal

$\Delta T_r = 29$  K untuk permukaan gelap vertikal

$\Delta T_r = 16$  K untuk permukaan terang horizontal

$\Delta T_r = 32$  K untuk permukaan gelap horizontal

$A_g$  = Permukaan kaca yang terkena langsung oleh sinar matahari.

$G_s$  = Panas per meter persegi dari permukaan kaca (350 W/m<sup>2</sup> untuk kaca bening. 240 W/m<sup>2</sup> untuk kaca dengan inetrior shading.

#### 2.4.4 Beban Panas dari Penggunaan Lampu Penerangan

Panas dari lampu dalam satu ruangan. beban panas dari lampu penerangan dapat diperhitunggakan dengan menggunakan table dibawah ini :

Tabel 2.4 Panas dari penerangan( $\Phi_l$ )

No.	Space	Heat gain from general lighting (W/m <sup>2</sup> )	
		Incandescent	Fluorecent
1	Cabin. etc	15	8
2	Mess or Dining Room	20	10
3	Gymnasium. etc.	40	20

(Sumber: .....2002. Air Conditioning And Ventilation Of Accommodation Spaces On Board Ships – Desaign Conditions And Basic Of Calculations. ISO. Switzerland)

#### 2.4.5 Beban Panas dari Peralatan ( $\Phi_m$ )

Jumlah panas yang disebabkan oleh peralatan dalam suatu ruang tergantung dari jenis dan kapasitas peralatan yang terpasang akan mengikuti data dari manufaktur dimana peralatan itu diproduksi. Peralatan listrik sementara. seperti perangkat radio dan televisi. pemanas air. dll..diabaikan. Panas yang diperoleh dari peralatan. dll. Di kabin radio harus diambil sebagai 2.5 kW. kecuali ditentukan lain oleh pemilik.

(Sumber: .....2002. Air Conditioning And Ventilation Of Accommodation Spaces On Board Ships – Desaign Conditions And Basic Of Calculations. ISO. Switzerland)

### 2.5 Perhitungan Kapasitas Udara

Kapasitas udara yang disuplai adalah total udara dari jumlah udara *re-circulation* dan udara *fresh air* yang harus disuplai kedalam ruangan untuk mendinginkan mencapai kondisi yang diinginkan sesuai dengan kalor ruangan tersebut. Dapat dilihat persamaan berikut:

$$Vs = \frac{QT}{\rho \cdot Cp \cdot \Delta T} \left( \frac{m^3}{h} \right) \quad \text{Persamaan 2.3}$$

(Sumber: ..... Sistem Refrigerasi dan Saluran Udara –Diktat Program Studi D4 Teknik Permesinan Kapal.)

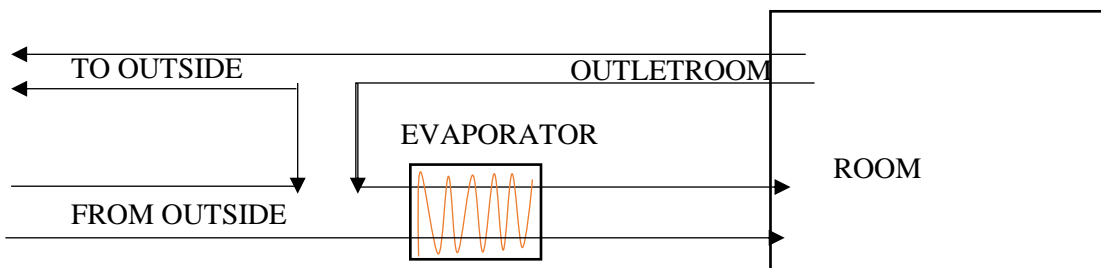
- $V_s$  = Kapasitas udara yang disupplai (m<sup>3</sup>/h)
- $Q_T$  = Total panas yang diderita ruang (watt)
- $\rho$  = Density udara ( dengan asumsi rata-rata pada tekanan atmosfer 1.2 kg/m<sup>3</sup>)
- $C_p$  = Panas spesifik udara (1.025 kJ/Kg °C)
- $\Delta t$  = Perbedaan temperatur udara dingin yang masuk ruangan dengan temperatur kriteria nyaman dan sehat bagi manusia. dimana dengan memperhatikan kesehatan maka didesain tidak lebih dari 10°C.

Tabel 2.5 Jumlah udara segar tiap standart

Assosiasi	Kebutuhan Udara Segar	Ket
DT 1 (British)	1. Public Room : $17 \text{ m}^3/\text{h/p}$	<b>h : hour</b> <b>p : person</b>
	2. Private Room : $25.5 \text{ m}^3/\text{h/p}$	
NSC (DNS) (Norway)	$25 \text{ m}^3/\text{h/p}$	
USA	$17 \text{ m}^3/\text{h/p}$	
DSS (Denmark)	$20 \text{ m}^3/\text{h/p}$	
GL (Germany)	$30 \text{ m}^3/\text{h/p}$	
MESS (Japan)	1. Public Room : $17 \text{ m}^3/\text{h/p}$	
	2. Private Room : $25.5 \text{ m}^3/\text{h/p}$	
	3. Total : 30 %	
PT. PAL Indonesia	1. Commercial ships	
	Public Room : $17 \text{ m}^3/\text{h/p}$	
	Private Room : $20-30 \text{ m}^3/\text{h/p}$	
	2. Navy Ship : $20 \text{ m}^3/\text{h/p}$	
	3. Total : 20-30 %	
ISO 7547	$28.8 \text{ m}^3/\text{h/p}$ total 40%	

## 2.6 Perhitungan Udara Sirkulasi

Perhitungan massa udara resirkulasi akan tergantung Volume udara sirkulasi dikurangi volume udara segar (fresh air) yang dibutuhkan untuk pengkondisian udara :



Gambar 2.8 udara sirkulasi

(Sumber: ..... Sistem Refrigerasi dan Saluran Udara –Diktat Program Studi D4 Teknik Permesinan Kapal.)

$V_{fresh\ air} = (V_{fa})$  = Volume rate udara segar dari luar (outside) ( $m^3/s$ )

$V_{recirculation} = V_r$  = Volume rate udara ruangan (outlet room) yang digunakan kembali ( $m^3/s$ )

$V_{supply} = V_s$  = Volume rate udara yg sudah dikondisikan untuk disupplai di ruangan ( $m^3/s$ )

$$Vs = Vfa + Vr \quad \text{Persamaan 2.4}$$

(Sumber: ..... *Sistem Refrigerasi dan Saluran Udara –Diktat Program Studi D4 Teknik Permesinan Kapal.*)

Nilai enthalpy udara campuran masuk Evaporator :

$$h_{mix} = \frac{\left(\frac{V_{fa}}{v_{fa}}\right) h_{fa} + \left(\frac{V_r}{v_r}\right) h_r}{\left(\frac{V_{fa}}{v_{fa}}\right) + \left(\frac{V_r}{v_r}\right)} \quad \left(\frac{kJ}{kg}\right)$$

Dimana:

$h_{mix}$  = enthalpy udara campuran (mixture) antara fresh air dan recirculation air ( $kJ/kg$ )

$v_{fa}$  = volume spesifik udara fresh air ( $m^3/kg$ )

$v_r$  = volume spesifik udara recirculation air ( $m^3/kg$ )

## 2.7 Beban Panas Tambahan akibat Pernafasan Manusia

Akibat dari uap air yang dikeluarkan manusia pada saat bernafas dalam ruangan yaitu adanya penambahan nilai RH. sehingga untuk mencapai RH yang direncanakan maka RH udara yang masuk diperkecil sebesar RH yang diakibatkan oleh pernafasan manusia. Dengan cara menurunkan nilai enthalphy udara yang masuk sehingga enthalpnya ( $\Delta he$ ) menjadi kecil:

$$\Delta he = \frac{N_p \cdot Q_p}{v_p} \quad \text{Persamaan 2.5}$$

(Sumber: ..... *Sistem Refrigerasi dan Saluran Udara –Diktat Program Studi D4 Teknik Permesinan Kapal.*)

$\Delta he$  = enthalphy yang harus diturunkan untuk mengimbangi penambahan RH dalam ruangan yg disebabkan adanya uap air dari nafas penghuni

$N_p$  = jumlah orang dalam ruang

$Q_p$  = panas latent yang dikeluarkan orang sebesar 80 watt/person

$v$  = kapasitas udara yang disupply ke dalam ruangan ( $m^3/hour$ )

$\rho$  = density udara rata-rata pada tekanan atmosfer ( $1.2 \text{ kg/m}^3$ )

## 2.8 Perhitungan Kapasitas Beban Pendingin dari Mesin Pendingin

Kapasitas beban mesin pendingin dapat dihitung dengan formula sbb :

$$Q_{Load} = V_s \rho \Delta h \quad (\text{kJ/h}) \quad \text{Persamaan 2.6}$$

(Sumber: ..... *Sistem Refrigerasi dan Saluran Udara –Diktat Program Studi D4 Teknik Permesinan Kapal.*)

$V_s$  = Kapasitas udara dingin yg disupplai kedalam ruangan ( $m^3/h$ )

$\rho$  = density udara rata-rata pada tekanan atmosfer ( $kg/m^3$ )

$\Delta h$  = perbedaan enthalpy antara udara yang masuk evaporator ( $h_{mix}$ ) dan sesudah evaporator ( $kJ/kg$ ).

## 2.9 Perhitungan Massa Aliran Refrigeran pada Sistem Refrigerasi

Perhitungan kebutuhan refrigerant yang mengalir pada sistem refrigerasi membutuhkan informasi beban total pendinginan dan dampak refrigerasi dari jenis refrigerant yang digunakan:

$$\dot{m}_{ref} = \frac{Q_{Load}}{\Delta h_{refrigerasi}} \quad \text{Persamaan 2.7}$$

(Sumber: ..... *Sistem Refrigerasi dan Saluran Udara –Diktat Program Studi D4 Teknik Permesinan Kapal.*)

$Q_{Load}$  = Beban evaporator ( $kJ/h$ )

$\Delta h_{refrigerasi}$  = dampak refrigerasi (refrigeration effect) ( $kJ/kg$ )

$\dot{m}_{ref}$  = Massa alir refrigerant yang dibutuhkan ( $kg/h$ )

## 2.10 Perhitungan Daya Evaporator

Perhitungan daya evaporator mengacu pada masss flow rate refrigerant dan juga enthalpy refrigerant yang masuk dan keluar evaporator

$$P_{Evaporator} = \dot{m}_{ref} \cdot \Delta h_{Refrigeration effect} = \dot{m}_{ref} (h_{out} - h_{in}) \quad \text{Persamaan 2.8}$$

(Sumber: ..... *Sistem Refrigerasi dan Saluran Udara –Diktat Program Studi D4 Teknik Permesinan Kapal.*)

$h_{in}$  =Enthalpy refrigerant masuk evaporator ( $kJ/kg$ )

$h_{out}$  =Enthalpy refrigerant keluar evaporator ( $kJ/kg$ )

## 2.11 Perhitungan Daya Kompressor

$$P_{comp} = \dot{m}_{ref}(h_{out} - h_{in})$$

**Persamaan 2.9**

(Sumber: ..... *Sistem Refrigerasi dan Saluran Udara –Diktat Program Studi D4 Teknik Permesinan Kapal.*)

$h_{in}$  =Enthalpy refrigerant masuk kompresor (kj/kg)  
 $h_{out}$  =Enthalpy refrigerant keluar kompresor (kj/kg)

## 2.12 Perhitungan Daya Kondensor

Perhitungan daya condenser akan membutuhkan informasi mass flow rate dari refrigerant dan juga enthalpy refrigerant yang masuk condenser dan keluar condenser mengacu pada temperatur media pendingin yang digunakan oleh condenser tsb

$$P_{cond} = \dot{m}_{ref}(h_{out} - h_{in})$$

**Persamaan 2.10**

(Sumber: ..... *Sistem Refrigerasi dan Saluran Udara –Diktat Program Studi D4 Teknik Permesinan Kapal.*)

$h_{in}$  =Enthalpy refrigerant masuk condensor (kj/kg)  
 $h_{out}$  =Enthalpy refrigerant keluar condensor (kj/kg)

## 2.13 Refrigeran

Pada sistem refigerasi yang berperan sebagai sitem pendinginannya adalah refrigeran. Refrigerant adalah fluida kerja sistem refirgerasi yang berfungsi menyerap, memindahkan, melepaskan kalor dari satu media ke media yang lainnya. Dalam penelitian ini akan membandingkan dengan menggunakan refrigeran jenis R 407 C dibandingkan dengan refrigeran R 22.

### a. Refrigeran R22

R22 yang telah digunakan terutama dalam pengkondisian udara dan dalam aplikasi suhu menengah dan rendah mengandung atom klorin yang menipiskan ozon dan karenanya akan dihapus pada akhirnya. CFC telah dilarang di negara-negara maju sejak tahun 1996. dan sejak 1 Januari 2010. produksi dan penggunaan CFC dilarang sepenuhnya di seluruh dunia. Refrigeran HCFC juga akan dihapus pada tahun 2020 dan 2030 di negara maju dan berkembang. Berikut properti refrigeran

b. Refrigeran R 407 c

Alternatif yang disarankan untuk R22 salah satunya R407 c. R407 c adalah campuran zeotropik dari R32 / R125 / R134a (23/25/52 oleh% wt). sifat kimia dan fisik R-407C sangat mirip dengan R-22. dalam penggunaannya dapat menggunakan peralatan yang sudah ada. Tipe pelumas yang harus digunakan untuk penggunaan R407C sebagai refrigeran kerja adalah *polyol ester* dengan kualitas tinggi. Untuk sistem yang sebelumnya menggunakan R22 tidak perlu peralatan khusus yang berbeda, karena secara kimia dan fisik properti R407C sangat mirip dengan R22. Namaun bagaimanapun juga perlu diperhatikan untuk menghindari terjadinya kontaminasi antara perbedaan type pelumas. (The Chemours Company FC,2016)

## **2.14 Penelitian Yang Telah Dilakukan Sebelumnya**

### **2.14.1 Perencanaan Sistem Ventilasi dan Pengkondisian Udara (HVAC) pada Ruangan Akomodasi Kapal Perang Jenis Convertte Ukuran 90 Meter ( 2010)**

Penelitian ini dilakukan oleh mahasiswa program sarjana Jurusan Teknik Sistem Perkapalan ITS.Adityaksa Prasadhana . Pada penelitian ini. penulis merencanakan sistem pengkondisian udara untuk kapal perang dengan tujuan penyediaan kenyamanan thermal pada personal serta peralatan elektronis di dalam kapal. dengan teknologi HVAC yang diterapkan di dalam kapal perang. Hasil perancangan didapat. Chilled Water Unit kapasitas 188 kW dengan refrigeran R404A. Chiller pump 54 m<sup>3</sup>/h. AHU 8 unit kapasitas 3888 m<sup>3</sup>/h dan 2412 m<sup>3</sup>/h.

### **2.14.2 Perancangan Sistem Pengkondisian Udara Hemat Energi Dengan Menggunakan Desiccant Untuk Ruang Muat Kapal Pengangkut Hewan Ternak (LivestockVessel) (2013)**

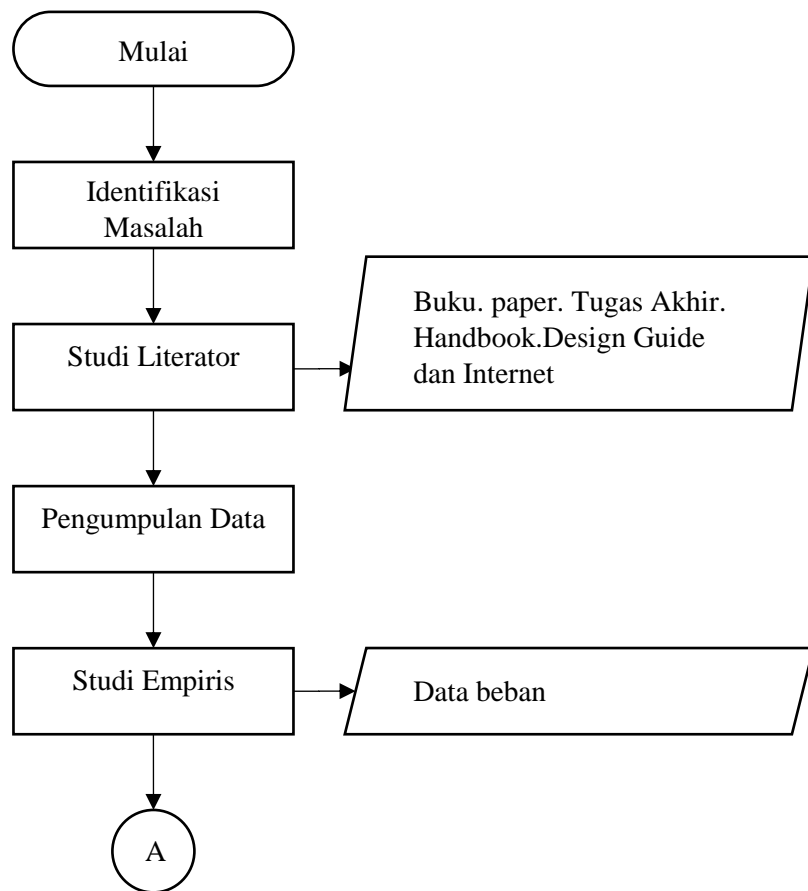
Penelitian ini dilakukan oleh mahasiswa program sarjana Jurusan Teknik Sistem Perkapalan ITS.Yusuf Yulizar . Pada penelitian ini. penulis membahas tentang kebutuhan udara untuk ruang muat dengan merancang sebuah sistem pengkondisian udara yang hemat energi dengan menggunakan desiccant. Untuk dapat melakukan perancangan diperlukan beberapa tahapan yaitu beban-beban yang terjadi diruang muat sebesar 1.796kW dan kapasitas udara sebesar 11.45m<sup>3</sup>/s pada 20 air changes/hour. Sehingga dapat diketahui untuk sistem pengkondisian udara tanpa menggunakan desiccant membutuhkan beban pendingin sebesar 527kW. sedangkan pada sistem pengkondisian udara dengan mennggunakan desiccant sebesar 1.199kW yang terdiri dari beban pendingin 587kW. heater sebesar 612kW. dan motor penggerak rotor desiccant sebesar 1kW

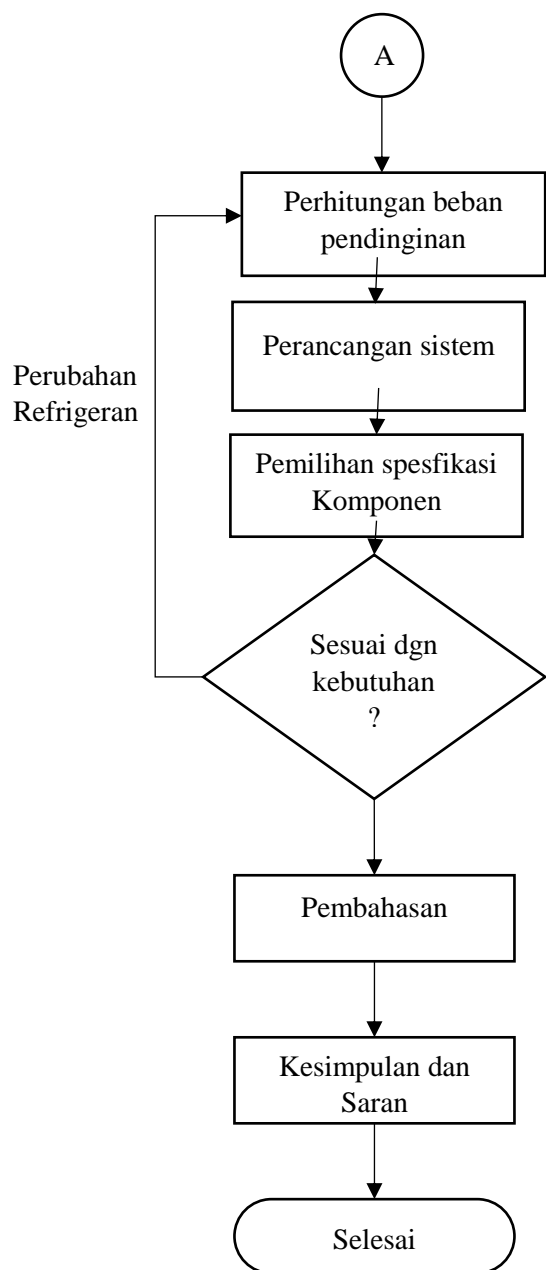
### 2.14.3 Performance of R407C as an Alternate to R22: A Revie (2016)

Penelitian ini dilakukan oleh Shailendra Kaseraa Department of Mechanical Engineering. Poornima College of Engineering. Jaipur. India. Makalah ini membahas R407C sebagai penurunan pengganti R22. Sesuai Protokol Montreal. pelarangan penggunaan R22 kedepan akan berlaku karena dampaknya yang tidak menguntungkan terkait dengan lingkungan. misalnya ozone depletion potential (ODP) dan potensi pemanasan global (GWP). R407C memiliki nol ODP dan GWP dibandingkan dengan R22. Pelepasan refrigeran di sekitarnya menjadi penyebab masalah yang berkaitan dengan lingkungan. Tinjauan rinci tentang studi eksperimental yang terkait dengan kinerja R407C disediakan. Tujuannya adalah untuk mengumpulkan semua informasi yang terdiversifikasi tentang R407C dalam satu kertas. Hal ini ditemukan setelah pengamatan yang seksama bahwa R22 memiliki kinerja yang lebih baik daripada R407C dalam banyak aspek yaitu COP. Kapasitas Pendinginan. Konsumsi Energi. dan Analisis Eksergetik tetapi retrofitting point of view. refrigeran terbaik yang sesuai dan R410A cocok untuk desain baru.

### Bab III Metodologi

Dalam pembuatan tugas akhir ini. tentu saja memerlukan proses yang harus terstruktur. Hal tersebut haruslah ada. agar kedepannya dalam penggerjaan akan terasa lebih terarah dan lebih mudah. Secara umum metodologi pada tugas akhir ini terdiri dari mencari data beban pendinginan . Adapun tahapan-tahapannya adalah sebagai berikut :





### 3.1 Identifikasi Masalah

Tahap pertama dalam penelitian adalah mengidentifikasi masalah. Masalah atau topik yang akan dibahas diformulasikan atau dirumuskan pada tahap ini. Pada penelitian ini, masalah yang akan dibahas adalah perancangan sistem pengaturan udara pada ruang akomodasi kapal tanker dengan menggunakan refrigeran R407C sebagai refrigeran alternatif R22. Variabel bebas pada penelitian ini adalah beban beban meliputi ; beban

kalor panas transmisi. beban kalor personal. beban kalor equipment. beban kalor infiltrasi dan beban kalor pencahayaan. Variabel terikat pada penelitian ini adalah efek refrigerasi yang dihasilkan. Variabel kontrol adalah penggunaan dua refrigerant R22 dan R407C.

### **3.2 Studi Literatur**

Studi literatur dilakukan setelah masalah telah ditentukan. Studi literatur dilakukan dengan cara mengumpulkan dan mempelajari materi yang berhubungan dengan penelitian ini. Materi yang dimaksud dapat berupa buku. paper atau jurnal. tugas akhir. dan informasi dari berbagai artikel termasuk yang bersumber dari internet. Lebih spesifik. materi yang perlu diperdalam adalah sistem pengaturan udara. comfort zone untuk standard ISO 7457.

### **3.3 Pengumpulan Data**

Penelitian ini dilakukan berdasarkan design general arrangement Kapal Tanker dengan ukuran 76 meter . Dengan demikian diperlukan data-data terkait pembebanan kalor pada kapal tersebut. Data yang diperlukan adalah beban kalor panas transmisi. beban kalor personal. beban kalor equipment. beban kalor infiltrasi dan beban kalor pencahayaan dan debit udara yang melalui sistem untuk dapat mengetahui kebutuhan pendinginan. Dan juga data properties dari refrigeran R22 dan R407C.

### **3.4 Studi Empiris**

Tahap ini merupakan analisis dan perencanaan awal berdasarkan penelitian yang telah dilakukan. Pada tahap ini dilakukan perkiraan beban pendinginan.

### **3.5 Perancangan Sistem**

Sistem dirancang sesuai dengan kebutuhan. Sistem pengaturan udara mengatur sampai pada kondisi referensi berdasarkan ISO 7547 dengan variasi penggunaan refrigeran R22 dengan R 407 c. Perancangan dilakukan melalui

1. Perhitungan kebutuhan beban pendinginan
2. Perancangan sistem dan ducting
3. Pemilihan spesifikasi.

### **3.6 Hasil dan Pembahasan**

Hasil dari seluruh pekerjaan sebelumnya akan dibahas. Pembahasan—berdasarkan perhitungan yang telah dilakukan—mencakup beban pendinginan dan effect dari refrigerasi. kerja heat exchanger antara aliran ke dan dari ruangan. jumlah panas yang perlu dibuang pada kondensor. dan terutama efek refrigerasi yang dapat dihasilkan oleh evaporator untuk mengontrol suhu.

### **3.7 Kesimpulan dan Saran**

Tahap terakhir adalah menyimpulkan semua proses yang telah dilaksanakan sebagai jawaban atas masalah yang telah ditentukan. Pada tahap ini juga diberikan saran-saran yang sebaiknya dilakukan pada sistem yang ada maupun untuk penelitian berikutnya

*Halaman ini sengaja dikosongkan*

## **Bab IV**

### **Analisis dan Pembahasan**

#### **4.1 Data Utama Kapal**

Tahapan awal dalam menentukan system Air Conditioning yang akan digunakan untuk mengkondisikan udara di dalam ruang akomodasi kapal niaga jenis tanker produk oil. maka berdasarkan data yang didapat. ditentukan temperatur yang diinginkan pada ruangan pengkondisian udara. Berdasarkan ISO 7457 2002 desin kondisi yang ditentukan temperatur dan kelembapan pada iklim tropis masing-masing +27 °C dan 50 %. Selain data tersebut. dibutuhkan juga General Arrangement dari kapal tanker tersebut.

Pada perencanaan system HVAC ini. menggunakan sistem pendinginan jenis Central Air Conditioning system yang mana ruangan-ruangan akan didinginkan oleh satu mesin pendingin. disebut chiller. Chiller akan mendinginkan air yang dialirkan melalui sistem pemopaan. Air yang mengalami pendinginan pada evaporator dialirkan menuju sistem penanganan udara (AHU) menuju koil pendingin. Barulah AHU mendinginkan udara yang didistribusikan ke setiap ruangan. Terdeapat beberapa pertimbangan yaitu;

- Kebisingan dan getaran mesin pendingin hampir tidak mempengaruhi ruangan
- Perbaikan dan pemeliharaan lebih mudah
- Seluruh beban pendingin semua ruangan dalam bangunan dapat dilayani oleh satu system ( unit ) saja.
- Kelembapan udara dapat diatur

Terdapat sub penggeraan yang akan dikerjakan pada bab pembahasan ini. diantaranya adalah :

- Perencanaan system Air Conditioning
- Perencanaan sistem suplai udara

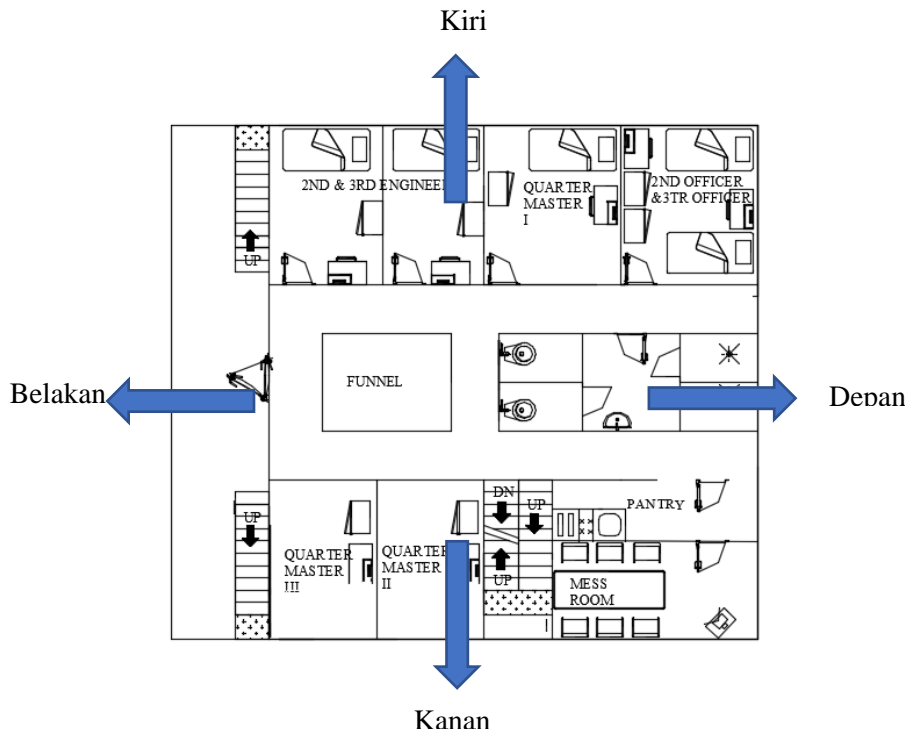
Tabel 4.1 Data utama kapal

Tipe Kapal	<b>Tanker Product oil</b>
Lpp	76.5
Lwl	78.795
Lebar (B)	16.4
Tinggi geladak (H)	8.6
Sarat air (T)	6.6
Kecepatan dinas (Vs)	12.15
Main Engine	MAK Caterpillar M 25C (2000 kW/ 750 rpm

## 4.2 Perhitungan Beban Pendinginan

### 4.2.1 Beban Panas Transmisi

Sebagaimana dijelaskan. beban panas transmisi dihitung dengan menentukan terlebih dahulu besaran tiap luasan bidang sisi ruangan. Berikut keterangan dari posisi luasan sisi pada tiap sekat kapal.



Gambar 4.1 Standart Posisi luasan Ruangan Kapal  
Dalam perhitungan beban transmisi

Karena komponen dari panas transmisi salah satu faktornya yaitu luasan daerah yang ditransmisikan panas. Kemudian menghitung perbedaan temperatur pada tiap ruangan. Dimana perbedaan temperatur didapat dari **Tabel 2.1** berdasar ISO 7457.

Faktor selanjutnya yaitu menentukan koefisien heat transfer yang dialami oleh tiap tiap sisi yang mentransmisikan panas. Nilai dari koefisien heat transfer dipengaruhi dari ruangan yang saling berdampingan (Gambar Terlampir). dimana nilai tersebut dapat didapat dari Tabel 2.2.

Setelah didapatkan perhitungan dari Luasan (A), perbedaan Temperatur ( $\Delta T$ ) dan besaran koefisien heat tranfer. dengan menggunakan **persamaan 2.1** didapat contoh perhitungan pada wheel house sebagai berikut

Tabel 4.2 salah satu luas dinding ruangan

Deck	Luasan	
	Av	Ag
Wheel house		
- Atas	64.5	
- Kanan	27.5	0.22
- Kiri	27.5	0.22
- Depan	22.5	14
- Belakang	21.1	
- Funnel	15.6	

Salah satu perhitungan pada wheel house

### Dinding kanan

$$\Phi = \Delta T(k_v A_v) + (k_g A_g) \text{ (watt)}$$

$k_v$  = karena dinding ini berdampingan langsung dengan sinar matahari maka nilai = 0.6

$A_v$  = dilihat dari tabel diatas=  $27.5 \text{ m}^2$

$k_g$  = jenis jendela single glassing = 6.5

$A_g$  = dilihat dari tabel diatas =  $0.22 \text{ m}^2$

$\Delta T$  = berdasarkan tabel 2.1 merujuk ISO 7457 = 8

$$\Phi = \Delta T(k_v A_v) + (k_g A_g)$$

$$\Phi = 8 (0.6 * 27.5) + (6.5 * 0.22)$$

$$\Phi = 199.2 \text{ watt}$$

Perhitungan diatas dilakukan pada semua sisi dinding disetiap ruangan. maka didapatkan besar beban panas transmisi total seluruh ruangan sebesar  $\Phi_t = 10.3495 \text{ kW}$

#### 4.2.2 Beban Panas Akibat Panas Penghuni Ruangan

Dalam menentukan beban panas akibat panas penghuni ruangan yang sudah dikondisikan pada suhu  $27^\circ \text{ C}$ . maka harus ditentukan dulu besarnya kalor sensibel dan kalor latent. Nilai besaran kalor tersebut dipengaruhi dari jumlah penghuni dan jenis aktifitas yang dilakukan oleh penghuni ruangan. Penentuan besar nilai kalor didasarkan asumsi aktifitas di tiap ruang kapal. dapat dilihat pada **Tabel 2.3.** didapat contoh perhitungan pada ruang wheel house dan brige deck sebagai berikut;

Tabel 4.3 Asumsi jumlah orang dan aktifitas

Room	Person	Jenis Panas		$\Phi_p$	
		Sensibel	Latent	Sensibel	Latent
Wheel House	5	85	150	425	750
Brige Deck					
- Captain	1	70	50	70	50
- Chief Officer	1	70	50	70	50
- Chief Enginner	1	70	50	70	50
- Mess Room	3	70	50	210	150
- Captain Office room	1	85	150	85	150
- Chief Office Room	1	85	150	85	150
- Meeting Room	3	70	50	210	150
- Pantry	1	85	150	85	150

Besaran nilai pada tabel dikalikan jumlah personel dengan mengansumsikan aktifitas. Perhitungan diatas dilakukan juga pada ruang yang lain. maka didapatkan besar total panas akibat penghuni ruangan didapat  $\Phi_p = 11.215 \text{ kW}$

#### 4.2.3 Beban Panas Akibat Panas Radiasi Sinar Matahari

Beban panas ini diakibatkan radiasi sinar matahari yang diterima oleh permukaan kapal secara langsung. Besar nilai panas sangat dipengaruhi luas permukaan yang terkena sinar secara langsung. Maka tahap pertama adalah menghitung luas permukaan pada sisi kapal yang terkena sinar matahari.

Kemudian menentukan nilai perbedaan temperatur. Berdasar ISO 7457 2002. besar perbedaan temperatur yang dimaksud adalah kelebihan suhu (di atas suhu luar + 35 ° C) yang disebabkan oleh radiasi matahari.

Faktor selanjutnya yaitu menentukan koefisien heat transfer yang dialami oleh tiap tiap sisi yang mentransmisikan panas radiasi. Nilai dari koefisien heat transfer dipengaruhi dari ruangan yang terkena langsung sinar matahari. dimana nilai tersebut dapat didapat dari **Tabel 2.2**. Kemudian ditambah dari nilai panas yang diradiasikan melalui jendela. Nilai panas ditentukan luas kaca jendela dan panas permeter persegi pada kaca.

Setelah didapatkan perhitungan dari Luasan (A). perbedaan Temperatur ( $\Delta T$ ) dan besaran koefisien heat tranfer. dan ditambah dari nilai panas radiasi melalui jendela. Berikut contoh perhitungan pada ruangan wheel house dengan menggunakan **persamaan 2.2** ;

Tabel 4.4 Luas bagian terpampang sinar matahari

Deck	$A_v$	$A_g$
Wheel House		
- Atas	64.5	
- Kanan	27.5	0.22
- Kiri	27.5	0.22
- Depan	22.5	14
- Belakang	21.1	

### Dinding kanan

$$\Phi_s = \sum A_v K \Delta T_r + \sum A_g G$$

$A_v$  = Jumlah luasan yang terkena radiasi matahari =  $27.5 \text{ m}^2$

$K$  = Koefisien perpindahan panas berdasar tabel 2.2 = 0.6

$\Delta T_r$  = 16 K untuk permukaan terang horizontal

$A_g$  = Permukaan kaca yang terkena oleh sinar matahari =  $0.22 \text{ m}^2$

$G_s$  = Panas per meter persegi dari permukaan kaca  $350 \text{ W/m}^2$  untuk kaca bening

$$\Phi_s = \sum A_v K \Delta T_r + \sum A_g G$$

$$\Phi_s = 27.5 * 0.6 * 16 + 0.22 * 350$$

$$\Phi_s = 340.6 \text{ watt}$$

Perhitungan diatas dilakukan pada semua sisi dinding disetiap ruangan yang terpapar sinar matahari secara langsung. maka didapatkan besar total dari  $\Phi_s$  = 15.704 kW.

#### 4.2.4 Beban Panas dari Penggunaan Lampu Penerangan

Lampu penerangan pada tiap-tiap ruangan juga menghasilkan panas yang perlu diperhitungkan dalam menentukan beban pendinginan. Besar nilai panas yang dihasilkan bergantung dari jumlah dan besar daya lampu. Namun pada ISO 7457. besar panas ditentukan melalui pendekatan besar luas lantai pada tiap-tiap ruangan di kapal. Besar luas lantai pada tiap-tiap ruangan dikalikan dengan faktor beban konstan pada setiap ruang berdasar jenis ruang dan jenis lampu yang digunakan. Nilai faktor konstan dapat dilihat pada Tabel 2.4. maka akan didapatkan besar beban panas dari penggunaan lampu penerangan  $\Phi_l$  = 3.3483 kw

#### 4.2.5 Beban Panas dari Peralatan

Jumlah panas yang disebabkan oleh peralatan dalam suatu ruang tergantung dari jenis dan kapasitas peralatan yang terpasang akan mengikuti data dari manufaktur dimana peralatan itu diproduksi. Peralatan listrik sementara. seperti perangkat radio dan televisi. pemanas air. dll..diabaikan. Panas yang diperoleh dari peralatan. dll di kabin radio berdasar ISO 7457 diambil besar panas yang dihasilkan = 2.5 kW

#### 4.2.6 Beban Total Pendinginan Total

Didapatkan besar masing-masing tiap beban kalor. kemudian dengan menjumlahkan semua beban kalor. maka diketahui besarnya pendinginan yang dibutuhkan untuk mengkondisikan udara di ruang akomodasi kapal tanker yaitu sebesar.

$$\begin{aligned}\Phi_{\text{total}} &= \Phi_t + \Phi_p + \Phi_s + \Phi_l + \Phi_m \\ \Phi_{\text{total}} &= 10.3495 + 11.2150 + 15.7040 + 3.3483 + 2.5000 \\ \Phi_{\text{total}} &= 43.1168 \text{ kW}\end{aligned}$$

### 4.3 Kapasitas Udara

Pada sistem HVAC ini dirancang untuk menggunakan Chilled Water Air Conditioning. dimana selain selain membutuhkan komponen Chilled water system. komponen Air Handling Unit diperlukan guna mengatur suplai udara dingin ke tiap-tiap ruangan. Selain itu. dengan menggunakan AHU temperatur ruangan dapat diatur sesuai dengan kebutuhan.

Besarnya jumlah aliran yang perlu dialirkan oleh AHU kedalam ruangan dapat dihitung dengan menggunakan persamaan 2.3.

#### Wheel house

$$Vs = QT / (\rho \cdot Cp \cdot \Delta T)$$

$$\begin{aligned}QT &= \text{Total panas yang diderita ruang Wheel house} = 11.9935 \text{ kW} \\ \rho &= \text{Density udara dengan asumsi rata-rata pada tekanan atmosfer} 1.2 \text{ kg/m}^3 \\ Cp &= \text{Panas spesifik udara} = 1.025 \text{ kJ/Kg } ^\circ\text{C} \\ \Delta t &= \text{Perbedaan temperatur udara dingin yang masuk ruangan sekitar} 35^\circ\text{C} \\ &\text{dengan temperatur kriteria} 27^\circ\text{C} = 8^\circ\text{C}\end{aligned}$$

$$Vs = QT / (\rho \cdot Cp \cdot \Delta T)$$

$$Vs = 11.9935 / (1.2 * 1.025 * 8)$$

$$Vs = 975.08 \text{ m}^3/\text{h}$$

Perhitungan diatas dilakukan pada semua deck kapal guna menentukan AHU berdasarkan laju aliran udara dengan ketentuan dari ISO 7457 udara segar tidak boleh kurang dari 0.008 m<sup>3</sup>/s per orang.

#### 4.4 Perhitungan Kapasitas Beban Pendinginan

Tahap selanjutnya. setelah didapatkan kapasitas udara yang harus disuplai AHU kedalam ruangan. yaitu menghitung kapasitas beban pendinginan yang harus dikeluarkan oleh chilled untuk mengubah temperatur dan entalpi udara dari luar menjadi temperatur yang sesuai kenyamanan dan nilai entalpi yang sesuai dengan kelembaban yang ditentukan yaitu 50 %.

Besar kapasitas beban pendinginan dipengaruhi dari kapasitas udara dan besar perbedaan entalpi dari udara luar dan udara ruangan yang sesuai kenyamanan dan ditambah dengan nilai entalpi yang diperlukan untuk mengatasi kelembaban akibat uap pernafasan personal pada ruangan. Nilai entalpi dapat ditentukan dari grafik psikometri. Sehingga ketika semua nilai sudah didapatkan. besar kapasitas beban pendinginan dapat dicari menggunakan persamaan 2.6. berikut perhitungan dari deck wheel house;

##### Wheel House

$$Q_{Load} = V_s \rho \Delta h \text{ (kJ/h)}$$

$v_s$  = didapatkan dari perhitungan sebelumnya = 975.08 m<sup>3</sup>/h

$\rho$  = 1.2 (kg/m<sup>3</sup>)

$\Delta h$  = perbedaan  $h_1$  = udara diluar ruangan dengan  $h_2$  yang diinginkan ditambah  $\Delta h_e$  dengan menggunakan persamaan 2.5 (kJ/kg).

$$\Delta h_e = (N_p \cdot Q_p) / v_p$$

$\Delta h_e$  = enthalphy yang harus diturunkan untuk mengimbangi penambahan RH dalam ruangan yg disebabkan adanya uap air dari nafas penghuni

$N_p$  = jumlah orang dalam ruang = 5

$Q_p$  = panas latent yang dikeluarkan orang sebesar 80 watt/person

$v$  = kapasitas udara yang disupply ke dalam ruangan = 975.08 m<sup>3</sup>/h

$\rho$  = density udara rata-rata pada tekanan atmosfer = 1.2 kg/m<sup>3</sup>

$$\Delta h_e = (5 * 80) / (975.08 * 1.2)$$

$$\Delta h_e = 0.3419 \text{ kJ/kg}$$

Jika berdasar iso 7547.

Asumsi kondisi udara luar  $T_1 = 35^\circ\text{C}$  dengan RH=70%. maka  $h_1 = 105 \text{ kJ/kg}$

Udara yang diinginkan dengan  $T_2 = 27^\circ\text{C}$  dengan RH= 50%. maka  $h_2 = 57 \text{ kJ/kg}$

$$\Delta h = (h_1 - h_2) + \Delta h_e$$

$$\Delta h = 48.3419 \text{ kJ/kg}$$

$$Q_{Load} = V_s \rho \Delta h$$

$$Q_{Load} = 975.08 * 1.2 * 48.3419$$

$$Q_{Load} = 56565 \text{ kJ/h}$$

Perhitungan diatas dilakukan pada setiap deck berdasarkan besar nilai laju aliran udara oleh AHU dan jumlah penghuni pada setiap deck. Maka didapat besar nilai total adalah  $Q_{load} = 197051.4492 \text{ kJ/h} = 56.79 \text{ kW}$

#### 4.5 Sekema Water Chilled System

Sebuah diagram skematis dari sistem pendinginan dengan kompresi uap diilustrasikan pada Gambar.4.2. P-h diagram (Gambar. 4.3) menggambarkan semua titik-titik state yang sesuai dengan Gambar.4.2 termasuk garis jenuh. Analisis termodinamika dari sistem pendinginan kompresi uap dilakukan berdasarkan asumsi hasil dari menggunakan softwere Coolpack dengan menginput data teknis kompresor. Berikut sekema water chilled system :

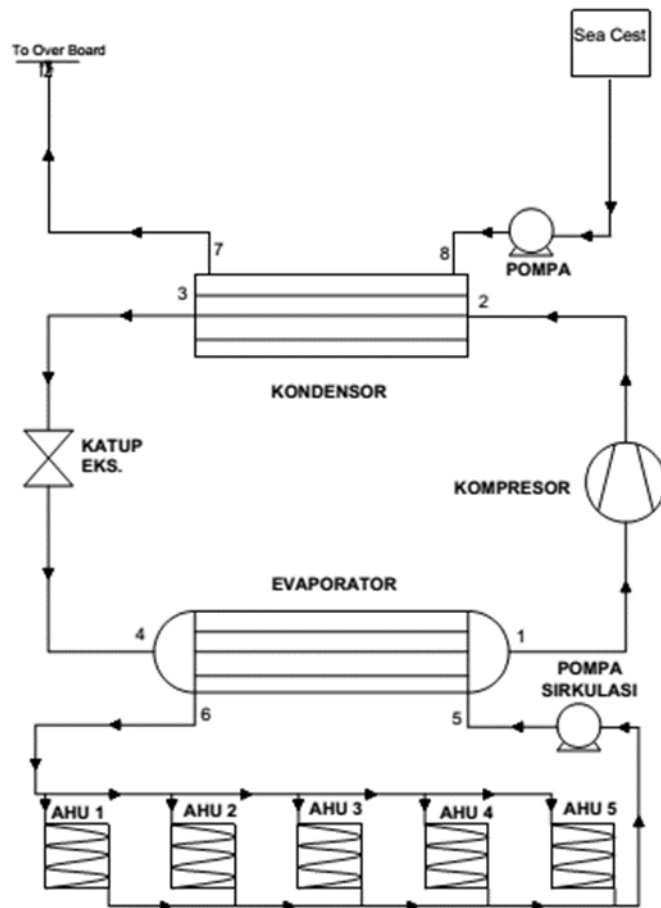


Diagram 4.1 Sekema Water Chilled System

Proses pengkondisian udara oleh sistem water chilled diawali dari kalor dari udara dalam ruangan diambil melalui proses perpindahan kalor oleh coil AHU-AHU setiap deck. Kalor tersebut diserap oleh air yang mengalir dalam coil. Air yang membawa kalor kemudian memasuki proses perpindahan panas pada unit evaporator dalam sistem refrigerasi. kalor pada air berpindah ke fluida refrigeran yang mengalami evaporasi. Refrigeran yang mengalami evaporasi tersebut akan dikondensasi pada unit kondensor dengan bantuan cooling tower. Berikut penjelasannya :

#### 4.6 Perencanaan pada Sisi AHU

Sistem HVAC yang dirancang yaitu dengan menggunakan Chilled Water Air Conditioning Palnt, dimana selain menggunakan komponen Chilled Water System, juga diperlukan Komponen Air Handling Unit. Dimana untuk mengatur besarnya suplai udara ke ruangan dan mengatur besarnya temperatur pengkondisian udaranya.

Besarnya jumlah aliran udara penyegaran pada ruangan, telah diatur oleh ISO 7547 bahwa tidak boleh kurang dari 0.008 m<sup>3</sup>/s per orang atau sama dengan 28.8 m<sup>3</sup>/h. Setelah diketahui besar jumlah aliran udara penyegaran, maka akan didapat besar kapasitas aliran udara yang dire-sirkulasikan kedalam ruangan kembali.

Sehingga akan didapat hasil tabel sebagai berikut

Tabel 4.5 Kapasitas pendinginan

Deck	Jumlah Kebutuhan Udara (m <sup>3</sup> /h)	Kapasitas Pendinginan kW
Wheel House	975.08	15.71
Brige Deck	528.12	8.51
Boat Deck	558.17	9.08
Poop Deck	806.98	13.02
Main Deck	648.12	10.45

#### 4.7 Pemilihan Spesifikasi Air Handling Unit

Setelah didapatkan besarnya udara pendinginan yang dibutuhkan pada setiap deck, maka dapat dilakukan pemilihan spesifikasi komponen air Handling Unit yang sesuai dengan kebutuhan dan dengan keluaran temperatur adalah 27°C ,antara lain sebagai berikut:

Tabel 4.6 Pemilihan AHU

AHU	Deck	Perhitungan	Q AHU (m <sup>3</sup> /h)	Spek tipe AHU
1	Wheel House	$Q = 975.08 \text{ m}^3/\text{h}$	3000 m <sup>3</sup> /h	Gree G-3WD/B
		15.71 kW	17.11 kW	
2	Brige Deck	$Q = 528.12 \text{ m}^3/\text{h}$	2000 m <sup>3</sup> /h	Gree G-2WD/B
		8.51 kW	11.03 kW	
3	Boat Deck	$Q = 558.17 \text{ m}^3/\text{h}$	2000 m <sup>3</sup> /h	Gree G-2WD/B
		9.08 kW	11.03 kW	
4	Poop Deck	$Q = 806.98 \text{ m}^3/\text{h}$	2500 m <sup>3</sup> /h	Gree G-2.5WD/B
		13.02 kW	14.1 kW	
5	Main Deck	$Q = 648.12 \text{ m}^3/\text{h}$	2000 m <sup>3</sup> /h	Gree G-2WD/B
		10.45 kW	11.03 kW	

Maka dipilih dengan spesifikasi Air Handling Unit sebagai berikut :

Merek	Gree		
Tipe	Gree G-2WD/B	Gree G-2.5WD/B	Gree G-3WD/B
Aliran Udara	2000 m <sup>3</sup> /h	2500 m <sup>3</sup> /h	3000 m <sup>3</sup> /h
Aliran Air	0.53 l/s	0.67 l/s	0.86 l/s
Kaps. Pendinginan	11.03 kW	14.1 kW	17.11 kW
Panjang	1230 mm	1230 mm	1230 mm
Tinggi	615 mm	615 mm	615 mm
Lebar	1580 mm	1580 mm	1780 mm
t kondisi nominal ruangan = DB: 27°C ; WB : 19.5°C			
t air masuk : 7°C		t air keluar : 12 °C	

Didapatkan AHU dengan temperatur udara keluaran 27°C diperlukan temperatur air masuk 7°C dan temperatur air keluar 12°C. Sehingga kemudian dapat ditentukan *flow rate* air sesuai kapasitas pendinginan.

#### 4.8 Pemilihan Spesifikasi Pompa Sirkulasi

Udara pada ruang dihisap dan disirkulasikan melewati coil pada AHU sehingga terjadi perpindahan kalor. Kalor yang diserap oleh fluida air. akan mengakibatkan air mengalami perubahan temperatur. Kemudian akan didinginkan kembali oleh unit evaporator. Air yang sudah didinginkan oleh evaporator akan dialirkan kembali ke koil pada AHU untuk menyerap kalor kembali dan begitu seterusnya. Air tersebut disirkulasikan oleh pompa sirkulasi. Dengan melakukan persamaan ;.

$$\dot{m}_{load} = \dot{m} \cdot c \cdot (T_i - T_o)$$

dari data kondisi nominal evaporator  $T_i$  dan  $T_o$ ,  $T_i = 12^\circ\text{C}$  dan  $T_o = 7^\circ\text{C}$  maka didapatkan;

$$\begin{aligned}\dot{m} &= Q_{load} / (c \cdot (T_5 - T_6)) \\ \dot{m} &= 56.77 / (4.19(12-7)) \\ \dot{m} &= 2.709 \text{ kg/s} \\ \dot{m} &= 0.002709 \text{ m}^3/\text{s} \\ \dot{m} &= 9.75 \text{ m}^3/\text{h}\end{aligned}$$

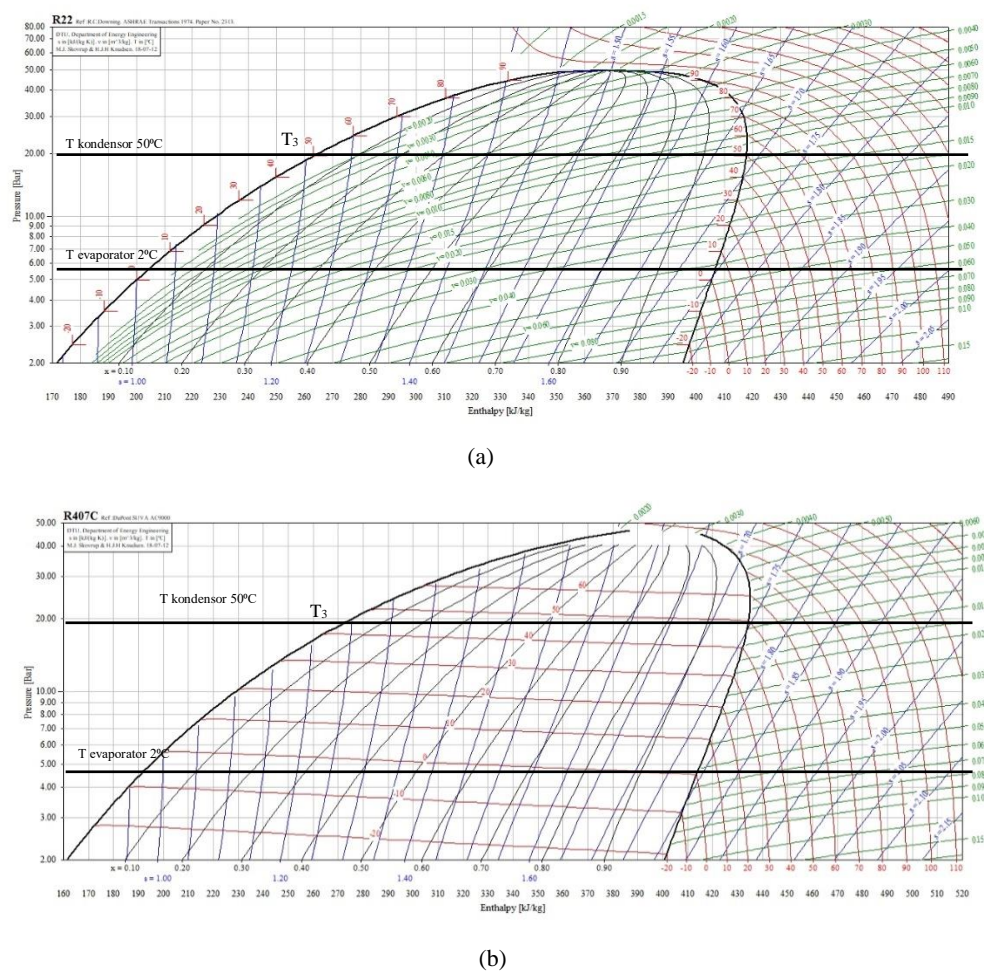
maka didapatkan nilai kapasitas pompa yang diperlukan adalah  $Q_{pompa} = 9.75 \text{ m}^3/\text{h}$ .

#### 4.9 Perencanaan pada Chiller

Pada bagian chiller merupakan bagian utama pada sistem water chiller. Dengan memanfaatkan proses kompresi uap dengan menggunakan fluida refrigeran. Kalor yang dibawa oleh air akan mengevaporasi refrigeran pada unit evaporation dengan cara perpindahan panas. Pada bagian ini akan dilakukan perhitungan untuk menentukan parameter-parameter perancangan dan mengetahui nilai performa secara pendekatan menggunakan formula. Parameter perancangan perancangan dalam perhitungan sistem refrigerasi berupa tekanan dan temperatur pada kondensor dan evaporator. Kondisi refrigeran yang keluar dari kondensor berupa cair dan saat memasuki kompresor refrigeran berupa uap superheat.

Tabel 4.7 Parameter Perencanaan

Refrigeran	Komponen	T ( $^\circ\text{C}$ )	Kondisi
R-22	Evaporator	2	Uap Superheat 10 $^\circ\text{K}$
	Kondensor	50	Cair Subcooling 5 $^\circ\text{K}$
R-407c	Evaporator	2	Uap Superheat 10 $^\circ\text{K}$
	Kondensor	50	Cair Subcooling 5 $^\circ\text{K}$



Gambar 4.2. Ploting perencanaan pada diagram P-h

- Penentuan Titik 3

Pada titik 3 adalah dimana refrigeran keluar dari kondensor pada kondisi cair dengan subcooling 5°K pada temperatur kondensasi 50°C berikut masing-masing data properti:

Tabel 4.8 Saturation Properties pada Titik 3

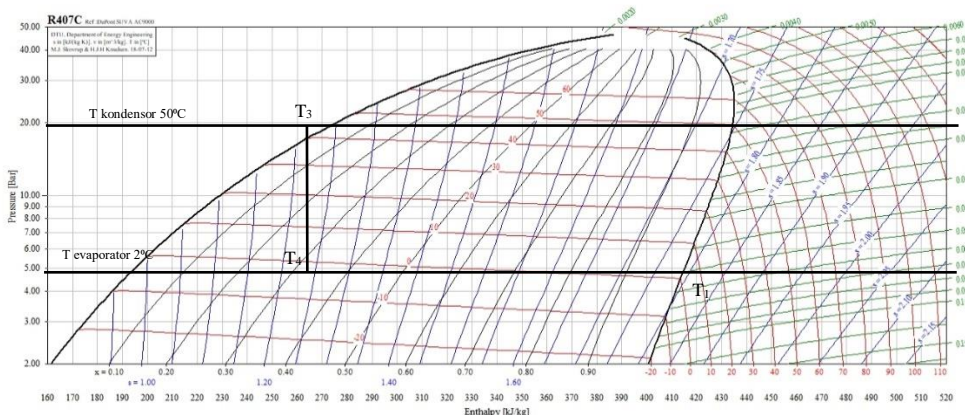
Refrigeran	P <sub>3</sub> (MPa)	T <sub>3</sub> (°C)	h <sub>3</sub> (kJ/kg)	s <sub>3</sub> (kJ/K-kg)
R-22	1.942	45	256.3	1.188
R-407c	1.959	40	263.9	1.215

- Proses titik 3-4

Proses ini tekanan cairan refrigeran diturunkan dengan menggunakan expansion valve. Saat terjadi penurunan tekanan juga terjadi penurunan suhu dan peningkatan mutu refrigeran. sebab dengan penurunan tekanan dan suhu sebagian refrigeran cair berubah menjadi gas. Pada proses ini tidak terjadi perubahan entalpi sehingga  $h_3 = h_4$ .



(a)



(b)

Gambar 4.3 Plotting titik 1 pada P-h diagram

Kemudian didapat titik 4 dari perpotongan garis penurunan temperatur dan tekanan pada entalpi yang sama dengan garis  $T_e$  evaporator  $2^\circ C$ . didapatkan properties dari plotting diagram moiler sebagai berikut:

Tabel 4.9 Saturation properties pada titik 4

Refrigerant	$h_4(kJ/kg)$	$P_4(MPa)$	$T_4(^\circ C)$
R-22	256.3	0.530	2.00
R-407c	263.9	0.484	-2.60

- Proses titik 4-1 Evaporasi

Proses penguapan diasumsikan isotherm atau terjadi pada suhu sama. dimana hanya terjadi perubahan fase refrigeran cair menjadi gas. Panas latent penguapan diambil dari air sehingga terjadi pendinginan pada air. Refrigeran keluar evaporator pada fase uap superheat  $10^{\circ}\text{K}$ , sehingga titik 1 didapatkan dari perpotongan garis  $T$  evaporator  $2^{\circ}\text{C}$  dengan penguapan superheater  $10^{\circ}\text{K}$ . Maka didapatkan properties pada titik 1 sebagai berikut:

Tabel 4.10 Saturation Properties pada titik 1

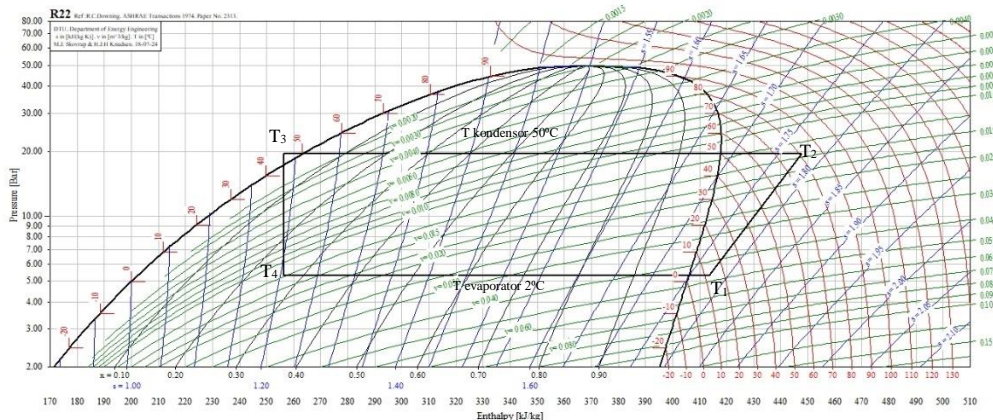
Refrigeran	$T_1$ ( $^{\circ}\text{C}$ )	$P_1$ (MPa)	$h_1$ (kJ/kg)	$s_1$ (kJ/K-kg)
R-22	12	0.530	413.37	1.775
R-407c	11.8	0.484	423.04	1.820

- Proses titik 1-2 Kerja Kompresi

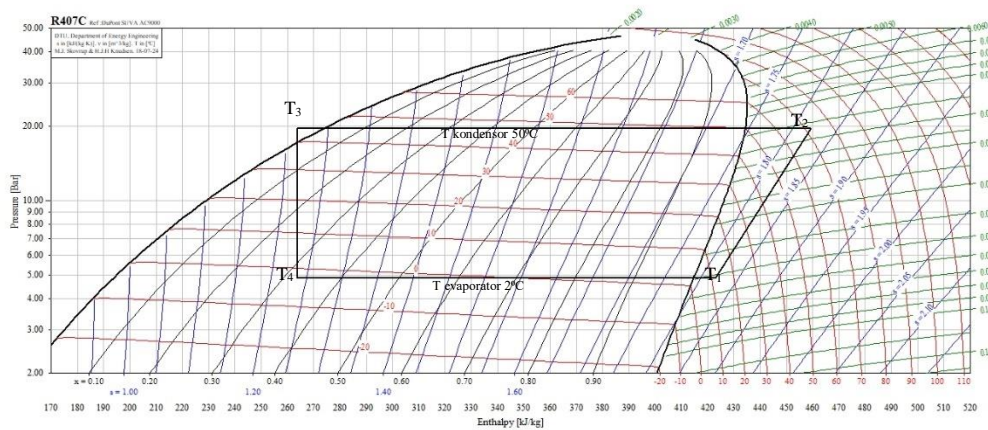
Pada titik 1 menujukkan refrigeran keluar pada evaporator, kemudian dikompresi oleh kompresor temperatur dan entalpi meningkat. Pada proses ini diasumsikan pada kondisi isentropik, titik 2 merupakan perpotongan garis entorpi dan garis tekanan yang sama pada titik 3, maka didapatkan kondisi pada titik 2 sebagai berikut;

Tabel 4.11 Saturation Properties pada titik 2

Refrigeran	$s_2$ (kJ/K-kg)	$P_2$ (MPa)	$T_2$ ( $^{\circ}\text{C}$ )	$h_2$ (kJ/kg)
R-22	1.775	1.942	81	447.75
R-407c	1.820	1.959	72	459.23



(a)



(b)

Gambar 4.3 Diagram P-h (a) R22 dan (b) R407c

- Proses titik 2-3 Kondensasi

Pada proses ini, refrigeran yang telah dikompresi mengalami peningkatan tekanan dan temperatur. Peningkatan temperatur yang melebihi dari temperatur kondensasi 50 °C Mengakibatkan refrigeran dapat melakukan kondensasi pada unit kondensor. Pada proses kondensasi Gas refrigeran bertekanan dan bersuhu tinggi dikondensasi dan menghasilkan refrigeran cair jenuh. Proses yang terjadi adalah pelepasan panas melalui koil kondensor kemudian diserap oleh air pendingin. Proses kondensasi bekerja pada tekanan tetap. Pada awal proses suhu gas refrigeran sedikit mengalami penurunan. selanjutnya terjadi perubahan fase gas menjadi cair pada suhu tetap. Sehingga  $P_2 = P_3$

#### 4.10 Analisa Rancangan dengan Termodinamika

Dari data yang diperoleh, didapatkan nilai beban pendinginan total adalah sebesar 56.79 kW. Beban pendinginan ini merupakan kalor yang harus diserap oleh sistem dari lingkungan atau ruangan didalam ruang, dengan mengasumsikan tidak ada heat loss yang terjadi maka  $Q_{evap}$  dianggap sama dengan nilai beban pendinginan. Refrigeran yang keluar dari kondensor diasumsikan dalam keadaan cair jenuh, sedangkan refrigeran yang keluar dari evaporator dalam keadaan uap jenuh setelah menyerap kalor dari lingkungan. Dengan menggunakan asumsi ini, maka nilai enthalpy pada  $h_1$  dan  $h_4$  dapat ditentukan dengan melihat tabel properti atau p-h diagram dari refrigeran yang telah di analisa pada subbab sebelumnya.

- a. Laju aliran massa refrigeran ( $\dot{m}_{ref}$ )

Besar Flow rate refrigeran dapat diketahui dengan menggunakan formula :

$$\dot{m}_{ref} = \frac{Q_{Load}}{\Delta h_{refrigerasi}}$$

$$\dot{m}_{ref} = 56.79/(413.37-256.38)$$

$$\dot{m}_{ref} = 0.361 \text{ kg/s (R-22)}$$

$$\dot{m}_{ref} = 56.79/(423.04-263.89)$$

$$\dot{m}_{ref} = 0.357 \text{ kg/s (R-407 c)}$$

- b. Q Evaporator

Besarnya panas yang diserap refrigeran pada evaporator dapat diketahui dengan **persamaan 2.8**, bahwa dengan mengalikan laju aliran massa refrigeran dengan selisih entalpi pada evaporator. Besarnya panas yang diserap oleh evaporator ini disebut juga sebaai kapaistas pendinginan

$$Q_{load} = 56.79 \text{ kW}$$

- c. Q Kondensor

Besarnya laju perpindahan kalor dari refrigeran kemudian diserap oleh air pada kondensor. Dengan menggunakan **persamaan 2.9**, maka didapatkan nilai sebagai berikut :

$$Q_{out} = \dot{m} \ ref(h_2-h_3)$$

$$Q_{out} = 0.361 (447.75-256.38)$$

$$Q_{out} = 69.08 \text{ Kw (R-22)}$$

$$Q_{out} = 0.357 (459.23-263.89)$$

$$Q_{out} = 69.73 \text{ kW (R-407 c)}$$

d. Q Kerja Kompressor

Kerja kompressor merupakan besar usaha yang dilakukan kompressor untuk mengkompresi uap super panas refrigeran. Besar nilai dihitung berdasarkan perkalian antara flow rate refrigeran dengan beda entalpi antara discharge dan suction.

$$W_{\text{Kompressor}} = \dot{m} \cdot ref(h_2 - h_1)$$

$$W_{\text{Kompressor}} = 0.361 (447.75 - 413.37)$$

$$W_{\text{Kompressor}} = 12.41 \text{ kW (R-22)}$$

$$W_{\text{Kompressor}} = 0.357 (459.23 - 423.04)$$

$$W_{\text{Kompressor}} = 12.92 \text{ kW (R-407 c)}$$

e. *Heat rejection ratio (HRR)*

*Heat rejection rasio* merupakan perbandingan antara panas yang dibuang oleh sistem dengan panas yang diserap oleh sistem. Dalam hal ini, panas dibuang melalui kondensor dan diserap melalui evaporator. Nilai dari *Heat rejection rasio* diperoleh dengan membandingkan nilai Q kondensor dengan nilai Q evaporator .

$$HRR = Q_{\text{kondensor}} / Q_{\text{evaporator}}$$

$$HRR = 69.08 / 56.79$$

$$HRR = 1.21 (\text{R-22})$$

$$HRR = 69.73 / 56.79$$

$$HRR = 1.23 (\text{R-407 c})$$

f. *Coeffecient of Performance*

Nilai COP yang dihitung pada penelitian ini adalah nilai COP ideal yang diperoleh dengan mambagi anatara panas yang diserap oleh refrigeran pada evaporator dengan hasil kerja nyata kompressor pada sistem refrigerasi.

$$COP = Q_{\text{evaporator}} / W$$

$$COP = 4.57 (\text{R22})$$

$$COP = 4.39 (\text{R407c})$$

#### 4.11 Validasi Perhitungan Menggunakan Software

Pada bagian ini akan dilakukan validasi terhadap perhitungan sistem yang selanjutnya akan dilakukan dengan bantuan software Engineering Equation Solver (EES) yang terdapat pada software *coolpack*. Penggunaan software ini ditujukan untuk mempermudah perhitungan sistem dan mempercepat waktu penggerjaan. Jika dibandingkan dengan penggerjaan secara manual dalam arti melihat properti refrigeran dengan membaca nilai-nilai pada tabel properti, penggunaan software EES dapat melakukannya secara otomatis, pengguna hanya perlu menuliskan persamaan pada jendela yang telah disediakan dan menentukan parameter-parameter yang diinginkan agar software dapat melakukan perhitungan sistem.

Sebelum perhitungan sistem dilanjutkan dengan menggunakan software perlu dilakukan validasi dengan membandingkan antara hasil dari perhitungan dengan melihat tabel properti refrigeran secara manual dengan perhitungan menggunakan software. Kemudian diamati nilai error yang terdapat dari kedua hasil perhitungan tersebut.

##### 4.11.1 Ringkasan Hasil Perhitungan Manual dan Software

Berikut hasil perhitungan yang telah dilakukan dengan software. Parameter dan persamaan yang digunakan dalam perhitungan sistem pada bab ini dapat dilihat pada lampiran.

Tabel 4.12 Hasil perhitungan manual

Lokasi		Temp.	Tekanan	Entalpi	Win	COP
		(°C)	(MPa)	(kJ/kg)	(kW)	
R22	Titik 1	12	0.530	413.37	12.41	4.57
	Titik 2	81.12	1.942	447.75		
	Titik 3	45	1.942	256.38		
	Titik 4	2	0.530	256.38		
R407C	Titik 1	12	0.484	423.04	12.81	4.39
	Titik 2	72.72	1.959	459.23		
	Titik 3	39	1.959	263.89		
	Titik 4	-2.6	0.484	263.89		

Tabel 4.13 Hasil dari software

Lokasi		Temp.	Tekanan	Entalpi	Win	COP
		(°C)	(MPa)	(kJ/kg)	(kW)	
R22	Titik 1	12	0.530	258	12.45	4.561
	Titik 2	81	1.941	292.3		
	Titik 3	45	1.941	101.2		
	Titik 4	2	0.530	101.2		
R407C	Titik 1	12	0.487	276	13.07	4.346
	Titik 2	72.7	1.968	311.9		
	Titik 3	40.2	1.968	116.9		
	Titik 4	-2.6	0.487	116.9		

#### 4.11.2 Error Perhitungan

Tabel 4.14 error dari hasil perhitungan

Lokasi		Temp.	Tekanan	Entalpi	Win	COP
		(°C)	(MPa)	(kJ/kg)	(kW)	
R22	Titik 1	0%	0%	38%	0%	0%
	Titik 2	0%	0%	35%		
	Titik 3	0%	0%	61%		
	Titik 4	0%	0%	61%		
R407C	Titik 1	0%	1%	35%	2%	1%
	Titik 2	0%	0%	32%		
	Titik 3	3%	0%	56%		
	Titik 4	0%	1%	56%		

Dari perbandingan kedua perhitungan yang telah dilakukan dapat dilihat bahwa entalpy dari pembacaan grafik dan aplikasi memiliki error yang bernilai diatas 30 persen. Namun pada nilai properties temperatur, dan tekanan, sangat kecil error dari perhitungan dan software dibawah 5% . Dan perhitungan daya dan COP juga mengalami error yang kecil hanya 1 persen. Hal ini mungkin terjadi karena ada perbedaan properti dari yang terdapat pada tabel properti produk dan nilai properti refrigeran pada software.

#### 4.12 Pemilihan Evaporator

Evaporator merupakan salah satu unit Heat Exchanger atau alat penukar panas dimana menggunakan refrigeran sebagai fluida kerja yang mendinginkan air yang membawa kalor dari ruangan-ruangan yang didinginkan sebesar 56.79 kW. Pada evaporator terjadi perpindahan panas dari air sebagai fluida yang didinginkan menuju refrigeran. Pada analisa sebelumnya telah didapatkan kondisi pada sisi refrigeran sebagai berikut :

Tabel 4.15 Perencanaan evaporator

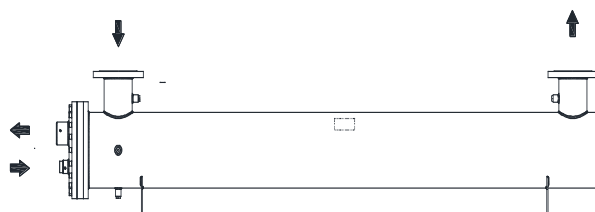
Refrigeran	R 22	R407C
Tci [°C]	2	-2.30
Tco[°C]	2	2
Tevp [°C]	2	2
$\dot{m}_{ref}$ [kg/s]	0.397	0.402

Maka didapatkan evaporator dengan spesifikasi dan kondisi nominal sebagai berikut:

Tabel 4.16 Spesifikasi evaporator

Evaporator	R22	R407C
Merek	i-cold	Alfa-laval
Tipe	ICASTE1-070	DXS65
Cooling capt.	67 kW	65 kW
T evp	2 °C	2 °C
Thi	12 °C	12 °C
Tho	7 °C	7 °C
Dimensi (PxLxT)	1425x168x168 mm	1431x168x168

Dengan menggunakan kondisi nominal evaporator, temperatur air masuk dan temperatur keluar, kemudian dilakukan analisa heat balance digunakan untuk menentukan flow rate air



Gambar 4.4 Shell and Tube Evaporator

#### 4.13 Pemilihan Kondensor

Kondensor merupakan salah satu unit *Heat Exchanger* atau alat penukar panas dimana menggunakan Refrigeran yang dikompressi oleh kompressor hingga mencapai super heat di kondensasi oleh kondensor. Pada unit kondensor terjadi perpindahan panas dari refrigeran sebagai fluida panas menuju air sebagai fluida dingin. Pada analisa sebelumnya telah didapatkan kondisi pada sisi refrigeran sebagai berikut :

Tabel 4.17 Perencanaan Kondensor

Refrigeran	R 22	R407C
Thi [°C]	71.12	62.72
Tho[°C]	50	45
Tkonds [°C]	50	50
$\dot{m}$ ref [kg/s]	0.397	0.402
$Q_{out}$ [kW]	69.59	70.64

Maka didapatkan kondensor dengan spesifikasi dan kondisi nominal sebagai berikut:

Tabel 4.18 Spesifikasi Kondensor

Kondensor	R22
Merek	i-cold
Tipe	ICASTS-075S
Cooling capt.	75 kW
T kons	41 °C
Tci	29 °C
Flow rate	11 m <sup>3</sup> /h (3.05 kg/s)
Dimensi (PxLxT)	810x168x168 mm

Dengan menggunakan kondisi nominal unit Kondensor, temperatur air masuk dan flow rate, kemudian dilakukan analisa heat balance digunakan untuk menentukan temperatur air keluar.

$$(T_{ho} - T_{hi}) = Q_{load} / (c \dot{m})$$

$$(T_{ho} - 29) = 69.59 / (4.19 \cdot 3.05)$$

$$T_{ho} = 29 + 5.44$$

$$T_{ho} = 34.44^{\circ}\text{C} \quad \mathbf{R22}$$

$$(T_{ho} - 29) = 70.64 / (4.19 \cdot 3.66)$$

$$T_{ho} = 29 + 4.60$$

$$T_{ho} = 33.60^{\circ}\text{C} \quad \mathbf{R407C}$$

#### 4.14 Pemilihan Kompressor.

Pada penelitian ini digunakan kompressor sama untuk beban pendinginan yang sama yaitu 56.79 kW. Maka dipilih kompressor dengan spesifikasi sebagai berikut:

Tabel 4.19 Spesifikasi Kompressor

Kompressor	Refcomp SP4H3000	Refcomp SP4H300E
Refrigeran	R-22	R 407 c
Kaps. pendinginan.kW	66,3	61.4
Evaporasi. °C	2	2
Konensaasi . °C	50	50
Motor input. kW	21.7	20.8

#### 4.15 Perbandingan Penggunaan R22 dan R407C

Pada sub-bab ini parameter pada beberapa komponen akan divariasikan untuk mengetahui dampak yang ditimbulkan terhadap parameter lain. Variasi dilakukan pada temperatur beban pendinginan pada evaporator. Dari variasi parameter komponen tersebut akan dilihat pengaruhnya terhadap laju aliran massa fluida, Q kondensor, luas perpindahan panas kondensro dan panjang pipa kondensor.

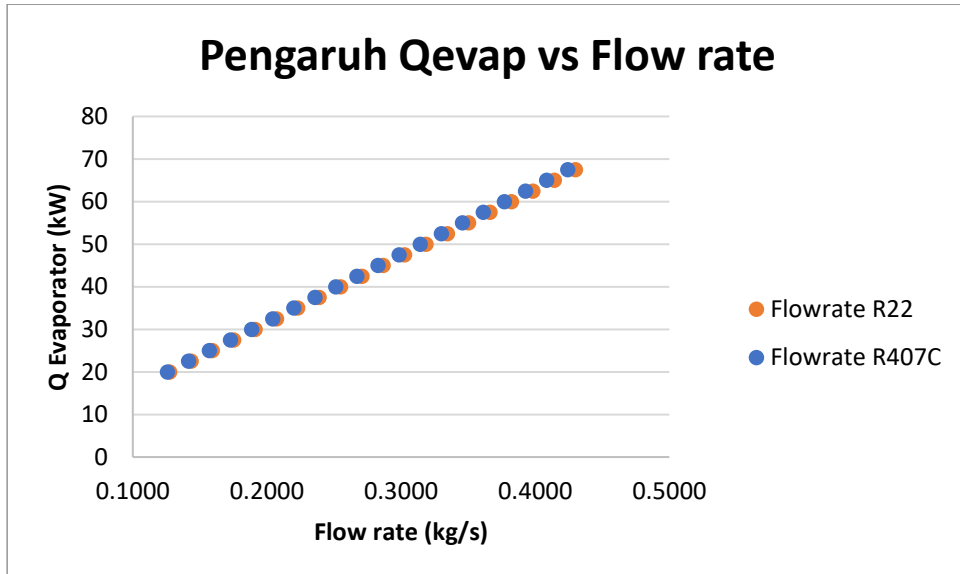
##### 4.15.1 Pengaruh Variasi Beban Pendinginan Evaporator terhadap Laju Aliran Massa R22 dan R407C

Beban Pendinginan pada evaporator divariasikan dalam beberapa variasi kW untuk melihat hubungannya terhadap laju aliran massa refrigeran. Dari perhitungan awal yang telah dilakukan dapat diketahui bahwa nilai laju aliran massa dapat berpengaruh terhadap kalor panas yang harus dikeluarkan Kondensor.

Tabel 4.20 beban pendinginan terhadap flow rate

Qevap (kW)	Flowrate R22 (kg/s)	Flowrate R407C (kg/s)
20	0.1274	0.1257
25	0.1592	0.1571
30	0.1911	0.1885
35	0.2229	0.2199
40	0.2548	0.2513
45	0.2866	0.2828
50	0.3185	0.3142
55	0.3503	0.3456
60	0.3822	0.3770
65	0.4140	0.4084
67.5	0.4300	0.4241

Dari hasil perhitungan untuk beberapa variasi beban pendinginan evaporator dapat diketahui bahwa nilai dari laju aliran massa akan semakin tinggi atau laju aliran massa semakin cepat untuk nilai beban pendinginan yang semakin tinggi pula. Hal ini dikarenakan pada beda entalpi yang sama dievaporator , nilai beban pendinginan evaporator berbanding lurus dengan laju aliran massa. Untuk selanjutnya beban pendinginan evaporator yang digunakan adalah 56,79 kW. Hubungan antara variasi beban pendinginan evaporator terhadap laju aliran massa refrigeran dapat diamati pada Grafik 4.1.



Grafik 4.1 Q evaporator vs Laju aliran massa

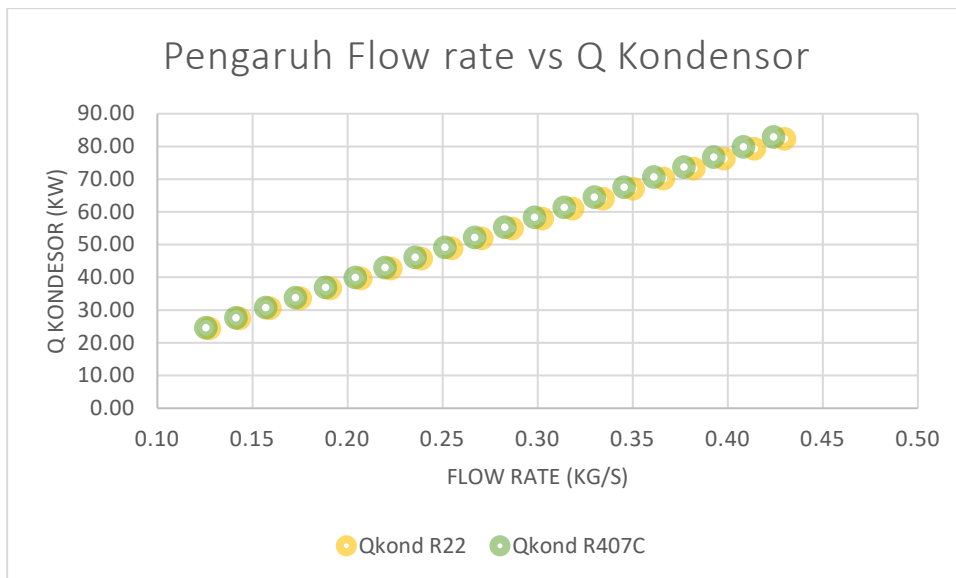
#### 4.15.2 Pengaruh Laju Aliran Massa terhadap Kalor buang Kondensor

Laju aliran massa membangun kalor buang yang perlu dipindahkan oleh kondensor. Perbedaan entalpi pada evaporator antara R22 dan R407C mempengaruhi masing-masing lajualiran massa. sehingga tiap peningkatan laju aliran massa perlu dihitung kalor buang kondensor.

Tabel 4.21 Pengaruh Laju Aliran Massa terhadap Kalor buang Kondensor

Q Evap (kW)	Qkond R22 (kW)	Qkond R407C (kW)	Flowrate R22 (kg/s)	Flowrate R407C (kg/s)
20	24.38	24.55	0.13	0.13
22.5	27.43	27.62	0.14	0.14
25	30.47	30.68	0.16	0.16
27.5	33.52	33.75	0.18	0.17
30	36.57	36.82	0.19	0.19
32.5	39.62	39.89	0.21	0.20
35	42.66	42.96	0.22	0.22
37.5	45.71	46.03	0.24	0.24
40	48.76	49.10	0.25	0.25
42.5	51.81	52.16	0.27	0.27
45	54.85	55.23	0.29	0.28
47.5	57.90	58.30	0.30	0.30
50	60.95	61.37	0.32	0.31
52.5	64.00	64.44	0.33	0.33
55	67.04	67.51	0.35	0.35
57.5	70.09	70.58	0.37	0.36
60	73.14	73.64	0.38	0.38
62.5	76.19	76.71	0.40	0.39

Dari hasil perhitungan untuk beberapa variasi beban pendinginan evaporator dapat diketahui bahwa nilai dari laju aliran massa juga terpengaruh. sehingga semakin tinggi atau laju aliran massa semakin cepat untuk nilai beban pendinginan yang semakin tinggi juga mempengaruhi kalor buang kondensor. Pada masing-masing refrigeran R407C terlihat lebih besar peningkatannya dibanding R22 . Hal ini dikarenakan pada beda entalpi yang sama dievaporator , nilai beban pendinginan evaporator berbanding lurus dengan kalor buang kondensor. Untuk selanjutnya beban pendinginan evaporator yang digunakan adalah 56,79 kW. Hubungan antara variasi beban pendinginan evaporator terhadap laju aliran massa refrigeran dapat diamati pada Grafik 4.2



Grafik 4.2. Pengaruh Laju Aliran Massa terhadap Kalor buang Kondensor

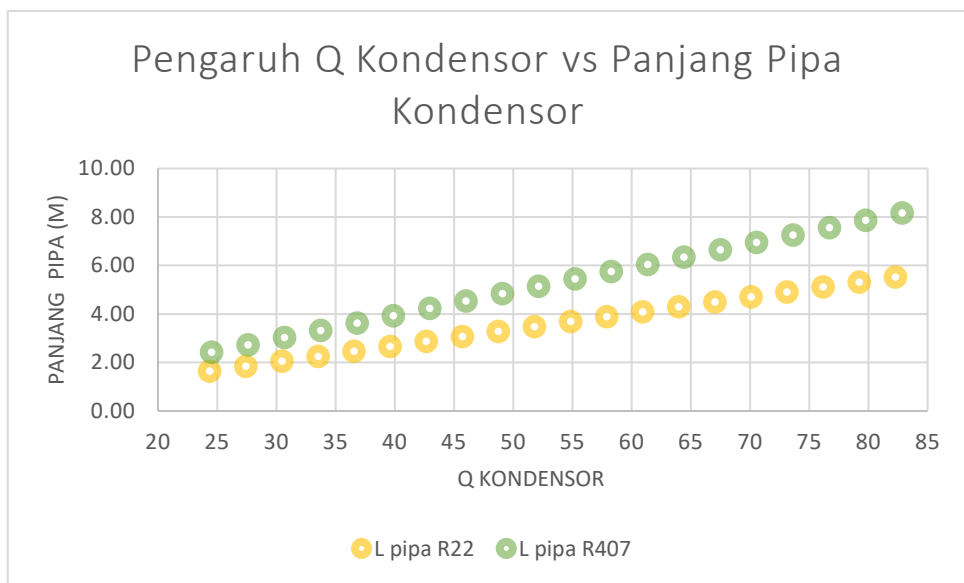
#### 4.15.3 Pengaruh Kalor Buang Kondensor terhadap Panjang Pipa Kondensor

Laju aliran massa mempengaruhi kalor buang pada kondensor. Pada analisa ini dirancang kondensor memiliki diameter dalam 0.0254 m ketebalan pipa 0.001651 m, diameter luar pipa 0.028702 m dan kecepatan fluida air sebagai pendingin 6.03 m/s. Kemudian suhu air untuk mendinginkan 29 °C. Kemudian dihitung untuk dicari panjang pipa kondensor pada masing-masing refrigeran.

Tabel 4.22 Pengaruh Kalor Buang Kondensor terhadap Panjang Pipa Kondensor

Q Evap (kW)	Qkond R22 (kW)	Qkond R407C (kW)	L pipa R22 (m)	L pipa R407 (m)
20	24.38	24.55	1.64	2.42
25	30.47	30.68	2.04	3.02
30	36.57	36.82	2.45	3.63
35	42.66	42.96	2.86	4.23
40	48.76	49.10	3.27	4.83
45	54.85	55.23	3.68	5.44
50	60.95	61.37	4.09	6.04
55	67.04	67.51	4.50	6.65
57.5	70.09	70.58	4.70	6.95
60	73.14	73.64	4.91	7.25
65	79.23	79.78	5.32	7.86

Dari hasil perhitungan untuk beberapa variasi beban pendinginan evaporator dapat diketahui bahwa nilai dari laju aliran massa juga terpengaruh. sehingga semakin tinggi atau laju aliran massa semakin cepat untuk nilai beban pendinginan yang semakin tinggi juga mempengaruhi kalor buang kondensor. Pada masing-masing refrigeran R407C terlihat lebih besar peningkatannya dibanding R22 dalam peningkatan panjang pipa kondensor. Beda panjang pipa antara R22 dengan R407C semakin besar setiap peningkatan laju aliran massa . Hal ini dikarenakan pada beda properties antara R22 dengan R407 C. Untuk pada bahasan ini beban pendinginan evaporator yang digunakan adalah 56,79 kW dan panjang pipa kondesor cukup besar yaitu R22 4.63 m dan R407C . Hubungan antara variasi beban pendinginan evaporator terhadap laju aliran massa refrigeran dapat diamati pada Grafik 4.3



Grafik. 4.3 Pengaruh Kalor Buang Kondensor terhadap Panjang Pipa Kondensor

## **Bab V**

### **Penutup**

#### **5.1 Kesimpulan**

1. Dengan menggunakan ISO 7547 sebagai standart untuk pengkondiasian udara 27°C dengan RH 50 % maka didapatkan hasil perhitungan beban setiap deck sebagai berikut :

Deck	Jumlah Kebutuhan Udara (m <sup>3</sup> /h)	Kapasitas Pendinginan kW
Wheel House	975.08	15.71
Brige Deck	528.12	8.51
Boat Deck	558.17	9.08
Poop Deck	806.98	13.02
Main Deck	648.12	10.45

2. Untuk perancangan sistem pendinginan dengan Tevap 2°C dengan keluaran uap superheat 10 °K dan Tkond 50 °C dengan keluaran cair subcooling 5 °K dan menggunakan 2 refrigeran yang berbeda R22 dan R407C dengan beban pendinginan total sebesar 56.79 kW, maka di dapatkan Qkondensor, laju aliran massa, Qkompressor dan COP secara berurutan didapatkan R22 69.08 kW, 0.361 kg/s, 12.41 kW dan 4.57; untuk R407C didapatkan 69.73 kW, 0.357 kg/s, 12.81 kW dan 4.39
3. Secara perhitungan refrigeran R22 dan R407C memiliki pengaruh terhadap luas perpindahan panas pada kondensor. Namun pada Q evap 56.79 perbedaan antara luas permukaan perpindahan panas R22 dan R407C tidak jauh berbeda sehingga tidak perlu melakukan pergantian komponen kondensor.

#### **5.2 Saran**

1. Meskipun karakteristik operasi R-407C sangat mirip dengan R-22, komponen dalam sistem yang akan baru dibuat mungkin sedikit dimodifikasi untuk mendapatkan kinerja optimal. Komponen dalam sistem R-22 yang ada kemungkinan besar kompatibel dengan R-407C. Perlu berkonsultasi dengan enginner peralatan sebelum retrofit refrigeran.
2. Perlu diperhatikan bahwa pada penggunaan R407C memerlukan Poly ester POE sebagai pelumas. Sehingga perlu menghindari kontaminasi kedua refrigerean.

## **Daftar Pustaka**

Adityaksa P, 2010. Perencanaan Sistem Pengaturan Udara pada ruang Akomodasi Kapal Jenis Corvette Ukuran 90 Meter. Departemen Teknik Sistem Perkapalan, FTK ITS

George E. K dkk , Sistem Refrigerasi dan Saluran Udara. Program Studi D4 Teknik Permesinan Kapal, Politeknik Perkapalan Negri Surabaya

ISO 7547 2002. Air Conditioning And Ventilation Of Accommodation Spaces On Board Ships – Desaign Conditions And Basic Of Calculations. ISO, Swittzerland

Harrington RL.1992, ‘Marine Engineering Hand Book’, The Society of Naval Architect and Marine Engineers, New York,

Yusuf Yulizar , 2013 Perancangan Sistem Pengkondisionan Udara Hemat Energi Dengan Menggunakan Desiccant Untuk Ruang Muat Kapal Pengangkut Hewan Ternak . Departemen Teknik Sistem Perkapalan, FTK ITS

Khalkhal Branch , 2011. Performance Comparison of R407c and R22 in Off-Design Point Using Wilson-Plot Method. Jurnal of Scientific researcrh. Islamic Azad University

Marpol Annex VI 2005 Regulation for the Prevention of Air Pollution from Ships, Chapter 3-Requirements for controlof emissions from ships, regulation 12- Ozone-depleting substances. Marpol IMO

Shailendra Kaseraa 2016, Performance of R407C as an Alternate to R22: A Revie Department of Mechanical Engineering. Poornima College of Engineering. Jaipur. India

**Lampiran A**  
**Perhitungan Beban Transmisi**

*Halaman ini sengaja dikosongkan*

## Perhitungan Panas Transmisi

$$\Phi = \Delta T (\text{kvAv}) + (\text{kgAg}) \text{ (watt)}$$

Deck	Luasan		Koefisien		$\Delta T$	$\Phi t$
	Av (m)	Ag	kv	kv		
<b>Wheel house</b>						
- Atas	64.5		0.6		8	309.6
- Kanan	27.5	0.22	0.9	6.5	8	199.2
- Kiri	27.5	0.22	0.9	6.5	8	199.2
- Depan	22.5	14	0.9	6.5	8	253.0
- Belakang	21.1		0.9		8	152.3
- Funnel	15.6		0.8		18	224.6
Total						1337.8

Brige deck						
- Kanan	25.2	0.66	0.9	6.5	8	185.7
- Kiri	25.2	0.88	0.9	6.5	8	187.2
- Depan	31.5	1.76	0.9	6.5	8	238.2
- Belakang	31.5		0.9		8	226.8
- Gangway	94.8		2.5		2	474.0
- Funnel	19.2		0.8		18	276.5
Total	1588.4					

Deck	Luasan		Koefisien		$\Delta T$ (°C)	$\Phi t$ (w)
	Av (m <sup>2</sup> )	Ag (m <sup>2</sup> )	kv	kv		
Boat Deck						
- Kanan	30	0.88	0.9	6.5	8	221.7
- Kiri	30	1.1	0.9	6.5	8	223.2
- Depan	31.5	1.76	0.9	6.5	8	238.2
- Belakang	31.5		0.9		8	226.8
- Gangway	97.8		2.5		2	489.0
- Funnel	21.6		0.8		18	311.0
Total						1710.0

Deck	Luasan		Koefisien		$\Delta T$ (°C)	$\Phi t$ (w)
	Av (m <sup>2</sup> )	Ag (m <sup>2</sup> )	kv	kv		
Poop deck						
- Kanan	36	1.1	0.9	6.5	8	266.4
- Kiri	36	1.32	0.9	6.5	8	267.8
- Depan	31.5	0.88	0.9	6.5	8	232.5
- Belakang	31.5		0.9		8	226.8
- Gangway	72		2.5		2	360.0
- Funnel	30		0.8		18	432.0
Total						1785.5

Deck	Luasan		Koefisien		$\Delta T$ (°C)	$\Phi t$ (w)
	Av (m <sup>2</sup> )	Ag (m <sup>2</sup> )	kv	kv		
Main deck						
- Bawah	156		0.8		18	2246.4
- Kanan	36		0.9		8	259.2
- Kiri	36		0.9		8	259.2
- Depan	41.4	0.88	0.9	6.5	8	303.8
- Belakang	31.5		0.9		8	226.8
- Gangway	52.2		2.5		2	261.0
- Funnel	25.8		0.8		18	371.5
Total						3927.9



**Lampiran B**  
**Perhitungan Beban Panas Penghuni Ruangan**

*Halaman ini sengaja dikosongkan*

### Beban Panas Akibat Panas Penghuni Ruangan ( $\Phi_p$ )

Deck	Person	Jenis Panas		$\Phi_p$	
		Sensibel (w)	Latent (w)	Sensibel (w)	Latent (w)
Wheel House	5	85	150	425	750
Brige Deck					
- Captain	1	70	50	70	50
- Chief Officer	1	70	50	70	50
- Chief Enginner	1	70	50	70	50
- Mess Room	3	70	50	210	150
- Captain Office room	1	85	150	85	150
- Chief Office Room	1	85	150	85	150
- Meeting Room	3	70	50	210	150
- Pantry	1	85	150	85	150

Deck	Person	Jenis Panas		$\Phi_p$	
		Sensibel (w)	Latent (w)	Sensibel (w)	Latent (w)
Boat Deck					
- Quater Master I	1	70	50	70	50
- Quater Master II	1	70	50	70	50
- Quater Master III	1	70	50	70	50
- 2 nd Enginner	1	70	50	70	50
- 3 tr Enginner	1	70	50	70	50
- 2 nd & 3 tr Officer	2	70	50	140	100
- Pantry	1	85	150	85	150
- Mess Room	6	70	50	420	300

Deck	Person	Jenis Panas		$\Phi_p$	
		Sensibel (w)	Latent (w)	Sensibel (w)	Latent (w)
Poop Deck					
- Foreman	1	70	50	70	50
- Oiler	1	70	50	70	50
- Serang	1	70	50	70	50
- Sea Man	1	70	50	70	50
- Radio OP	1	70	50	70	50
- Laundry	2	85	150	170	300
- Masjid	21	70	50	1470	1050
- Meeting Room	10	70	50	700	500

Deck	Person	Jenis Panas		$\Phi_p$	
		Sensibel (w)	Latent (w)	Sensibel (w)	Latent (w)
Main Deck					
- Chef cook & asst	2	70	50	140	100
- I & II Oiler	2	70	50	140	100
- Mess Room	6	70	50	420	300
- Galley	2	85	150	170	300
Total masing-masing jenis panas				5865	5350
Total beban				11215	

**Lampiran C**  
**Perhitungan Beban Panas akibat Panas radiasi sinar matahari ( $\Phi_s$ )**

*Halaman ini sengaja dikosongkan*

**Beban Panas akibat Panas radiasi sinar matahari ( $\Phi_s$ )**

$$\Phi_s = \Sigma A_v K \Delta T_r + \Sigma A_g G_s$$

Deck	Av (m <sup>2</sup> )	Ag (m <sup>2</sup> )	Gs	$\Delta Tr$ (°C)	K	$\Phi_s$ (w)
Wheel House						
- Atas	64.5			12	0.6	464.4
- Kanan	27.5	0.22	350	16	0.6	340.6
- Kiri	27.5	0.22	350	16	0.6	340.6
- Depan	22.5	14	350	16	0.6	5116.0
- Belakang	21.1			16	0.6	203.0
Brige Deck						
- Atas	23.7			12	0.6	170.7
- Kanan	25.2	0.66	350	16	0.6	472.9
- Kiri	25.2	0.88	350	16	0.6	549.9
- Depan	31.5	1.76	350	16	0.6	918.4
- Belakang	31.5			16	0.6	302.4
Boat Deck						
- Atas	16.8			12	0.6	121.0
- Kanan	30	0.88	350	16	0.6	596.0
- Kiri	30	1.1	350	16	0.6	673.0
- Depan	31.5	1.76	350	16	0.6	918.4
- Belakang	31.5			16	0.6	302.4
Poop Deck						
- Atas	21			12	0.6	151.2
- Kanan	36	1.1	350	16	0.6	730.6
- Kiri	36	1.32	350	16	0.6	807.6
- Depan	31.5	0.88	350	16	0.6	610.4
- Belakang	31.5			16	0.6	302.4
Main Deck						
- Atas	30			12	0.6	216.0
- Kanan	36			16	0.6	345.6
- Kiri	36			16	0.6	345.6
- Depan	41.4	0.88	350	16	0.6	705.4
- Belakang	-					
				Total		15704.6



**Lampiran D**  
**Perhitungan Beban panas dari penggunaan lampu penerangan ( $\Phi_l$ )**

*Halaman ini sengaja dikosongkan*

**Beban panas dari penggunaan lampu penerangan ( $\Phi l$ )**

Deck	Luas (m <sup>2</sup> )	lc	$\Phi l$ (w)
Wheel House	64.5	8	516
Brige Deck			0
- Captain	9.1	8	72.8
- Chief Officer	5.3	8	42.4
- Chief Enginner	9	8	72
- Mess Room	9.1	10	91
- Captain Office room	5.3	10	53
- Chief Office Room	5.3	10	53
- Meeting Room	6.8	10	68
- Gangway	18.8	10	188
- Pantry	6.8	10	68
Boat Deck			0
- Quater Master I	9	8	72
- Quater Master II	7.2	8	57.6
- Quater Master III	7.2	8	57.6
- 2 nd Enginner	7.1	8	56.8
- 3 tr Enginner	7.1	8	56.8
- 2 nd & 3 tr Officer	9	8	72
- Pantry	5.3	10	53
- Gangway	24	10	240
- Mess Room	8.4	10	84
Poop Deck			0
- Foreman	7.3	8	58.4
- Oiler	6.4	8	51.2
- Serang	7.3	8	58.4
- Sea Man	6.9	8	55.2
- Radio OP	6.9	8	55.2
- Laundry	6.2	8	49.6
- Masjid	8.9	8	71.2
- Gangway	26	10	260
- Meeting Room	8.9	10	89

Deck	Luas (m2)	lc	$\phi l$ (w)
Main Deck			0
- Chef cook & asst	12.6	8	100.8
- I & II Oiler	13.2	8	105.6
- Mess Room	11.4	10	114
- Galley	7.6	10	76
- Electrical Store	8	10	80
- Machinery strore	6.5	10	65
- Gangway	22	10	220
Total			3483.6

**Lampiran E**  
**Properties R22 dan R407C**

*Halaman ini sengaja dikosongkan*



# R-22

## R-22

**Composition:** 100% chlorodifluoromethane ( $\text{CHClF}_2$ )

**Applications:**

Medium and low temperature commercial and industrial refrigeration; residential and commercial air conditioning

**Performance:** Industry standard choice for AC until 2010

**Lubricant:**

Compatible with mineral oil, alkylbenzene and polyolester

**Retrofitting:**

- Consult the comments on Pages 9 and 10  
See Section II, pages 92-98 for detailed discussion

**[PHYSICAL PROPERTIES OF REFRIGERANTS]**

	National R-22
Environmental Classification	HCFC
Molecular Weight	86.5
Boiling Point (1 atm, °F)	-41.5
Critical Pressure (psia)	723.7
Critical Temperature (°F)	205.1
Critical Density (lb/ft <sup>3</sup> )	32.7
Liquid Density (70°F, lb/ft <sup>3</sup> )	75.3
Vap of Density (bp/lb/ft <sup>3</sup> )	0.294
Heat of Vaporization (bp, BTU/lb.)	100.5
Specific Heat Liquid (70°F, BTU/lb. °F)	0.2967
Specific Heat Vapor (1 atm, 70°F, BTU/lb. °F)	0.1573
Ozone Depletion Potential (CFC 11 = 1.0)	0.05
Global Warming Potential (CO <sub>2</sub> = 1.0)	1810
ASHRAE Standard 34 Safety Rating	A1

**[PRESSURE-TEMP CHART]**

TEMP. (°F)	R-22 psig
-40	0.5
-35	2.6
-30	4.9
-25	7.4
-20	10.1
-15	13.2
-10	16.5
-5	20.1
0	24.0
5	28.2
10	32.8
15	37.7
20	43.0
25	48.8
30	54.9
35	61.5
40	68.5
45	76.0
50	84.0
55	92.6
60	102
65	111
70	121
75	132
80	144
85	156
90	168
95	182
100	196
105	211
110	226
115	243
120	260
125	278
130	297
135	317
140	337
145	359
150	382

**[AVAILABLE IN SIZES]**

REFRIGERANT	Type	Size
R-22	Cylinder	30 lb.
		50 lb.
		125 lb.
		1000 lb.
		1750 lb.



# R-407C

## R-407C

**Composition:** (R-32 / 125 / 134a) • (23 / 25 / 52 wt%)

**Replaces:** R-22

**Application:**

Medium temperature commercial and industrial refrigeration and residential and commercial air conditioning

**Performance:**

- Lower discharge temperature
- Closest capacity match to R-22
- Similar P/T and flow properties = no component changes

**Lubricant:**

Polyolester lubricant

**Retrofitting:**

- Consult the comments on Pages 9 and 10
- See Section II, pages 92-98 for detailed discussion

[ PHYSICAL PROPERTIES OF REFRIGERANTS ]

National R-407C	
Environmental Classification	HFC
Molecular Weight	86.2
Boiling Point (1 atm, °F)	-43.6
Critical Pressure (psia)	672.1
Critical Temperature (°F)	187
Critical Density (lb/lb'3)	32
Liquid Density (70°F, lb./lb'3)	72.4
Vapor Density (bp.lb./lb')	0.289
Heat of Vaporization (bp, BTU/lb.)	106.7
Specific Heat Liquid (70°F, BTU/lb. °F)	0.3597
Specific Heat Vapor (1 atm, 70 °F, BTU/lb. °F)	0.1987
Ozone Depletion Potential (OFC 11 = 1.0)	0
Global Warming Potential (CO <sub>2</sub> = 1.0)	1770
ASHRAE Standard 34 Safety Rating	A1
Temperature Glide (°F) (see section 2)	10

[ PRESSURE-TEMP CHART ]

R407C		
TEMP. (°F)	Liquid (psig)	Vapor (psig)
-40	3.0	4.4*
-35	5.4	6.6*
-30	8.0	1.8
-25	10.9	4.1
-20	14.1	6.6
-15	17.6	9.4
-10	21.3	12.5
-5	25.4	15.9
0	29.9	19.6
5	34.7	23.6
10	39.9	28.0
15	45.6	32.8
20	51.6	38.0
25	58.2	43.6
30	65.2	49.6
35	72.6	56.1
40	80.7	63.1
45	89.2	70.6
50	98.3	78.7
55	108	87.3
60	118	96.8
65	129	106
70	141	117
75	153	128
80	166	140
85	180	153
90	195	166
95	210	181
100	226	196
105	243	211
110	261	229
115	280	247
120	300	266
125	321	285
130	342	307
135	365	329
140	389	353

[ AVAILABLE IN SIZES ]

REFRIGERANT	Type	Size
R-407C	Cylinder	25 lb.
		115 lb.
		925 lb.
		1,550 lb.

1

2

3

4

A

A

B

B

C

C

D

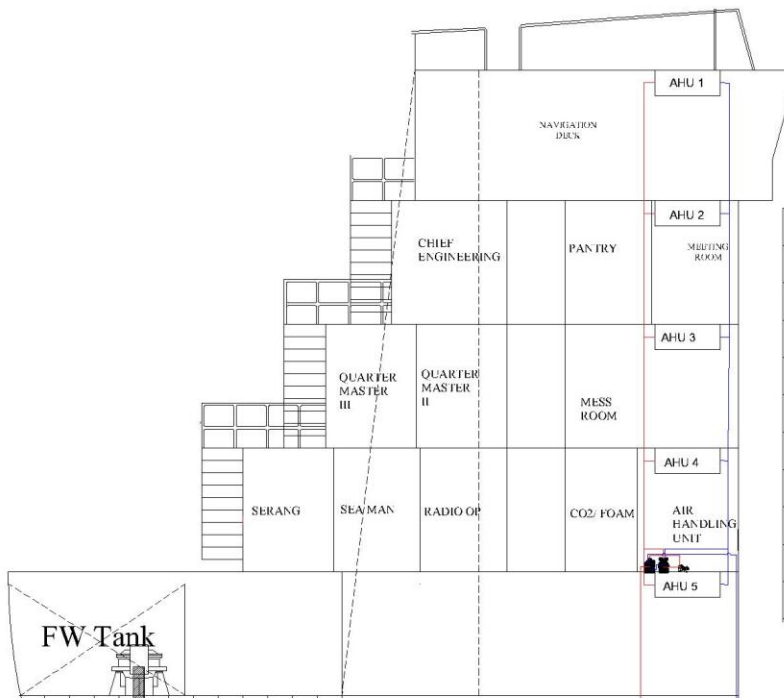
D

E

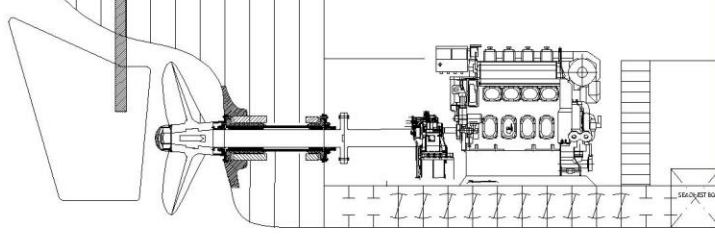
E

F

F



EQUIPMENT	SPECIFICATION
AHU 1	Flow rate 3000 m³/h Capacity: 17.11 kW
AHU 2	Flow rate 2000 m³/h Capacity: 11.03 kW
AHU 3	Flow rate 2000 m³/h Capacity: 11.03 kW
AHU 4	Flow rate 2500 m³/h Capacity: 14.11 kW
AHU 5	Flow rate 2000 m³/h Capacity: 11.03 kW
Kompressor	Capacity 66.03 kW R22 - 61.4 kW R407C Motor Input 21.7 kW R22 - 20.8 kW R407C
Evaporator	Capacity 67 kW R22 - 65 kW R407C
Kondensor	Capacity 71.12 kW R22 - 62.7 kW R407C
Pompa air AHU	Capacity 9.75 m³/h
Pompa Air Kondensor	Capacity 11 m³/h R22 - 13.2 m³/h R407C



Principal Dimension	
Lpp	76.5 m
Lwl	78.795 m
B	16.4 m
H	8.6 m
T	6.6 m
Cb	0.675
Vs	12 knot
Type	Product Oil Carrier

 Institut Teknologi Sepuluh Nopember ODD SEMESTER 2017-2018	DEPT. OF MARINE ENGINEERING - FTK - ITS			
	DESIGN IV : MACHINERY AND ELECTRICAL SYSTEM			
<b>MT. SIDO JAYA</b>				
4406 DWT - Tanker				
CLASS : LR ■ A100 □ DP ■ SM		Signed :		
Drawn by: Ahmad Darori Hasan 4213 100 062		Signed :		
Approved by : Ir. Tony Bimbing Muslyadi, PGD, MM		Signed :		
Date	Scaling	Drawing no :		
		REV :		

Water Chilled System

1

2

3

4

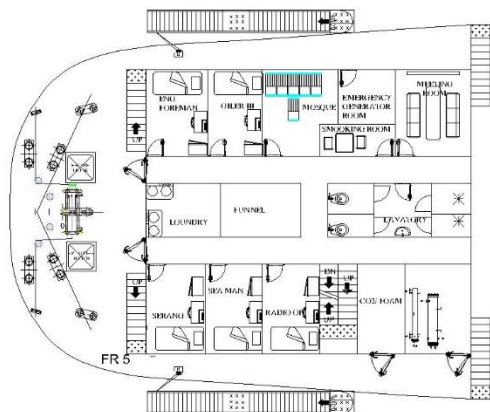
1

2

3

4

A



B

A

B

C

C

D

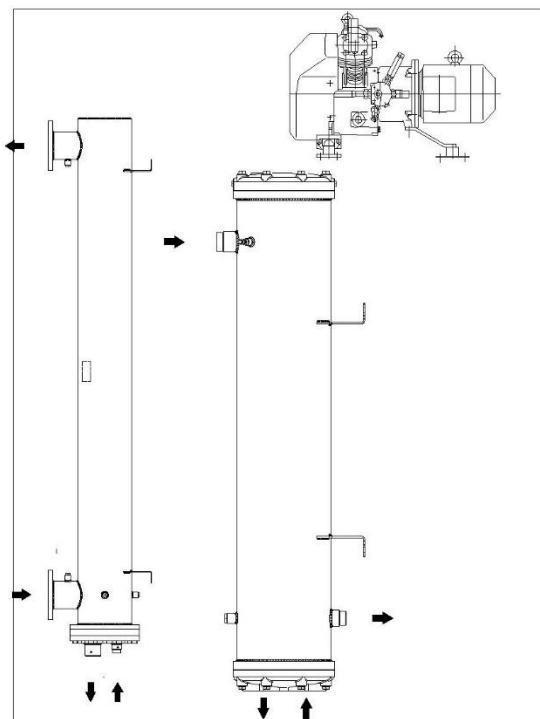
D

E

E

F

F

**Top View**

Principal Dimension	
Lpp	76.5 m
Lwl	78.795 m
B	16.4 m
H	8.6 m
T	6.6 m
Cb	0.675
Vs	12 knot
Type	Product Oil Carrier

DEPT. OF MARINE ENGINEERING - FTK - ITS  
 Institut  
 Teknologi  
 Sepuluh Nopember  
 DESAIN IV : MACHINERY AND ELECTRICAL SYSTEM  
 ODD SEMESTER 2017-2018

**MT.SIDO JAYA**

4406 DWT - Tanker

CLASS : LR  A100  OP  SM

Chiller Room	Drawn by: Ahmad Darori Hasan 4213 100 062	Signed:
	Approved by: Dr. Tomy Bambang Murniyadi, PGD, MM	Signed:
Date	Scaling:	Drawing no.: REV:

1

2

3

4

**4. Technical Data****4.1 Ultra-Slim, Horizontal, Fresh Air Type Package AHU**

Model		G-1.5WD/B	G-2WD/B	G-2.5WD/B	G-3WD/B
Item					
Code		EM509000110	EM509000070 EM509000071 EM509000072	EM509000100	EM509000090 EM509000091 EM509000092
Nominal Air Flow Rate	m³/h	1500	2000	2500	3000
Cooling Capacity	kW	8.4	11.03	14.1	17.11
Heating Capacity	kW	13.7	17.98	22.27	27.8
Water Flow Rate	L/s	0.41	0.53	0.67	0.86
Resistance to Water Flow	kPa	5	7	8	11
ESP Range (Ref.)	Pa	40-300	40-300	50-350	50-350
ESP Range 1 and Motor Power	Pa	40-300	40-300	50-210	50-140
Motor Power	kW	0.55	0.55	0.55	0.55
ESP Range 2 and Motor Power	Pa	-	-	210-350	140-230
Motor Power	kW	-	-	0.75	0.75
ESP Range 3 and Motor Power	Pa	-	-	-	230-350
Motor Power	kW	-	-	-	1.1
Net Weight	kg	105	125	125	160
Gross Weight	kg	130	160	160	195
Unit Dimensions (WxDxH)	cm	110X102X44	140X112X48	140X112X48	168X112X48
Package Dimensions(WxDxH)	cm	128X113X59.5	158X123X81.5	158X123X81.5	178X123X81.5
Stacks		2	2	2	2
Cooling Capacity	kW	12.03	13.50	18.42	21.53
Heating Capacity	kW	17.28	19.58	27.2	30.13
Water Flow Rate	L/s	0.57	0.65	0.88	1.03
Resistance to Water Flow	kPa	7	9	11	13
ESP Range (Ref.)	Pa	40-300	40-300	50-350	50-350
ESP Range 1 and Motor Power	Pa	40-300	40-300	50-210	50-140
Motor Power	kW	0.55	0.55	0.55	0.55
ESP Range 2 and Motor Power	Pa	-	-	210-350	140-230
Motor Power	kW	-	-	0.75	0.75
ESP Range 3 and Motor Power	Pa	-	-	-	230-350
Motor Power	kW	-	-	-	1.1
Net Weight	kg	140	160	160	180
Gross Weight	kg	165	200	200	210
Unit Dimensions (WxDxH)	cm	110X102X44	140X112X48	140X112X48	168X112X48
Package Dimensions(WxDxH)	cm	128X113X59.5	158X123X81.5	158X123X81.5	178X123X81.5
Stacks		2	2	2	2
Power Cord (Ref.)	mm²×Qty		1.0×3		
Power Supply			380V, 3-Phase, 50Hz		
Electric Insulation Level			I		
Noise at Min ESP	dB(A)	≤53	≤55	≤56	≤58
Coil	Structure		Copper Tube-Fin		
	Operating Pressure		≤1.6Mpa		
Fan	Type		Forward-Curved, Low Noise, Centrifugal		
	Drive		Belt Drive		
	Qty		1		
Motor	Type		Insulation Class F, 3-phase Asynchronous		
Pipeline	Water Inlet Pipe		DN40		
	Water Outlet Pipe		DN40		
	Drain Pipe		DN 25		

- 1) The design of this product complies with JB/T9066-1999.
- 2) Parameters listed above are measured under the conditions as stated below:
- 3) Nominal Cooling Condition: DB/WB: 27/19.5°C, Entering/Leaving Water Temperature: 7/12°C
- 4) Nominal Heating Condition: DB: 21°C, Entering Water Temperature: 60°C
- 5) The operating weight of this product is 1.2 times of that listed in the table above (not incl. the weight of the circulating water).
- 6) Parameters and appearance of this product is subject to change without notice owing to design improvement. Please always see the nameplate for the exact parameters.

## 5. Product Performance Correction

### 5.1 Return Air Type

Cooling Capacity Correction

Inlet Water Temp °C	5 °C	6 °C	7 °C	8 °C	9 °C	10 °C
Return Air °C						
DB 24°C, WB 17°C	0.88	0.78	0.74	0.71	0.615	0.44
DB 25°C, WB 18°C	1.01	0.905	0.835	0.784	0.738	0.512
DB 27°C, WB 19.5°C	1.214	1.112	1.00	0.894	0.788	0.685
DB 28°C, WB 21°C	1.425	1.323	1.214	1.102	0.982	0.878
DB 29°C, WB 22°C	1.582	1.478	1.38	1.243	1.135	1.012
DB 30°C, WB 23°C	1.742	1.633	1.514	1.40	1.284	1.165

Heating Capacity Correction

Inlet Water Temp °C	65 °C	60 °C	55 °C	50 °C	45 °C	40 °C
Return Air °C						
13°C	1.507	1.34	1.208	1.04	0.885	0.73
15°C	1.378	1.20	1.089	0.91	0.75	0.61
17°C	1.384	1.19	1.08	0.89	0.73	0.60
19°C	1.25	1.08	0.98	0.825	0.682	0.50
21°C	1.18	1.00	0.873	0.75	0.61	0.43
23°C	1.09	0.97	0.80	0.68	0.54	0.37

### 5.2 Fresh Air Type

Cooling Capacity Correction

Inlet Water Temp °C	5 °C	6 °C	7 °C	8 °C	9 °C	10 °C
Fresh Air °C						
DB 31°C, WB 25°C	0.862	0.811	0.783	0.712	0.684	0.611
DB 32°C, WB 26°C	0.942	0.891	0.842	0.793	0.744	0.692
DB 33°C, WB 27°C	1.022	0.971	0.922	0.871	0.813	0.764
DB 35°C, WB 28°C	1.101	1.052	1.00	0.952	0.903	0.842
DB 38°C, WB 29°C	1.198	1.141	1.091	1.033	0.982	0.934
DB 37°C, WB 30°C	1.282	1.234	1.182	1.123	1.071	1.012

Heating Capacity Correction

Inlet Water Temp °C	65 °C	60 °C	55 °C	50 °C	45 °C	40 °C
Fresh Air °C						
10°C	1.081	0.972	0.883	0.771	0.672	0.571
7°C	1.102	1.00	0.912	0.813	0.712	0.611
4°C	1.143	1.041	0.962	0.861	0.753	0.652
1°C	1.212	1.111	1.022	0.921	0.823	0.724
-2°C	1.292	1.183	1.091	0.994	0.892	0.791
-5°C	1.354	1.256	1.164	1.063	0.961	0.863

# TECHNICAL DATA

## DATI TECNICI

4

Series SP

MODEL SP		H (FULL SIZE MOTOR)					
		SP2H+			SP4HF / SP4HN		
		0800	0800	0800	0900	1000	1200
Nominal motor power Potenza nominale motore	Hp/kW	0,80	0,80	0,80	0,90	1,00	1,20
Displacement at 50/60 Hz Volume Spazzato a 50/60 Hz	m³/hr	0,80 E	0,80 E	0,80 E	0,90 E	1,00 E	1,20 E
N° of cylinders / N° di cilindri		8 / 3,7	8 / 4,4	8 / 5,9	9 / 6,6	10 / 7,5	12 / 8,9
Weight / Peso	Kg	17,5 / 21	21 / 25,7	24,5 / 29,4	28 / 33,6	35 / 42	42 / 50,4
Oil change / Cambio olio	dm³	2	2	2	2	4	4
Crankcase heater Risciacquo carter		88	87	87	91	143	146
Discharge line, Internal Ø Raccordo mandata, Ø interno	mm/inches	1,8	1,8	1,8	1,8	2,6	2,6
Suction line, Internal Ø Raccordo aspirazione, Ø interno	mm/inches	28 / 1"1/8	28 / 1"1/8	28 / 1"1/8	28 / 1"1/8	28 / 1"1/8	28 / 1"1/8
Capacity control steps Modulazione capacità		-	-	-	-	100,50%	100,50%
Standard motor (part winding) Motore standard (part winding)		230 V △ - 400 Y			400 V / 3/50 Hz 480 V / 3/60 Hz IPW		
Starting current PW/DOL LRA Corrente di spunto PW/DOL LRA	A	- / 54	- / 60	- / 65	- / 77	71 / 110	75 / 125
Starting current Y/D LRA Corrente di spunto Y/D LRA	A	54 / --	60 / --	65 / --	97 / --	--	--
Max running current PLA Massima corrente di funzionamento PLA	A	12	14	16	20	24	27
L (SMALL SIZE MOTOR)							
MODEL SP		SP2L+			SP4LF / SP4LN		
		0800	0800	0800	0800	0800	0800
		080E	080E	080E	080E	080E	080E
Nominal motor power Potenza nominale motore	Hp/kW	0,72	4 / 3	5 / 3,7	6 / 4,4	6 / 4,5	8 / 5,9
Displacement at 50/60 Hz Volume Spazzato a 50/60 Hz	m³/hr	17,5 / 21	21 / 25,7	24,5 / 29,4	28 / 33,6	35 / 42	42 / 50,4
N° of cylinders / N° di cilindri		2	2	2	2	4	4
Weight / Peso	Kg	84	85	85	88	134	139
Oil change / Cambio olio	dm³	1,8	1,8	1,8	1,8	2,6	2,6
Crankcase heater Risciacquo carter		230 V -120 W -PTC 50/60 Hz			230 V -220 W 50/60 Hz		
Discharge line, Internal Ø Raccordo mandata, Ø interno	mm/inches	18 / 5/8"	18 / 5/8"	22 / 7/8"	22 / 7/8"	22 / 7/8"	28 / 1"1/8
Suction line, Internal Ø Raccordo aspirazione, Ø interno	mm/inches	28 / 1"1/8	28 / 1"1/8	28 / 1"1/8	28 / 1"1/8	28 / 1"1/8	28 / 1"1/8
Capacity control steps Modulazione capacità		-	-	-	-	100,50%	100,50%
Standard motor (part winding) Motore standard (part winding)		230 V △ - 400 Y			400 V / 3/50 Hz 480 V / 3/60 Hz IPW		
Starting current PW/DOL LRA Corrente di spunto PW/DOL LRA	A	- / 38	- / 40	- / 54	- / 80	43 / 70	54 / 88
Starting current Y/D LRA Corrente di spunto Y/D LRA	A	35 / --	40 / --	54 / --	80 / --	--	--
Max running current PLA Massima corrente di funzionamento PLA	A	9	10	12	14	16	18

# TECHNICAL DATA

## DATI TECNICI

H (FULL SIZE MOTOR)											
SP4HF / SP4HN		SP4H				SP4H				SP4H	
1500	2000	2200	2500	3000	3500	3700	4000	5000	6000	7000	
150E	200E	220E	250E	300E	350E	370E	400E	500E	600E	700E	
15 / 11,2	20 / 14,9	22 / 16,4	25 / 18,7	30 / 22,4	35 / 26,3	37 / 27,8	40 / 29,9	50 / 37,3	60 / 46	70 / 52	
49 / 58,8	56 / 67,2	64,7 / 77,6	75 / 90	86,1 / 103,3	102,9 / 123,5	112,5 / 135	129,1 / 154,9	184,4 / 185,3	188 / 234	222 / 268	
4	4	4	4	4	4	6	6	6	8	8	
152	155	158	165	208	238	241	248	250	345	350	
2,8	2,8	3,7	3,7	3,7	4,2	4,2	4,2	4,2	5	5	
230 V-220W 50/60 Hz											230 V-200W 50/60 Hz
28 / 1°1/8	28 / 1°1/8	28 - 1 1/8"	28 - 1 1/8"	28 - 1 1/8"	28 - 1 3/8"	28 - 1 3/8"	28 - 1 3/8"	42 - 1 5/8"	54 / 2°1/8	54 / 2°1/8	
42 / 1°5/8	42 / 1°5/8	42 - 1 5/8"	54 - 2 1/8"	54 - 2 1/8"	54 - 2 1/8"	54 - 2 1/8"	54 - 2 1/8"	54 - 2 1/8"	67 / 2°5/8	67 / 2°5/8	
100,50%	100,50%	100,50%	100,50%	100,50%	100,50%	100,66,33%	100,66,33%	100,66,33%	100,75,50%	100,75,50%	
400 V/3/50 Hz											400 V/3/50 Hz
480 V/3/60 Hz IP PW											480 V/3/60 Hz IP W
88 / 144	108 / 188	102 / 170	123 / 201	150 / 243	178 / 290	179 / 290	201 / 330	233 / 394	271 / 381	329 / 439	
--	--	--	--	--	--	--	--	--	--	--	
35	40	37	40	52	58	60	75	90	115	140	
L (SMALL SIZE MOTOR)											
SP4LF / SP4LN		SP4L				SP4L				SP4L	
1000	1200	1500	1800	2200	2500	2700	3000	4000	5000	6000	
100E	120E	150E	180E	220E	250E	270E	300E	400E	500E	600E	
10 / 7,5	12 / 8,9	15 / 11,2	18 / 13,3	22 / 16,4	25 / 18,7	27 / 20,2	30 / 22,4	40 / 29,9	50 / 37	60 / 46	
49 / 58,8	56 / 67,2	64,7 / 77,6	75 / 90	86,1 / 103,3	102,9 / 123,5	112,5 / 135	129,1 / 154,9	184,4 / 185,3	188 / 234	222 / 268	
4	4	4	4	4	4	6	6	6	8	8	
144	148	162	188	195	220	230	238	247	340	345	
2,8	2,8	3,7	3,7	3,7	3,7	4,2	4,2	4,2	5	5	
230 V-220W 50/60 Hz											230 V-200W 50/60 Hz
28 1°1/8	28 1°1/8	28 - 1 1/8"	28 - 1 1/8"	28 - 1 1/8"	28 - 1 3/8"	28 - 1 3/8"	28 - 1 3/8"	42 - 1 5/8"	54 / 2°1/8	54 / 2°1/8	
35 1°3/8	35 1°3/8	42 - 1 5/8"	42 - 1 5/8"	54 - 2 1/8"	54 - 2 1/8"	54 - 2 1/8"	54 - 2 1/8"	54 - 2 1/8"	67 / 2°5/8	67 / 2°5/8	
100,50%	100,50%	100,50%	100,50%	100,50%	100,50%	100,66,33%	100,66,33%	100,66,33%	100,75,50%	100,75,50%	
400 V/3/50 Hz											400 V/3/50 Hz
480 V/3/60 Hz IP W											480 V/3/60 Hz IP W
71 / 110	75 / 125	88 / 148	102 / 170	102 / 170	123 / 201	123 / 201	150 / 243	201 / 330	237 / 316	271 / 381	
--	--	--	--	--	--	--	--	--	--	--	
24	27	29	33	33	43	43	54	75	97	115	

# PERFORMANCES

## PRESTAZIONI

Refrigerant R404A

MODEL	Tev = -25 °C Tcond = 40 °C			Tev = 0 °C Tcond = 40 °C			
	Qx kW	Pa kW	COP	Qx kW	Pa kW	COP	
SP4L020E	2,7	2	1,35	16,5	4,8	3,44	
SP4L040E	3,2	2,3	1,38	19,8	5,8	3,41	
SP4L050E	3,8	2,7	1,41	23,1	6,7	3,48	
SP4L060E	4,3	3,1	1,38	26,4	7,7	3,43	
SP4LN17060E	5,4	4,1	1,32	29,8	8,6	3,47	
SP4LN17080E	6,5	4,9	1,33	33,7	10,3	3,47	
SP4LN17100E	7,5	5,8	1,29	41,7	12	3,43	
SP4LN17120E	8,6	6,6	1,23	SP4HNAT200E	47,7	13,7	3,48
SP4L150E	10	7,6	1,32	SP4HB200E	54,8	15,8	3,51
SP4L160E	11,6	8,8	1,32	SP4HB250E	63,5	18,1	3,51
SP4L220E	15,9	10,1	1,32	SP4HB300E	72,9	20,8	3,5
SP4L250E	15,9	12,2	1,3	SP4HB350E	87,1	24,8	3,51
SP4L270E	17,3	13,3	1,3	SP4H370E	95,3	27,2	3,5
SP4L300E	19,8	15,2	1,31	SP4HN400E	104,6	31,2	3,51
SP4L400E	23,2	18,3	1,31	SP4HN500E	130,9	37,3	3,51
SP4L500E	26,6	21,5	1,29	SP4HN600E	152,3	45,9	3,25
SP4L600E	31,0	25,8	1,29	SP4HN700E	181,0	56	3,25

Refrigerant R134a

MODEL	Tev = 2 °C Tcond = 40 °C			Tev = 2 °C Tcond = 50 °C			MODEL	Tev = -5 °C Tcond = 75 °C		
	Qx kW	Pa kW	COP	Qx kW	Pa kW	COP		Qx kW	Pa kW	COP
SP4L020E	8,9	2,6	3,31	8,7	2,9	3	SP4H020E	3,8	2,9	1,31
SP4L040E	11,9	3,1	3,64	10,4	3,4	3,06	SP4H030E	4,5	3,4	1,32
SP4L050E	13,9	3,6	3,66	12,2	4	3,05	SP4H040E	5,3	4	1,33
SP4L060E	15,9	4,1	3,68	13,9	4,5	3,09	SP4HN100E	6	4,6	1,3
SP4LN17060E	19,9	4,9	4,06	17,4	5,4	3,22	SP4HN120E	7,5	5	1,3
SP4LN17080E	21,8	5,8	4,12	20,9	6,4	3,27	SP4HN120E	9,1	6	1,32
SP4LN17100E	27,8	6,8	4,09	24,4	7,5	3,23	SP4HN150E	10,6	7	1,31
SP4LN17120E	31,8	7,8	4,08	27,8	8,6	3,23	SP4HN200E	12,1	8	1,31
SP4L150E	36,8	9	4,09	32,2	9,9	3,25	SP4H220E	15	9,4	1,6
SP4L160E	42,6	10,4	4,1	37,3	11,5	3,24	SP4H250E	17,4	10,2	1,6
SP4L220E	48,9	12	4,08	42,8	13,2	3,24	SP4H300E	19,9	12,5	1,59
SP4L250E	58,8	14,4	4,08	51,5	15,8	3,26	SP4H350E	21,8	14,2	1,6
SP4L270E	64	15,7	4,08	56	17,2	3,26	SP4H370E	26,1	16,4	1,59
SP4L300E	73,5	18	4,08	64,3	19,8	3,25	SP4H400E	30	18,8	1,6
SP4L400E	88,2	21,5	4,08	77,2	23,7	3,26	SP4H500E	35,8	23,5	1,59
SP4L500E	100,4	26	3,86	80,1	28,8	3,06	SP4H600E	37,8	30,3	1,25
SP4L600E	119,9	31	3,87	105,1	34,3	3,06	SP4H700E	45,1	36,2	1,25

Refrigerant R407C

MODEL	Tev = -7 °C Tcond = 40 °C			Tev = 2 °C Tcond = 40 °C			Tev = 2 °C Tcond = 50 °C			
	Qx kW	Pa kW	COP	Qx kW	Pa kW	COP	Qx kW	Pa kW	COP	
SP4L020E	9,2	3,1	2,97	SP4H020E	14,6	3,7	3,95	12,5	4,2	2,98
SP4L040E	11,1	3,7	3	SP4H030E	17,5	4,4	3,98	15	5	3
SP4L050E	12,9	4,3	3	SP4H040E	20,4	5,1	4	17,5	5,8	3,02
SP4L060E	14,8	4,9	3,02	SP4H050E	23,3	5,8	4,02	20	6,6	3,03
SP4LN17060E	16,5	5,6	2,8	SP4HN100E	29,1	7,3	3,98	25	8,2	3,04
SP4LN17080E	22,2	8	2,78	SP4HN120E	35	8,7	4,02	29,2	9,8	3,05
SP4LN17100E	25,8	9,3	2,78	SP4HN150E	40,8	10,2	4	34,8	11,5	3,03
SP4LN17120E	29,6	10,6	2,78	SP4HN200E	46,6	11,7	3,98	39,2	13,1	3,05
SP4L150E	34,2	12,3	2,78	SP4H220E	53,9	13,2	4,08	46,1	15,8	2,96
SP4L160E	35,6	14,2	2,78	SP4H250E	62,5	15,3	4,08	52,5	18,1	2,96
SP4L220E	45,4	16,3	2,78	SP4H300E	71,7	17,8	4,07	61,4	20,8	2,95
SP4L250E	54,7	19,6	2,78	SP4H350E	85,7	21	4,08	73,4	24,9	2,95
SP4L270E	59,5	21,3	2,78	SP4H370E	93,7	23	4,07	80,3	27,2	2,95
SP4L300E	68,3	24,5	2,78	SP4H400E	107,7	26,4	4,08	92,3	31,3	2,95
SP4L400E	82	28,4	2,78	SP4H500E	128,8	31,6	4,08	110,3	37,4	2,95
SP4L500E	101,8	34,2	2,98	SP4H600E	152,2	38,3	3,97	132,5	43,3	3,06
SP4L600E	121,5	40,9	2,97	SP4H700E	181,7	45,8	3,97	153,1	51,7	3,06

# PERFORMANCES

## PRESTAZIONI

## Refrigerant R22

MODEL	Tev = -25 °C Tcond = 40 °C			MODEL	Tev = 2 °C Tcond = 40 °C			MODEL	Tev = 2 °C Tcond = 50 °C		
	Qe kW	Pe kW	COP		Qe kW	Pe kW	COP		Qe kW	Pe kW	COP
SP2L0300	5,9	2,9	2,09	SP2H0500	15,6	4,9	3,13	SP2H0800	18,7	5,1	3,67
SP2L0400	7,1	3,4	2,10	SP2H0800	21,8	5,9	3,69	SP2H1000	21,8	6,7	3,25
SP2L0500	8,3	4	2,08	SP2H1000	24,9	6,7	3,72	SP2H1200	21,9	7,6	3,28
SP2L0600	9,5	4,5	2,11	SP4HN/T0500	31,1	7,4	4,2	SP4HN/T1000	37,3	8,8	4,24
SP4LN/T0500	11,9	5,3	2,25	SP4HN/T1200	43,8	10,3	4,23	SP4HN/T1500	49,8	11,8	4,22
SP4LN/T0600	14,3	6,4	2,23	SP4HN/T1800	55,8	14,1	3,98	SP4HN/T2000	55,8	14,1	3,98
SP4LN/T1000	16,8	7,4	2,24	SP4H0200	64,7	16,3	3,97	SP4H0300	74,2	18,7	3,63
SP4LN/T1200	19	8,5	2,24	SP4H0300	88,7	22,4	3,98	SP4H0500	97,1	24,5	3,98
SP4L1500	19,8	8,8	2,02	SP4H0500	111,8	28,2	3,98	SP4H0800	133,4	39,7	3,98
SP4L1800	23	11,3	2,04	SP4H0800	136,1	40,1	3,98	SP4H1000	146,3	47,8	3,97
SP4L2200	26,3	13	2,02	SP4H1000	146,3	47,8	3,97	SP4H1200	146,3	47,8	3,97
SP4L2500	31,5	15,5	2,03								
SP6L2700	34,5	17	2,03								
SP6L3000	39,8	19,8	2,02								
SP6L3500	47,3	23,4	2,02								
SP6L5000	61,4	28,4	2,18								
SP6L6000	73,3	33,9	2,18								

## Refrigerant R404A / R507

MODEL	Tev = -25 °C Tcond = 40 °C		Tev = -25 °C Tcond = 40 °C		MODEL	Tev = -25 °C Tcond = 40 °C	
	Qe kW	Pe kW	Qe kW	Pe kW		Qe kW	Pe kW
SS4-1200	12,8	6,1	4,1	5			
SS4-1400	15,1	10,9	4,8	5,9			
SS6-1600	18,7	13,4	5,8	7,9			
SS6-2000	21,6	15,5	6,9	8,4			
SS6-2500	24,8	17,8	7,9	9,7			
SS6-3000	29,7	21,3	9,5	11,6			

## Refrigerant R22

MODEL	Tev = -25 °C Tcond = 40 °C	
	Qe kW	Pe kW
SS4-1200	11,8	7,8
SS4-1400	14	9,3
SS6-1600	17,3	11,6
SS6-2000	20,1	13,3
SS6-2500	23	15,2
SS6-3000	27,5	18,2

## KEY / LEGENDA

Qe = cooling capacity / Potenza refrigerante [kW]

Pe = input power / Potenza elettrica assorbita [kW]

COP = Coefficient of performance

Tev = evaporating temperature / Temperatura di evaporazione [°C]

T cond = condensing temperature / Temperatura di condensazione [°C]

Liquid subcooling / Sottocooling fluido liquido = 5 [K]

Suction gas superheat / Surrocalore fluido gas aspirato = 10 [K]

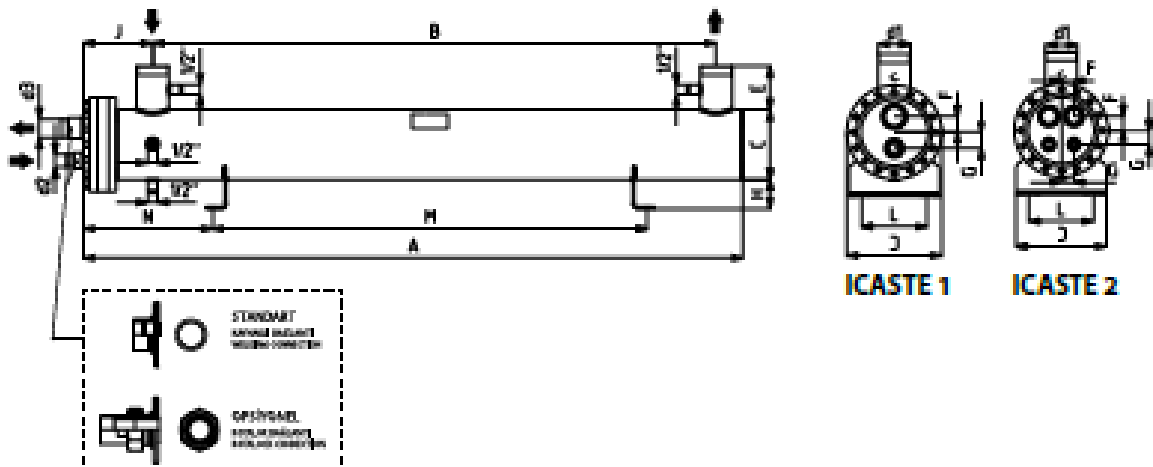
For data at different working conditions please refer to RefComp LEONARDO selection program

Per i corrispondenti valori in condizioni di lavoro differenti si consulti il software di selezione RefComp LEONARDO

## SB SERIES

Subcooling by means of subcooler only / Sottocooling soltanto con sottocooler / Subraffreddamento solo mediante sottocoolatore / sottocooling fluido liquido = 5 [K]

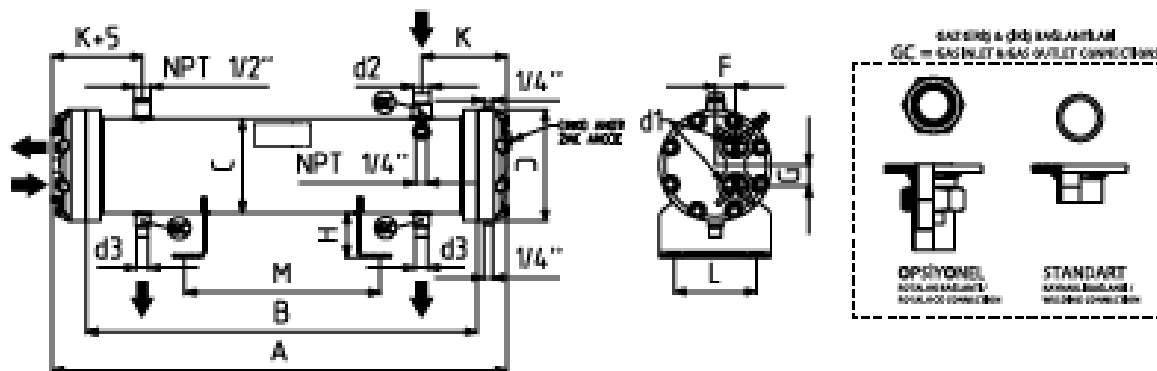
MODEL		KASTE1-060	KASTE1-070	KASTE1-080	KASTE1-090	KASTE1-100	KASTE1-110	KASTE1-120	KASTE1-130	KASTE1-140	KASTE1-150	
KAPASİTE-CAPACITY	Qn	kW	67	67	80	80	95	95	125	125	138	138
ta=2 °C	Wn	m³/h	11,5	11,5	14	14	16,5	16,5	21	21	23,5	23,5
tin/out=12 °C / 7 °C	Δp	bar	0,44	0,44	0,50	0,50	0,80	0,80	0,60	0,60	0,50	0,50
Δt suph. = 4 °C	Wmax	m³/h	14	14	16,5	16,5	18	18	25	25	28	28
R-22	Δp	bar	0,60	0,60	0,70	0,70	1,00	1,00	0,85	0,85	0,60	0,60



ÖLÇÜLER / DIMENSIONS	KASTE1-060	KASTE1-070	KASTE1-080	KASTE1-090	KASTE1-100	KASTE1-110	KASTE1-120	KASTE1-130	KASTE1-140	KASTE1-150
A mm	1425	1425	1625	1625	1775	1775	1820	1820	2100	2100
B mm	1200	1200	1385	1385	1535	1535	1555	1555	1835	1835
C mm	168	168	168	168	168	168	194	194	194	194
D mm	245	245	245	245	245	245	260	260	260	260
E mm	120	120	120	120	120	120	120	120	120	120
F mm	35	40	35	40	35	40	45	40	45	40
G mm	35	40	35	40	35	40	45	40	45	40
H mm	80	80	80	80	80	80	80	80	80	80
J mm	165	165	165	165	165	165	190	190	190	190
L mm	147	147	147	147	147	147	180	180	180	180
M mm	1060	1060	1260	1260	1410	1410	1200	1200	1500	1500
N mm	230	230	230	230	230	230	355	355	345	345
d1 mm	2 1/2"	2 1/2"	2 1/2"	2 1/2"	2 1/2"	2 1/2"	3"	3"	3"	3"
d2 mm	22	22	22	22	22	22	35	22	35	22
d3 mm	42	35	42	35	35	35	54	42	54	42
Vt Litre	9,3	9,3	10,6	10,6	11,58	11,58	15	15	17,4	17,4
Vw Litre	16,15	16,15	18,4	18,4	20,1	20,1	29,27	29,27	33,6	33,6
P Kg	77	77	84	84	90	90	120	120	135	135

d1	Su giriş/Su çıkış-Water inlet/Water outlet
d2	Soğutucu akışkan giriş-Refrigerant inlet
d3	Soğutucu akışkan çıkış-Refrigerant outlet
ta	Evaporasyon sıcaklığı-Evaporation temperature
Δp	Su basıncı kaybı-Water pressure drop
tin	Su giriş sıcaklığı-Water inlet temperature
tout	Su çıkış sıcaklığı-Water outlet temperature

MODEL	R-22	KARTER-005	KARTER-010	KARTER-015	KARTER-020	KARTER-030	KARTER-040	KARTER-050	KARTER-060
KAPASİTE-CAPACITY	Qn kW	7	10	14	22	33	46	59	75
t <sub>c</sub> =41 °C	Wn m <sup>3</sup> /h	1,2	2	2,5	3,5	5,3	7	8,5	11
t <sub>i</sub> =29 °C	A <sub>p</sub> bar	0,40	0,40	0,40	0,40	0,45	0,45	0,45	0,45
Δ t subc.=3 °C	pass nr	4	4	4	4	4	4	4	4



ÖLÇÜLER / DIMENSIONS	KARTER-005	KARTER-010	KARTER-015	KARTER-020	KARTER-030	KARTER-040	KARTER-050	KARTER-060
A mm	575	575	575	810	810	810	810	810
B mm	500	500	500	700	700	700	700	700
C mm	140	140	140	140	168	168	168	168
D mm	170	170	170	170	200	200	200	200
F mm	27	27	27	27	36	36	36	36
G mm	27	27	27	27	36	36	36	36
H mm	80	80	80	80	80	80	80	80
K mm	110	110	110	135	150	150	150	150
L mm	120	120	120	120	150	150	150	150
M mm	250	250	250	350	350	350	350	350
d1 inch	1"	1"	1"	1"	1 1/2"	1 1/2"	1 1/2"	1 1/2"
d2 mm	W22	W22	W22	W22	W28	W28	W28	W28
d3 mm	W16	W16	W16	W16	W22	W22	W22	W22
V <sub>t</sub> Litre	4,82	4,31	3,78	6,34	9,75	9,01	8,29	7,56
V <sub>w</sub> Litre	1,59	2,02	2,45	2,53	4,09	4,69	5,29	5,9
P Kg	27	28	29	32	46	48	49	50

t <sub>c</sub>	Kondensasyon sıcaklığı - Condensing temperature
t <sub>i</sub>	Su giriş-Su çıkış-Water inlet temperature
d1	Sohbetçi akışkan giriş-Refrigerant Inlet
d2	Sohbetçi akışkan çıkış-Refrigerant outlet
d3	Su giriş/Su çıkış-Water inlet/Water outlet

Model CDM		111-02-2P	112-02-2P	113-02-2P	113-03-2P	114-02-2P	114-03-2P	115-02-2P	115-03-2P	116-02-2P	116-03-2P	117-02-2P	117-03-2P	118-02-2P	118-03-2P
R&D/C refrigerant	On [kW]	16	24	24	40	46	52	53	53	75	80	100	110	125	130
Tc, mean = 40°C	Wm [m³/h]	2,5	4,0	7	7,5	8,2	10,5	10,8	10	11,5	14	15,4	16,5	20,4	26
Tc = 30°C AT = 40°C	Wm [m³/h]	2,5	4,0	7,2	9	10,0	12,5	9	10,0	12,0	14,2	16	17,0	20,5	27
FF = 0,000040 m³/KW	Dpm [bar]	0,11	0,19	0,26	0,16	0,14	0,17	0,20	0,25	0,26	0,27	0,27	0,25	0,16	0,16

Model		CDM	111-02-4P	112-02-4P	113-02-4P	113-03-4P	114-02-4P	114-03-4P	115-02-4P	115-03-4P	116-02-4P	116-03-4P	117-02-4P	117-03-4P	118-02-4P	118-03-4P
R&D/C refrigerant	On [kW]	16	28	37	49	60	72	85	93	110	122	135	150	165	180	
Tc, mean = 40°C	Wm [m³/h]	1,1	1,7	2,2	3	3,7	4,4	5,5	6	7	8,8	10,7	12,5	17,2	20	
Tc = 30°C AT = 40°C	Wm [m³/h]	1,0	1,7	2,1	4,1	5,4	6,3	9	10,7	12,5	17,2	20	20	20	20	
FF = 0,000040 m³/KW	Dpm [bar]	0,2	0,21	0,22	0,22	0,23	0,24	0,27	0,31	0,31	0,32	0,32	0,32	0,32	0,32	

Model McCDW		15	25	35	45	55	65	75	85	95	105	115	125	135	145
Cooler	Power	4	4	4	4	4	4	4	4	4	4	4	4	4	4
R&D/C refrigerant	On [kW]	15	28,5	34	40	50	60	67	70	80	100	120	130	140	150
Tc, mean = 40°C	Wm [m³/h]	2,4	3,6	4,8	5	6	7,2	8,8	9,8	11,9	15,9	16,9	18,9	19,9	19,9
Tc = 30,4°C	Wm [m³/h]	2,2	4	6,3	7,3	8	10,5	14,5	16,5	17,3	20	21	22	23	23
FF = 0,000040 m³/KW	Dpm [bar]	0,21	0,21	0,21	0,21	0,19	0,19	0,19	0,19	0,19	0,19	0,19	0,19	0,21	0,21
Cooler	Power	0	0	0	0	0	4	4	4	4	4	4	4	4	4
R&D/C refrigerant	On [kW]	22,2	31,2	45,1	57,5	63	81	100	110	130	140	160	165	170	180
Tc, mean = 40°C	Wm [m³/h]	1,2	1,8	2,4	3	3,4	4,5	6,1	7,2	8,2	10,2	12,2	13,2	15,2	16,2
Tc = 30°C	Wm [m³/h]	1,0	2,2	3,6	4,6	4	6,4	7,2	8,4	9,4	10,4	12,4	13,4	14,4	15
FF = 0,000040 m³/KW	Dpm [bar]	0,4	0,4	0,41	0,4	0,38	0,38	0,38	0,38	0,38	0,38	0,38	0,38	0,38	0,38

Model McCDW		150	175	200	225	250	275	300	325	350	375	400	425	450	475
Cooler	Power	2	2	2	2	2	2	2	2	2	2	2	2	2	2
R&D/C refrigerant	On [kW]	150	175	190	205	220	235	250	265	280	295	310	325	340	355
Tc, mean = 40°C	Wm [m³/h]	20,99	22,73	25,10	26,10	26,98	28,98	30,98	31,17	37,97	47,97	50,98	51,17	52,97	53,98
Tc = 30,4°C	Wm [m³/h]	20,3	25,3	28	30	30,3	40	40	40	53,4	63,4	65,7	66,7	68,4	69,7
FF = 0,000040 m³/KW	Dpm [bar]	0,27	0,27	0,27	0,27	0,27	0,28	0,28	0,28	0,28	0,28	0,28	0,28	0,28	0,28
Cooler	Power	4	4	4	4	4	4	4	4	4	4	4	4	4	4
R&D/C refrigerant	On [kW]	152	200	226	250	260	280	300	320	350	362	407	427	457	477
Tc, mean = 40°C	Wm [m³/h]	9,2	10,2	11,2	12,6	14	16,2	18,2	20	22,2	23,2	25,2	26,2	28,2	29,2
Tc = 30°C	Wm [m³/h]	10,6	12,6	14	14	16,7	20	24	26,5	28,5	30,5	32,5	34,5	36,5	38,5
FF = 0,000040 m³/KW	Dpm [bar]	0,34	0,38	0,4	0,4	0,4	0,4	0,4	0,4	0,4	0,4	0,4	0,4	0,4	0,4

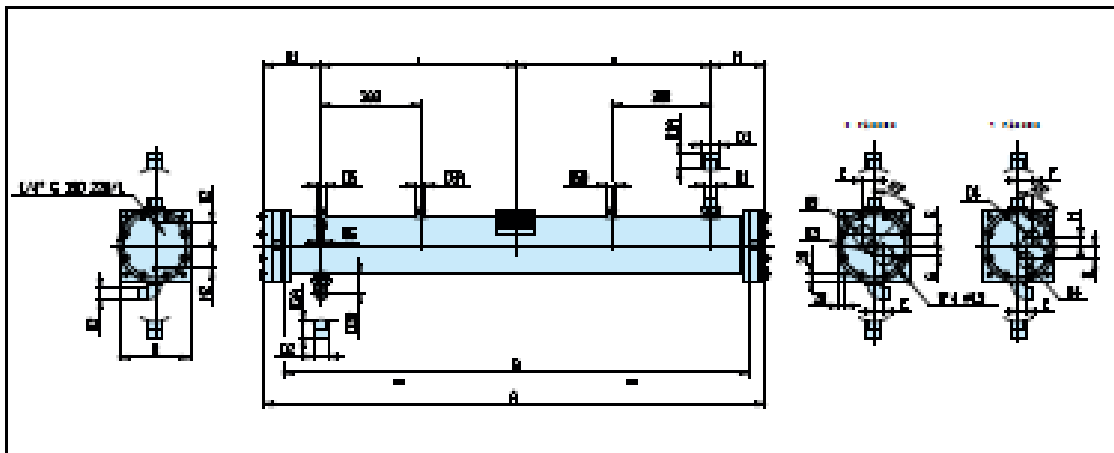
Model McCDW		400	425	450	475	500	525	550	575	600	625	650	675	700	725
Cooler	Power	2	2	2	2	2	2	2	2	2	2	2	2	2	2
R&D/C refrigerant	On [kW]	431	477	505	535	565	595	625	655	685	715	745	775	805	835
Tc, mean = 40°C	Wm [m³/h]	55,16	59,16	67,16	71,16	75,16	79,16	83,16	86,74	90,74	95,74	98,74	102,74	105,74	108,74
Tc = 30,4°C	Wm [m³/h]	61,3	68	74,5	80	88	93	98	103,5	108,5	113,5	118,5	123,5	128,5	133,5
FF = 0,000040 m³/KW	Dpm [bar]	0,24	0,24	0,24	0,24	0,24	0,24	0,24	0,24	0,24	0,24	0,24	0,24	0,24	0,24
Cooler	Power	4	4	4	4	4	4	4	4	4	4	4	4	4	4
R&D/C refrigerant	On [kW]	510	555	585	610	630	650	670	690	710	730	750	770	790	810
Tc, mean = 40°C	Wm [m³/h]	26,6	29	31,5	33,5	35,5	37,5	40	41,5	43,5	45,5	47,5	49,5	51,5	53,5
Tc = 30°C	Wm [m³/h]	30,7	33,5	37,5	37,5	40	41,5	44	44	46,4	48,4	50,4	52,4	54,4	56,4
FF = 0,000040 m³/KW	Dpm [bar]	0,4	0,4	0,41	0,41	0,41	0,41	0,41	0,41	0,41	0,41	0,41	0,41	0,41	0,41

On Nominal condensation capacity  
Wm Nominal water flow rate

Wm Maximum water flow rate  
Tc Condensing temperature

Tc Water inlet temperature  
FF Fouling factor

\* the data are indicative. To select precise data, please use our dedicated software.

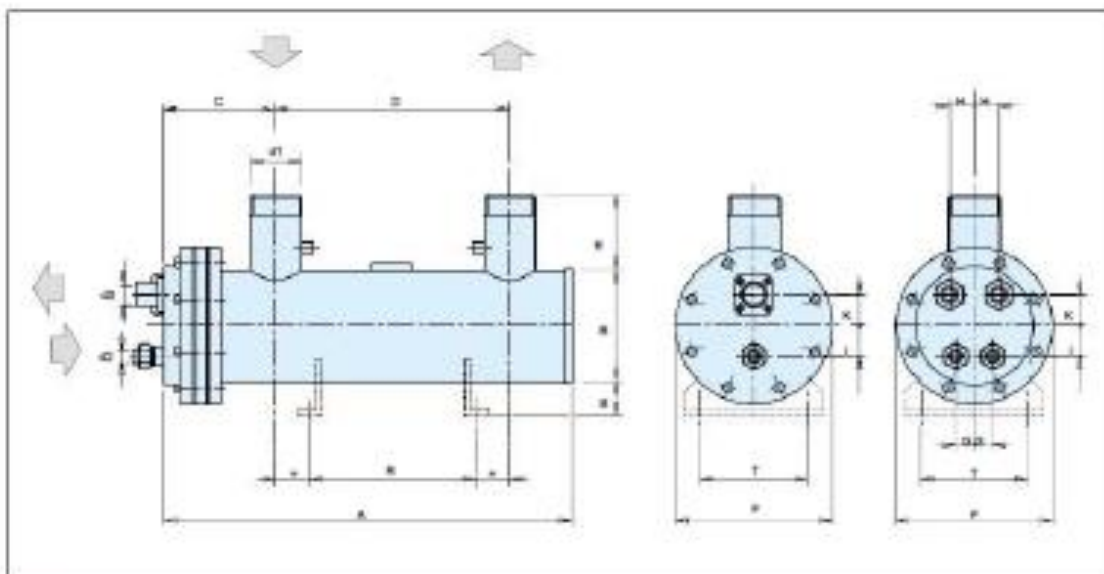


Model CDEW	60	80	100	120	135	160	180	215	240	260	300	350	400	450	470	520	550	610	650	700	840	
A mm		1500		1600		1740		1940		1970		1990		1990		1990		1990		1990		
B mm			1400		1700		1800		1900		1900		1900		1900		1900		1900		1900	
C mm				160				194			273			324			406					
D mm				215				245			325			390			490					
E2 passes mm		30				35				55			65			80						
E4 passes mm		22				25				45			55			70						
F mm		40				55				75			90			110						
G2 passes mm		30				35				55			65			80						
G4 passes mm		40				55				75			90			110						
H mm		22				25				45			55			80						
M mm		170				200				225			250			280						
M1 mm		180				210				235			260			270						
D1 mm		PC25				WA40				WA44			WA57			WA60						
D1A mm		60				50				50			50			50						
D2 mm		PC120				PC135				WA40			WA54			WA64						
D2A mm		65				65				50			50			50						
D3 In-G		12				121				13			14			15						
D4 In-G		T11				T11				12			13			14						
D5 In-NPT		1/2				3/4				1			1			1						
D5A In-NPT		no				no				no			1			1						
D5B In-NPT		no				no				no			no			1						
D6 In-NPT		1/4				1/4				1/4			1/4			1/4						
K2 mm		70				85				100			140			160						
Vr dm³	22,0	20,8	19,4	18,1	20,1	24,9	23,7	21,9	24,9	30,6	68,1	57,0	53,1	50,6	60,5	62,1	61,7	152,1	146,0	137,8	129,6	
Loss dm³	3,8	3,8	3,4	3,1	3,9	7,1	6,7	5,8	5,1	10,0	10,0	9,4	9,4	9,4	5,2	5,2	4,7	14,8	14,8	14,8	14,8	
W20 dm³	4,8	5,8	7,0	8,2	10,1	13,0	14,2	15,4	17,1	24,7	27,7	31,2	33,9	35,7	41,0	44,1	47,5	52,4	57,7	64,7	71,7	
P Kg	58	61	65	68	65	105	108	111	121	195	203	215	222	227	260	304	313	441	452	467	492	

D1 Refrigerant inlet D3-H4 Water connections D5-D5A-D5B Safety valve connection Vr-20 Water volume  
D2 Refrigerant outlet NH-K2 For air vent/for drain of water Vr Refrigerant volume P net Weight

Attention: Johnson has to be considered on the dimensional data.

Nominal Conditions	Model	DXS56 DXD56	DXS65 DXD65	DXS80 DXD80	DXS95 DXD95
Rating: R407c Twater = 12°C Tambient = 27°C Tsuperheat = 6.20°C Tsubcool = 3.25°C G1/2" > 5K, G1/2" < 5K Lubricant oil ISO 460	Qnom [kW]	36	65	80	95
	Wflow [m³/h]	9.6	11.4	13.8	16.4
	Wwet [m³/h]	12	14.5	18	21
	Gflow [kg/s]	0.35	0.39	0.42	0.46

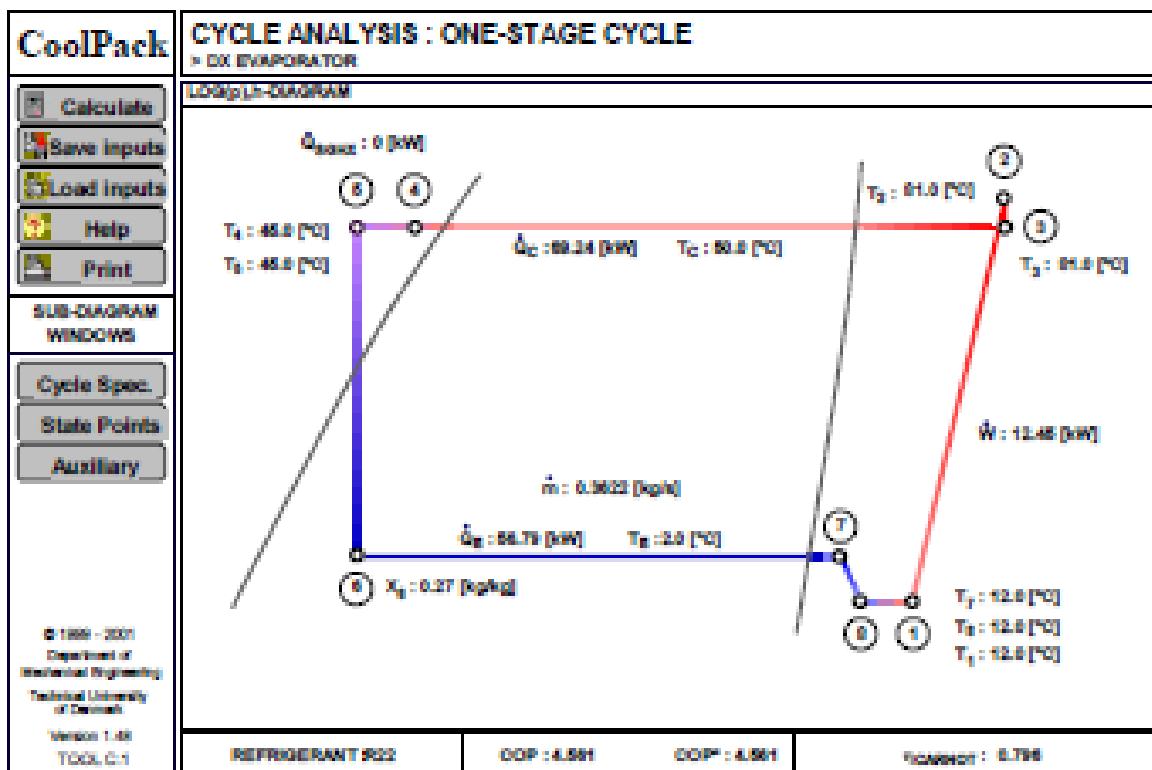


MODEL		DXS 56	DXS 65	DXS 80	DXS 95	DXD 56	DXD 65	DXD 80	DXD 95
Dimensions	A	mm	1261	1261	1401	1431	1521	1521	1781
	B	mm	100	100	100	100	100	100	100
	C	mm	161	161	161	161	161	161	161
	D	mm	1030	1030	1100	1100	1280	1280	1530
	E	mm	130	130	130	130	130	130	130
	F	mm	245	245	245	245	245	245	245
	G	mm	—	35	—	35	—	35	—
	H	mm	—	40	—	40	—	40	—
	K	mm	37	30	37	30	37	30	35
	I	mm	45	35	45	35	45	35	35
	L	mm	—	—	—	—	—	—	—
	M	mm	—	—	—	—	—	—	—
Support	R	mm	800	800	950	950	1100	1100	1200
	S	mm	80	80	80	80	80	80	80
	T	mm	100	100	100	100	100	100	100
Connections	Z1	—	T21						
	Z2	—	R9-20	R9-22	R9-22	R9-22	R9-22	R9-22	R9-22
	Z3	—	R9-54						
Values - Weight	VW	kg	7.3	7.3	8.3	8.3	8.3	10.2	10.2
	VH2O	kg	15.3	15.3	17.2	17.2	18.8	19.8	21.7
	P	kg	87	87	92	92	97	87	87
PNC category*		1	1	3	1	3	1	3	1

\*PNC category according to EU Directive 2002/95/EC.  
The category refers to the use of Group 2 fluids at the PNC value of the standard temperature version.

Qnom = Nominal cooling capacity  
VH2O = Nominal water flow  
VW = Maximum water flow

Gflow = Nominal pressure drop (water 40°C)  
GTe = Subcooling  
GTw = Superheating



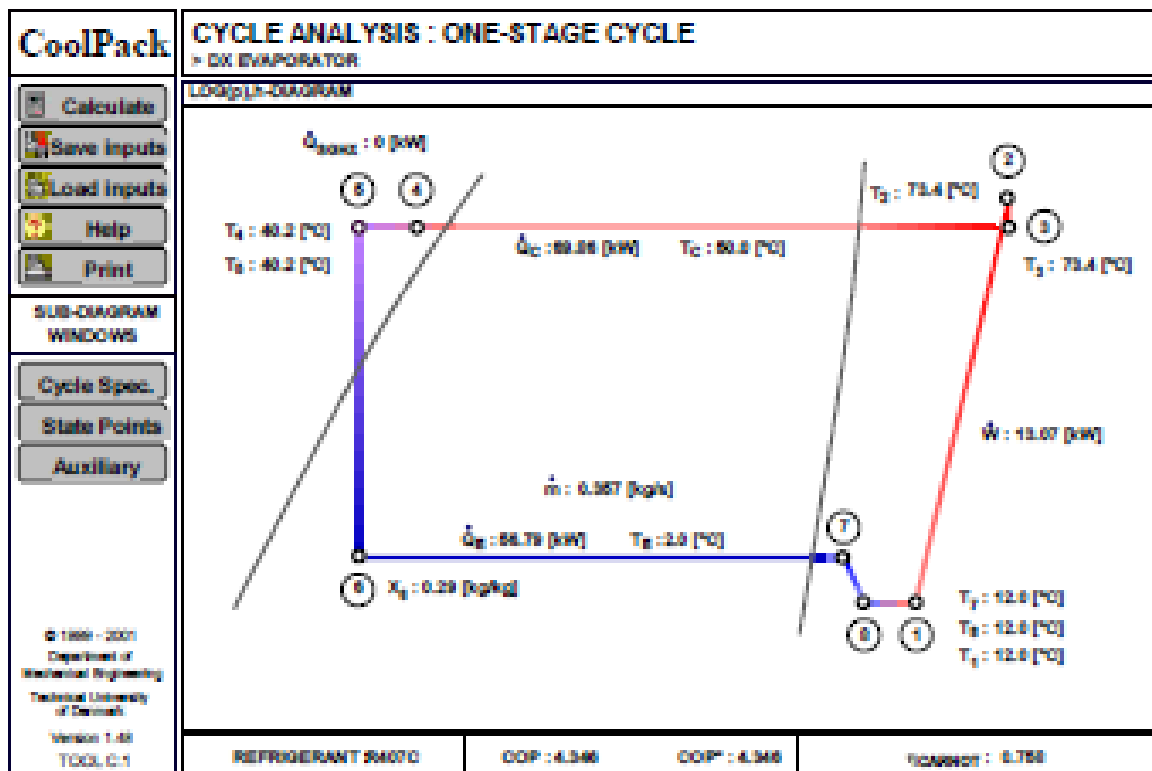
### CYCLE SPECIFICATION

TEMPERATURE LEVELS	PRESSURE LOSSES	SUCTION LINE HEAT EXCHANGER	VAPOR PUMPANT
T <sub>s</sub> [°C]: 30 ΔT <sub>SL</sub> [K]: 10	ΔP <sub>SL</sub> [Pa]: 0	No 3000	0.90
T <sub>c</sub> [°C]: 30.4 ΔT <sub>SC</sub> [K]: 8	ΔP <sub>SC</sub> [Pa]: 0		FCO2
CYCLE CAPACITY			
Cooling capacity $\dot{Q}_C$ [kW]: 66.79	$\dot{Q}_C$ : 66.79 [kW]	$\dot{Q}_C$ : 66.34 [kW]	$\dot{m}$ : 0.3822 [kg/s]
COMPRESSOR PERFORMANCE			
Isothermal efficiency η <sub>is</sub> [%]: 100	$\eta_{is}$ : 1.000 [-]	$\dot{W}$ : 12.48 [kW]	
COMPRESSOR HEAT LOSS			
Heat loss factor $k_Q$ [%]: 0	$k_Q$ : 0.0 [%]	T <sub>2</sub> : 31.0 [°C]	$\dot{Q}_{loss}$ : 0 [kW]
SUCTION LINE			
Unsaturated exponent ΔT <sub>SL,SL</sub> [K]: 0.0	$\delta_{SL}$ : -0.0 [%]	T <sub>s</sub> : 30.0 [°C]	ΔT <sub>SL,SL</sub> : 0.0 [K]

Calculate	Print	Help	Auxiliary	State Points	GOP: 4.881	GOP*: 4.881
-----------	-------	------	-----------	--------------	------------	-------------

STATE POINTS					Additional Information
STATE POINT	TEMPERATURE [°C]	PRESSURE [kPa]	ENTHALPY [kJ/kg]	DENSITY [kg/m <sup>3</sup> ]	
1	12.0	530.5	258.0	21.4	Pressure ratio ( $p_2/p_1$ ) : 3.889
2	81.0	1941.2	292.3	68.4	$T_{2,0}$ : 81.0 [°C]
3	81.0	1941.2	292.3	68.4	$T_{2,W}$ is the temperature of the discharge gas assuming reversible and adiabatic compression
4	45.0	1941.2	191.2	1108.7	$T_{2,W}$ : 81.0 [°C]
5	45.0	1941.2	191.2	1108.7	$T_{2,W}$ is the temperature of the discharge gas assuming real and adiabatic compression
6	2.0	530.5	191.2	—	
7	12.0	530.5	258.0	21.4	
8	12.0	530.5	258.0	21.4	

<input type="button" value="Calculate"/> <input type="button" value="Print"/> <input type="button" value="Help"/>	<input type="button" value="Cycle Spec."/> <input type="button" value="Auxiliary"/>	COP : 4.881	COP* : 4.881
---	---	-------------	--------------



## CYCLE SPECIFICATION

TEMPERATURE LEVELS	PRESSURE LOSSES	SUCTION GAS HEAT EXCHANGER	REFRIGERANT
$T_1$ [°C]: <input type="text" value="20"/> $\Delta T_{\text{SH}}$ [K]: <input type="text" value="10"/>	$\Delta P_{\text{SL}}$ [K]: <input type="text" value="0"/>	$A_{\text{SH}}$ [m <sup>2</sup> ]: <input type="text" value="0.00"/>	R407C
$T_2$ [°C]: <input type="text" value="30.0"/> $\Delta T_{\text{SC}}$ [K]: <input type="text" value="0"/>	$\Delta P_{\text{SL}}$ [K]: <input type="text" value="0"/>	$A_{\text{SC}}$ [m <sup>2</sup> ]: <input type="text" value="0.00"/>	
CYCLE CAPACITY			
Cooling capacity $\dot{Q}_1$ [kW]: <input type="text" value="80.79"/>	$\dot{Q}_{\text{SL}}$ : 80.79 [kW]	$\dot{Q}_{\text{SC}}$ : 80.00 [kW]	$\dot{m}$ : 0.037 [kg/s]
COMPRESSOR PERFORMANCE			
Isentropic efficiency $\eta_{\text{IS}}$ [%]: <input type="text" value="100"/>	$\eta_{\text{IS}}$ : 1.000 [-]	$\dot{W}$ : 10.07 [kW]	
COMPRESSOR HEAT LOSS			
Heat loss factor $k_C$ [%]: <input type="text" value="0"/>	$k_C$ : 0.0 [%]	$T_3$ : 73.4 [°C]	$\dot{Q}_{\text{LOSS}}$ : 0 [kW]
SUCTION LINE			
Unsaturated vapor temp. $\Delta T_{\text{SH},\text{SL}}$ [K]: <input type="text" value="0.0"/>	$\dot{Q}_{\text{SL}}$ : 0 [W]	$T_4$ : 40.0 [°C]	$\Delta T_{\text{SL},\text{SL}}$ : 0.0 [K]

 Calculate  Print  Help  Auxiliary  State Points COP: 4.348 EER: 4.348

### STATE POINTS

STATE POINT	TEMPERATURE	PRESSURE	ENTHALPY	DENSITY
	[°C]	[kPa]	[kJ/kg]	[kg/m <sup>3</sup> ]
1	-12.0	407.0	276.0	19.4
2	73.4	1990.0	312.6	19.2
3	73.4	1990.0	312.6	19.2
4	40.2	1990.0	116.9	1999.7
5	40.2	1990.0	116.9	1999.7
6	-2.0	407.0	116.9	—
7	-12.0	407.0	276.0	19.4
8	-12.0	407.0	276.0	19.4

#### Additional Information

Pressure ratio ( $p_2/p_1$ ) : 4.898

$T_{2,\text{R}}$  : 47.0 [°C]

$T_{2,\text{R}}$  is the temperature of the discharge gas assuming reversible and adiabatic compression

$T_{2,\text{W}}$  : 47.0 [°C]

$T_{2,\text{W}}$  is the temperature of the discharge gas assuming real and adiabatic compression

Cycle Spec

Auxiliary

COP : 4.346

COP\* : 4.346



Ahmad Darori Hasan lahir di Ngawi, Jawa Timur pada tanggal 21 Februari 1995. Penulis menempuh pendidikan formal dari tingkat dasar hingga menengah atas di Ngawi yang diawali pada TK Dharma Wanita , MI Al-Falah , SMPN 2 Ngawi hingga menyelesaikan pendidikan terakhir di SMAN 2 Ngawi. Pada jenjang perguruan tinggi penulis melanjutkan pendidikan dengan mendaftar di Institut Teknologi Sepuluh Nopember Surabaya dan mengambil Jurusan Teknik Sistem Perkapalan melalui jalur SBMPTN atas dasar ketertarikan terhadap bidang permesinan Kapal. Penulis terdaftar sebagai mahasiswa ITS dengan NRP 04211340000062

Dimulai dari semester pertama, penulis aktif diorganisasi tingkat kampus, Tim Pembina Kerohanian Islam hingga semester 8. Pada tahun terakhir penulis bergabung menjadi anggota Laboratorium Marine Machinery Engineering Jurusan Teknik Sistem Perkapalan untuk mengerjakan tugas akhir dengan tema sistem refrigerasi.